

وزارة التعليم والبحث العلمي

MINISTÈRE DE L'ENSEIGNEMENT ET DE LA RECHERCHE SCIENTIFIQUE

lex

ECOLE NATIONALE POLYTECHNIQUE

DEPARTEMENT : **Hydraulique**



PROJET DE FIN D'ETUDES

SUJET

OSCULTATION ET CALCUL STABILITE
DE LA
DIGUE DE BENI AMRANE

+4 ANNEXE

Proposé Par :

MR. BENADI

Etudié par :

MR. F. ZOUAI

Dirigé par :

MLLE. ZERFA

PROMOTION :

JUIN 88

المدرسة الوطنية المتعددة التقنيات
BIBLIOTHEQUE — المكتبة
Ecole Nationale Polytechnique

CHAP. I
INTRODUCTION

S O M M A I R E

I - INTRODUCTION

Présentation de l'aménagement Pages.1 - 3.

But de l' ouvrage Page.3

Page.4 - 14.

II - GEOLOGIE

III - DETERMINATION DES PARAMETRES GEOTECHNIQUES

Essais d'identification Pages.15 - 34.

Essai mecaniques Pages.35 - 66.

Resultats

IV - STABILITE

Stabilité de la fondation P.67 - 74.

Application des resultats d'essais au calcul de stabilité Pages.75 - 87.

VI - CONCLUSION

Page.96.

ANNEXE A : ORGANISATION DE CHANTIER Page.97 - 107.

ANNEXE B : PROGRAMME DE CALCUL DE STABILITE 99

R E M E R C I E M E N T S

Je tiens à remercier vivement toutes les personnes qui m'ont aidé et formé depuis tout jeune , et particulièrement

Mr BENADI

Melle ZERFA

Mr ABDERAHIM

Mr TERRA

Je ne voudrai pas oublier le personnel de l'ACEP et surtout celui de l'ENP.

Je dédie ce modeste travail à la mémoire de mon regretté PERE .

A toute ma famille et tous les miens.

STERE DE L'ENSEIGNEMENT SUPERIEUR
E NATIONALE POLYTECHNIQUE

rtement: HYDRAULIQUE.....
teur: MELLE ZERFA.....
e Ingénieur: MR. ZOUAT.....

وزارة التعليم العالي
المدرسة الوطنية المتعددة التقنيات



العنوان: الري
الوجه: زرنيخ
البريد الإلكتروني: زرنيخ

العنوان: زرنيخ

ال موضوع: دراسة تأمين سد بن عمران
دراسة تأمين سد بن عمران لتحقیق اتزان السد و هذا انتقال
من العوامل الجيotechnique الناتجة من تجارب في عين الامكان
و مقارنة معامل الامان لمختلف الحمولات مع عامل
الامان نظريا.

Sujet: OSCULATION ET CALCUL STABILITE DE LA DIQUE DE BENI AMRANE

Résumé: Le présent travail a consisté à vérifier la stabilité de la digue en
enrochement du barrage de Beni Amrane à partir des paramètres géotechniques
déterminés lors des essais "in situ", et à comparer les coefficients de sécurité
des différents cas de charges avec ceux prévu par le calcul théorique.

Subject: OSCULATION AND STABILITY CALCUL OF BENI AMRANE DAM'S

Abstract: The present work consists of verification of the stability of the dam from
the geotechnical parameters determined by in situ tests and by comparing
the coefficients of security under different hydrostatic conditions, with
those theoretically calculated.

Situation Géographique de l'ouvrage :

le site choisi pour la réalisation du Barrage en enrochements se trouve dans la Wilaya de Boumerdes à 60 km d'ALGER.

Présentation de l'ouvrage :

le barrage de Beni AMRANE entre dans le cadre d'un projet plus grand : "SPIK": système de production Isser - Kedara. Ce projet est appelé à répondre au manque d'eau que subit la ville d'ALGER , le but à atteindre est d'approvisionner en eau potable ALGER et sa banlieue jusqu'à l'horizon 2000. Ce projet est un ensemble d'ouvrages qui se réalisent en parallèle .

- Réalisation du Barrage de Beni Amrane

- Réalisation de la station de pompage de Beni Amrane

- Réalisation du Barrage de Keddara

- Réalisation de la station de traitement de Bou douzou

- Réalisation de 3 réservoirs ; Gué de Constantine,

Geridi (Kouba) et à Télemly (Alger-centre).

et également la pose de canalisation Alger - Keddara .

Ce grand projet une fois terminé , va permettre de résoudre définitivement (horizon 2000) le problème du manque d'eau potable du grand ALGER .

Caractéristique du Barrage Beni AMRANE :

données Hydrologiques du bassin versant:

- Superficie du bassin versant est de : 3710 km^2
- Ecoulement annuel moyen de : $414\ 000\ 000 \text{ m}^3$
- Crue maximum probable : $20\ 980 \text{ m}^3/\text{s}$

Ouvrages du Barrage :

- Evacuateur de crue : - Niveau de crête : $63,5 \text{ m NG.A}$
 - largeur : $10\ 2,50 \text{ m}$
 - Débit : $10\ 000 \text{ m}^3/\text{s}$
- portes de chasse : 6 - bassin d'amortissement: $4000 \text{ m}^3/\text{s}$
- et le volume du déton est de $220\ 000 \text{ m}^3$
- Digue en encrochement :
 - hauteur : 40 m
 - Niveau de crête : $77,5 \text{ m NG.A}$
 - longueur de crête : 115 m
 - Volume des matériaux : $685\ 000 \text{ m}^3$
- Quantités principales:
 - Enrochement : $300\ 000 \text{ m}^3$
 - Remblai : $250\ 000 \text{ m}^3$
 - Argile : $47\ 000 \text{ m}^3$
 - Filtres : $58\ 000 \text{ m}^3$
 - Rip Rap : $29\ 000 \text{ m}^3$

Station de pompage :

- débit : $7 \text{ m}^3/\text{s}$

- nombres de pompes : 8 dont 2 en réserves

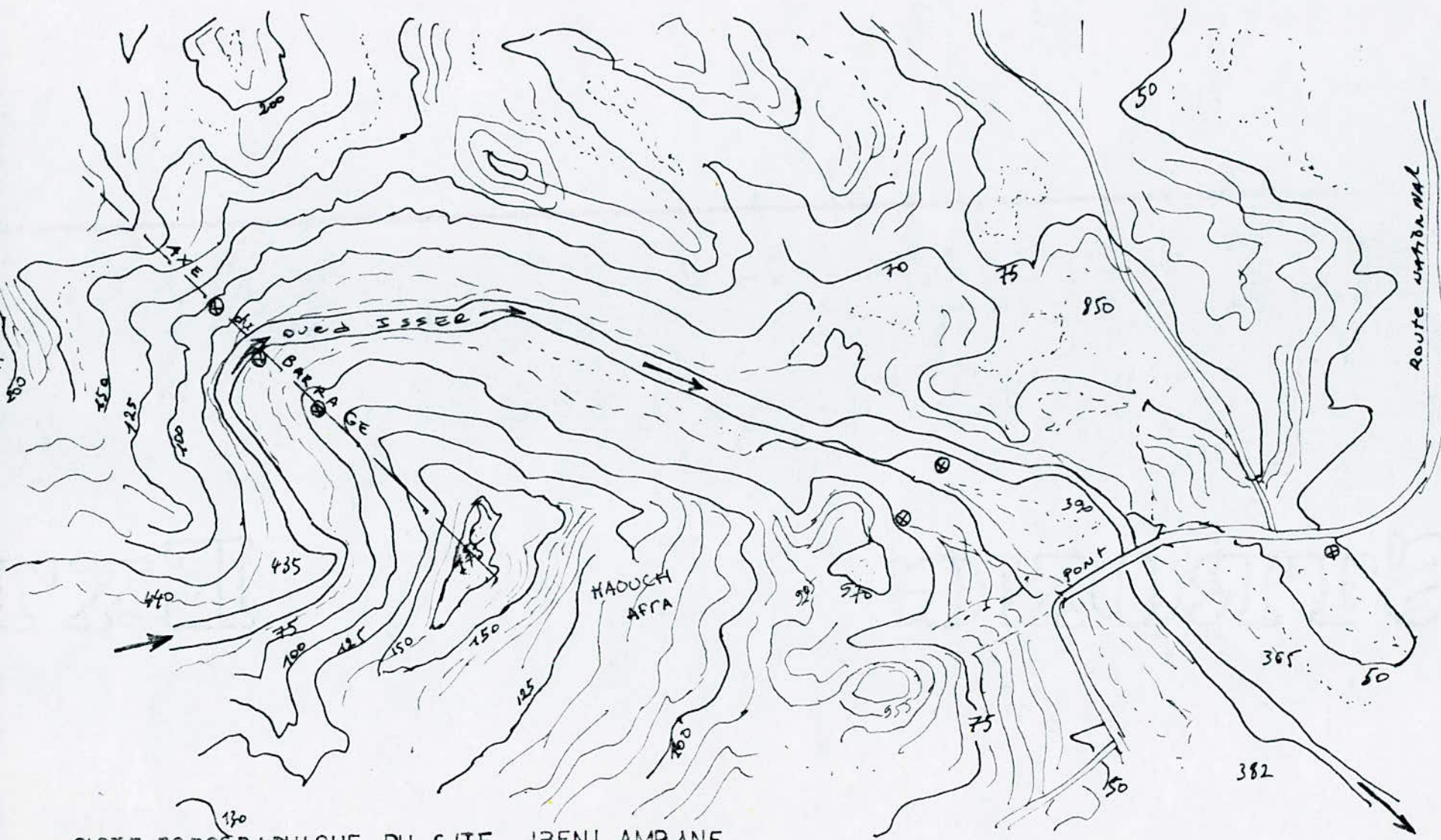
- hauteur manométrique : 142 m

- Puissance : 15 M.V.A

- le but de ce Barrage en enrochement n'est pas de stocker de l'eau, mais de transférer une partie du débit fluvial de l'Oued vers le barrage réservoir de Keddara et lorsque celui ci n'est pas en mesure de recevoir cet apport dans ce cas l'eau puisé du barrage sera refoulée vers la station de traitement de Boudouaou puis canalisée vers ALGER.
- Par contre le but de notre projet consiste à vérifier la stabilité de la digue en enrochement du barrage de "BENI ANRANE" en cours de construction et ceci étant calculé à partir des paramètres géotechniques des différents matériaux utilisé lors de la mise en place, qui sont déterminés à partir des essais au laboratoire et de voir si ils restent dans les normes prévus par l'avant projet

CHAP. II.

Géologie



CARTE TOPOGRAPHIQUE DU SITE IBENI AMRANE

GÉOLOGIE régionale :

Le site du barrage se trouve dans la région du " Djebel Ahmed " massif formé par du " schistes " et du " Gneiss " du socle cristallin d'après la carte géologique (Fisheur 1895) de cette zone nous nous trouvons en présence de " phyllites ", " schistes ", " conglomérats " et de " quartzites " recouverts en discordance par du " poudingres " du " Miocène " présent dans la partie supérieur de la rive gauche . Aucune caractéristique structurale n'est indiquée , une modification à été faite sur la carte révèle la présence de granites , schistes et calcaires gneissique pré cambriens , le massif présente des failles d'orientation (NNO) à (ONO) .

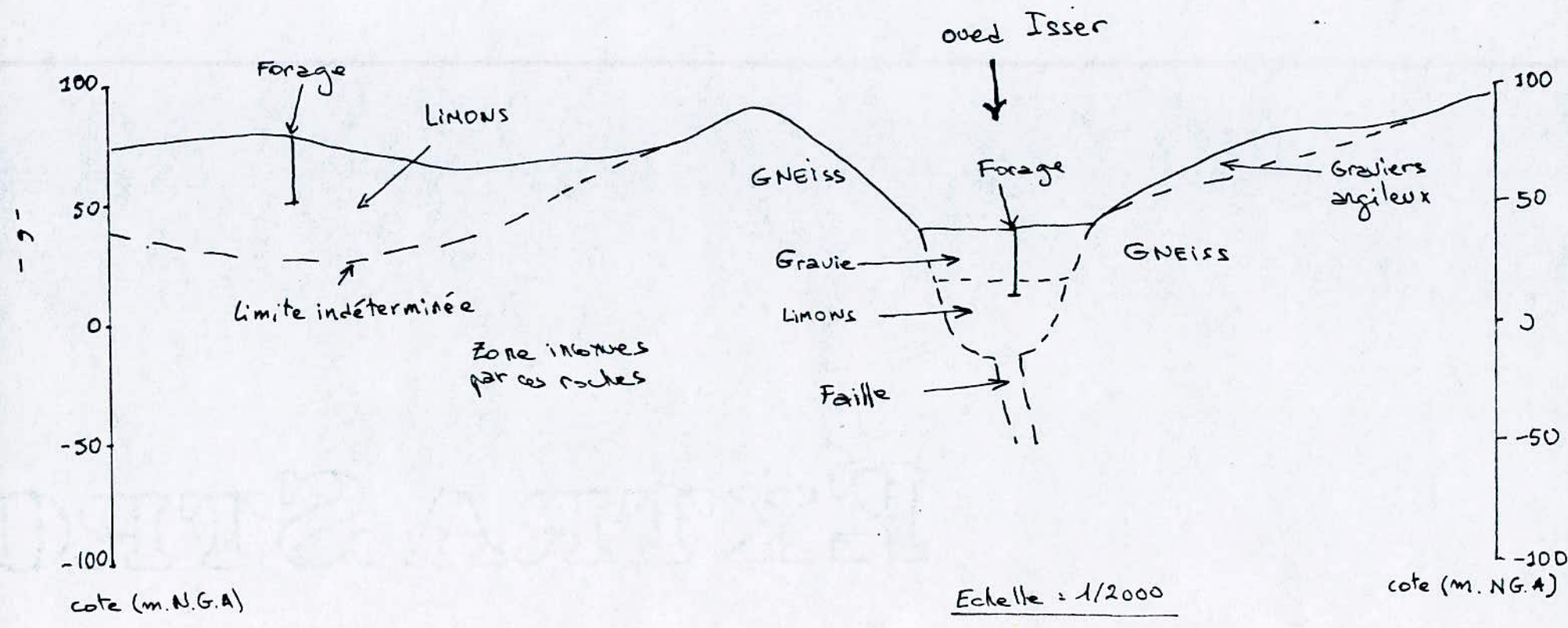
Géologie du bassin de la retenue :

Le bassin de la retenue s'étend depuis le site du Barrage jusqu'à proximité de l'extrémité oual de la " gorge de LAKHADARIA " , la géologie de la retenue se traduit en 3 parties basé sur le type de roche prédominant

1^{er} section supérieur :

Elle s'étend de " gorge de LAKHADARIA " au premier méandre de l'ouest en oual de la gorge . La gorge est composée de calcaire cristallin massif jaune clair gris avec des caractéristiques de dissolution , des vides et des discontinuités élargies .

On remarque la présence occasionnelle de couche d'argiles dans le calcaire . En oual du barrage ces calcaires interstratifiés



COUPE GEOLOGIQUE DU SITE IBENI AMRANE

de grés, microgrés et conglomérats, et l'on observe des coalluvions sur les versants de la vallée. le fond de la vallée est recouvert d'alluvions blocailleuses devenant plus sableuses vers l'aval, une seule faille d'importance mineure y a été observée

2^e section central:

Elle s'étend du méandre de la section supérieure jusqu'à l'endroit où la route nationale N°5 s'éloigne de l'oued ISSER. L'assise rocheuse de la partie centrale du bassin de la retenue est composée de conglomérats sédimentaires ainsi que de microgrés de grés, d'argilites et de calcaires. Les conglomérats sont des roches grises, de résistance moyennement faible à moyennement fort, composées de fragments de schistes dans une matrice sableuse dans la partie amont et aval de cette section, les conglomérats sont massifs, mais au centre ils sont interstratifiés plus finement de microgrés, ils sont en général de couleur ocre et de résistance moyennement faible.

3^e section inférieur:

Elle s'étend en aval de l'endroit où la route nationale N°5 s'éloigne de l'oued ISSER jusqu'au site du barrage. Son assise rocheuse au niveau inférieur du bassin de la retenue est constituée de gneiss et de schistes métamorphiques avec une quantité moins importante moins importante de calcaire. Ces gneiss sont principalement des quartz feldspathiques de grain moyen à

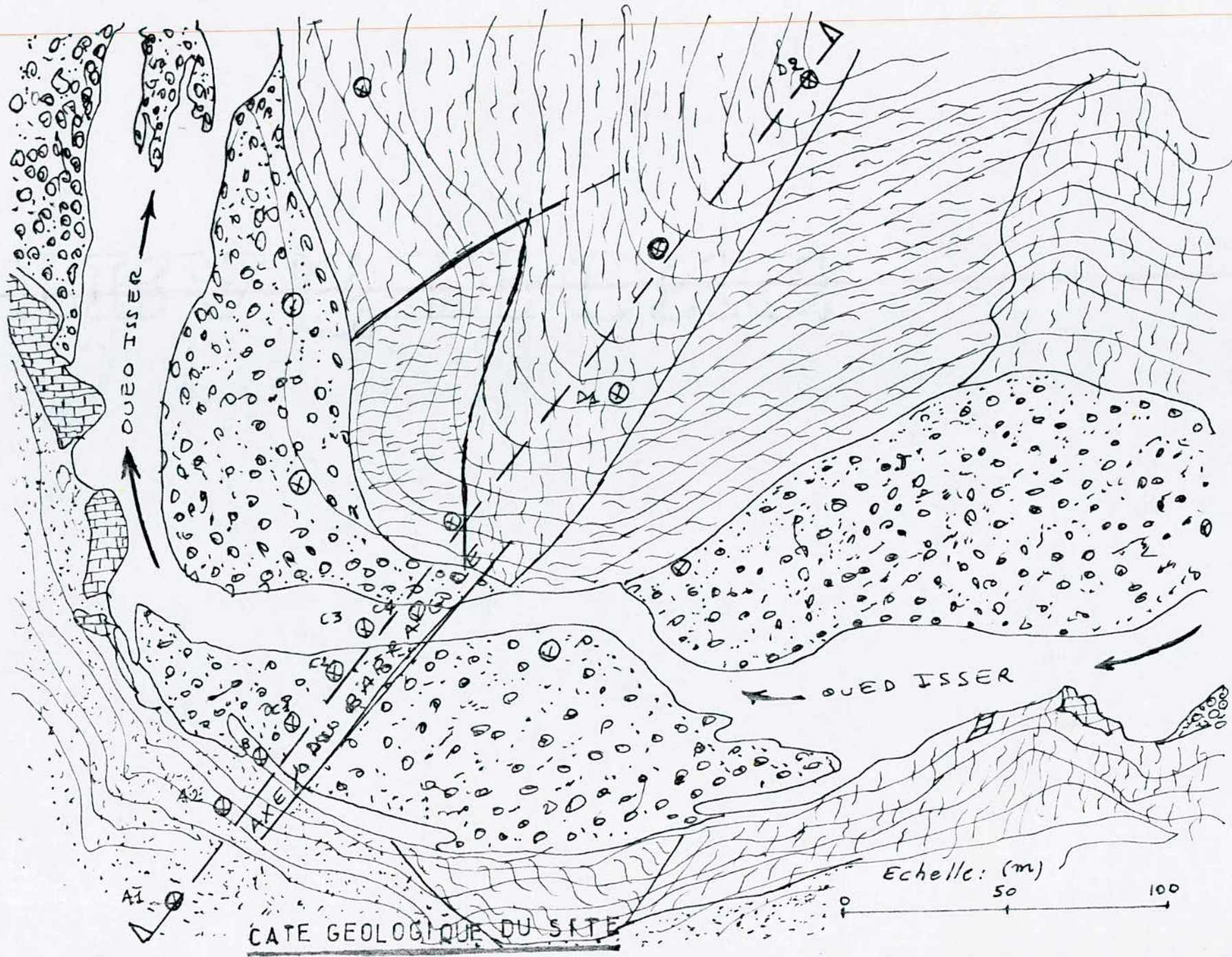
grossier l'on observe également des affleurements de GNEISS schisteux finement feuilletée. Les schiste sont du type micacé. Les calcaires métamorphiques ont conservé leur stratification d'origine, que constitue la discontinuité prédominante. L'on observe de nombreuses petites failles. Au niveau inférieure de la retenue présente des dépôts colluviaux et alluviaux superficiels. Les colluvions sont composées soit de fragments anguleux de schistes dans une matrice silteuse soit d'un matériau plus sableux dérivé du GNEISS. Les alluvions sont composés principalement de sable interstratifié de graviers par endroits, les sables silteux fins forment séparis horizons jusqu'à 6m au dessus de l'oued (niveau). A l'extrémité Sud de la section inférieure se trouvent les dépôts en terrasse argileux, brum-orange, très compacté en d'autres endroits puis du site du barrage il se trouvent à 40m au dessus du niveau de l'oued.

- Stabilité des pentes existantes :

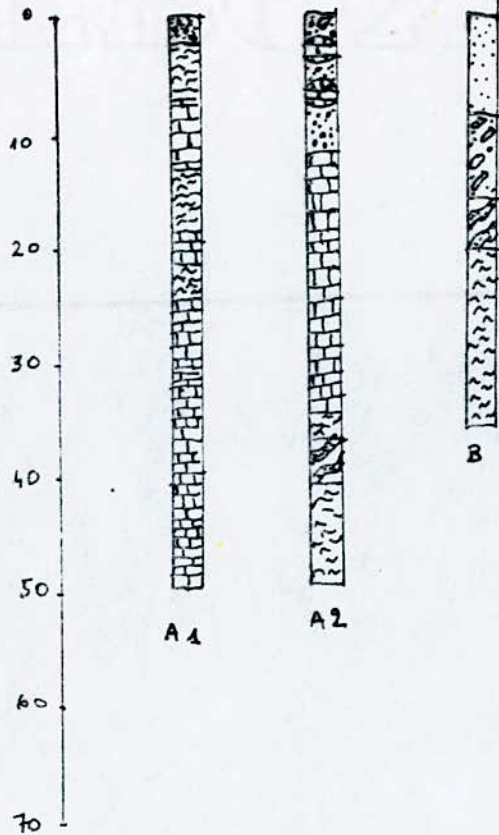
plusieurs glissements mineurs se soient produits dans les colluvions épaisse, l'on ne rencontre aucun signe d'instabilité à grande échelle dans les versants de la retenue.

- Etanchéité de la retenue :

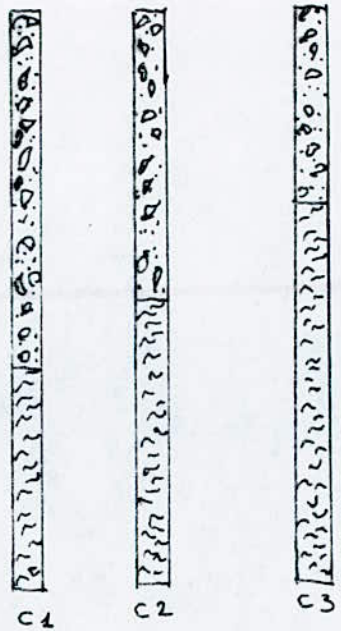
les calcaires de la gorge de "LAKMDARIA" sont visiblement de type karstique, mais ils se trouvent au dessus du niveau d'eau de la retenue sauf en période de crue. les autres



profondeur (m)



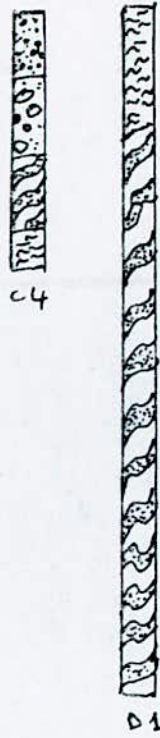
B



C1

C2

C3



C4

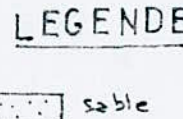
D1

profondeur (m)



D2

COUPES GEOLOGIQUES
DES
FORAGES



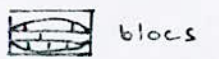
sable

Micaschistes



Graviers

Gneiss finement feuilleté



blocs

calcaire cristallin

Gneiss à quartz feldspath

fallie

affleurements de calcaire sont de taille réduite et ne paraissent pas être karstique. D'après les données observées en surface il semblerait peu probable qu'il se produise d'importante fuites d'eau au travers des calcaires, mais la possibilité de fuites vers une vallée adjacente à 1km vers l'Est a été envisagée en raison de la présence d'afflurement de calcaire à 200m en amont du barrage, pour améliorer le profil hydraulique de la vallée et pour fournir des matériaux de Rip-Rap pour la protection des recharges du barrage, une partie de cette crête de calcaire dans la rive gauche sera enlevée à cet effet. Des gres qui affleurent également dans le bassin de la retenue sont en majorité à graine fins et interstratifiés de mica-schistes. Leur perméabilité générale est faible.

GÉOLOGIE DU SITE:

Le site du barrage et une partie du bassin de la retenue reposent sur des roches métamorphiques du pré cambien. L'appui droit est composé de schiste et de gneiss à quartz-feldspath reliés par des zones de contacte faillees. Le schiste est recouvert d'une mince couche de colluvions, par contre le gneiss est bien exposé sur la partie inférieure du flanc amont.

Au niveau de l'axe du barrage la roche est dissimulée par des dépôts de colluvions dont la profondeur atteint 12m

dans la partie inférieure de la rive cependant les sondages indiquent que la pente repose sur du calcaire dolomique partiellement bréché interstratifié de gneiss finement feuilleté et souvent calcaire.

Dans la rive gauche vers l'aval on trouve des calcaires affleurant cette partie. En amont de l'axe du gneiss à quartz-feldspath à grain grossier présente des zones fissillées avec des micaschistes contenant des couches de calcaire cristallin.

- Le lit de l'oued d'une largeur de 90m, est rempli d'une couche, pouvant atteindre 31m de sable et de graviers de granulométrie bien étalée avec du limon. Le long de l'axe des sondages révèlent que les alluvions reposent sur du gneiss très finement feuilleté, dont la présence n'est pas révélée dans les affleurements.

- Gneiss à quartz-feldspath: se présente tel que: résistant, à grains moyen à grossier bien exposé dans les affleurements de la partie inférieure du flanc amont. L'affleurement droit la rive se présente faiblement feuilletée par endroits et contient des structures de feldspath très grossier. Sur la rive gauche les affleurements de gneiss à quartz-feldspar se réduisent à de très petites zones exposées au niveau de l'oued en amont de l'axe du barrage.

- Gneiss finement feuilleté: les alluvions reposent sur l'axe du barrage sur du gneiss déformé finement feuilleté,

de résistance moyenne, interstratifié de couche de micaschiste. À l'aval gauche on trouve du gneiss finement feuilleté, interstratifiés de calcaires dolomitiques.

- Schiste: au niveau de la pente aval de l'émissaire droit repose du micaschiste finement feuilleté, un affleurement dans la rive de l'oued révèle la présence de micaschiste fissile déformé à grains très fins de couleurs grise à brun rougeâtre. On rencontre sur ces pentes des blocs de schiste sableux. Sur la rive gauche en aval du site des micaschistes similaires sont posés.

- Calcaire dolomique: de type cristallins offlent dans la rive gauche de 70m à 140m en aval de l'axe. Leurs présence sous des colluvions de l'émissaire gauche révélée par des sondages cette roche gris clair est légèrement altérée et resistante.

- Alluvions: sur l'axe du barrage se trouve un caisson dans la roche, rempli d'alluvions, dont la profondeur atteint 31m près de la rive gauche, composés de sables et de gravier moyennement compacté de granulométrie bien échelée, avec par endroits des galets, du limon et un peu d'argile. Ces galets sont composés de calcaire, de gres, de quartz ainsi que d'une variété de schistes et de gneiss métamorphique.

- Colluvions: les fouilles ont révélé que des sols colluviaux d'une épaisseur de 400mm à 800mm recouvrent le schiste.

CHAP. III.

Détermination Des Paramètres Géotechniques

formant l'affleurement droit. Ces sols sont composés de grès et de schiste anguleux et en écailles, dans une matrice de limon argileux brun rougeâtre, un gravier sableur et anguleux constitue le composant principal des colluvions dérivées du grès sur l'apartie inférieure de l'émissaire gauche l'on observe d'épais dépôts colluviaux de grands blocs de calcaire sont visible dans la rive de l'oued.

Géologie structurale :

les roches métamorphiques du socle cristallin ont été soumises à de nombreuses périodes d'activité tectonique la structure géologique du site de Beni AMRANE est donc complexes.

Essai d'identification :

détermination des paramètres physique des différents matériaux de construction de la digue, lors de mise en place, à l'aide d'essai au laboratoire du chantier.

Teneur en eau :

c'est le rapport du poids d'eau dans le sol sur le poids du sol sec.

$$W\% = \frac{\text{Poids de l'eau} \cdot 100}{\text{Poids du sol sec}} = \frac{W_h - W_{sec}}{W_{sec}} \cdot 100$$

W_h : poids humide du sol

W_{sec} : poids sec du sol.

à partir de la teneur en W% on peut déterminer la densité sèche et la densité humide de l'échantillon.

$$\text{ou } \gamma_{sec} = \frac{\gamma_{humid}}{1 + W(\text{teneur eau})}$$

$$\text{et : } \gamma_{humid} = \frac{W}{V} = \frac{\text{Poids humide}}{\text{Volume}} ; \quad \gamma_{sec} = \frac{\text{Poids sec}}{\text{Volume}}$$

Il résulte que la densité sèche = $\frac{\gamma_{sec}}{\gamma_w}$ γ_w : poids volumique de l'eau

et que la densité humide = $\frac{\gamma_{humide}}{\gamma_w}$

$$\text{L'indice des vide } e: \quad e = \frac{\text{Volume}}{\frac{W_{sec}}{\gamma_{grains}}} - 1$$

on a $e = \frac{n}{1-n}$ donc la porosité en fonction de l'indice des vides

$$\text{est : } n = \frac{e}{1+e}$$

Analyse GRANULOMÉTRIQUE :

Elle a pour but de classer les sols en différentes classes granulaires, et de savoir quel type de sol il s'agit.

Le procédé est le suivant : la 1^e étape consiste à tamiser les grains et la 2^e étape est la ségmentation des grains fin (c.a.d le diamètre doit inférieur à une certaine valeur)

Appareillage :

- Passoires vibrant et tamis normalisé
- balances : de 15 kg à 1 grammes près
- Etuve pour le séchage des matériaux.

Le principe de cet essai est :

de fractionner l'échantillon au moyen d'une série de tamis. Les ouvertures sont dans le sens décroissant, ainsi le poids des grains refusé (ou passant) sont rapportés et mesurées nous calculons les différents pourcentage pour effectuer le tracé de la courbe sur papier semi logarithmique de type "courbe Tablot." où sont classés les différents sols.

On ce qui concerne la ségmentation : On prend les échantillons on les pese, puis on les dispergent dans l'eau. On mesure la densité des grains en suspension à partir de là on détermine les dimensions des grains correspondants aux différentes densités, on calcule le pourcentage des grains inférieur à une dimensions données. On utilise un crométre pour mesurer % le poids des grains inférieur au diamètre mesuré.

Tableau : des valeurs mesurées pour la Granulométrie de l'enrochement.

le volume du trou est de 108 dm^3 de côté 65 à 68 cm, le poids du sol enlevé plus la terre est de 40 kg.

Matériau : enrochement				
Tamis (mm)	Refus (kg)		(%) Accumulé	Tamisat globale (%)
	partiel	Accumulé		
300	23	23	9,6	90,4
150	10,7	33,7	14,0	86,0
50	11,0	44,7	19,6	81,4
40	26,0	70,7	29,4	70,6
20	30,5	101,2	42,2	57,8

Tamisat des grains inférieurs à 5,0 mm

10	680(8)	680(8)	17,7	47,4
5	99	1575	41,4	33,9
2,5	100	1900	20	23,6
1,2	110	210	42	29,7
0,6	95	305	61	13,2
0,3	70	375	75	8,5
0,15	55	430	86	4,7
0,075	10	470	94	2,0

Désignation	N°
échantillons	No
	No

S.6 ET S.7 - ANALYSE GRANULOMETRIQUE

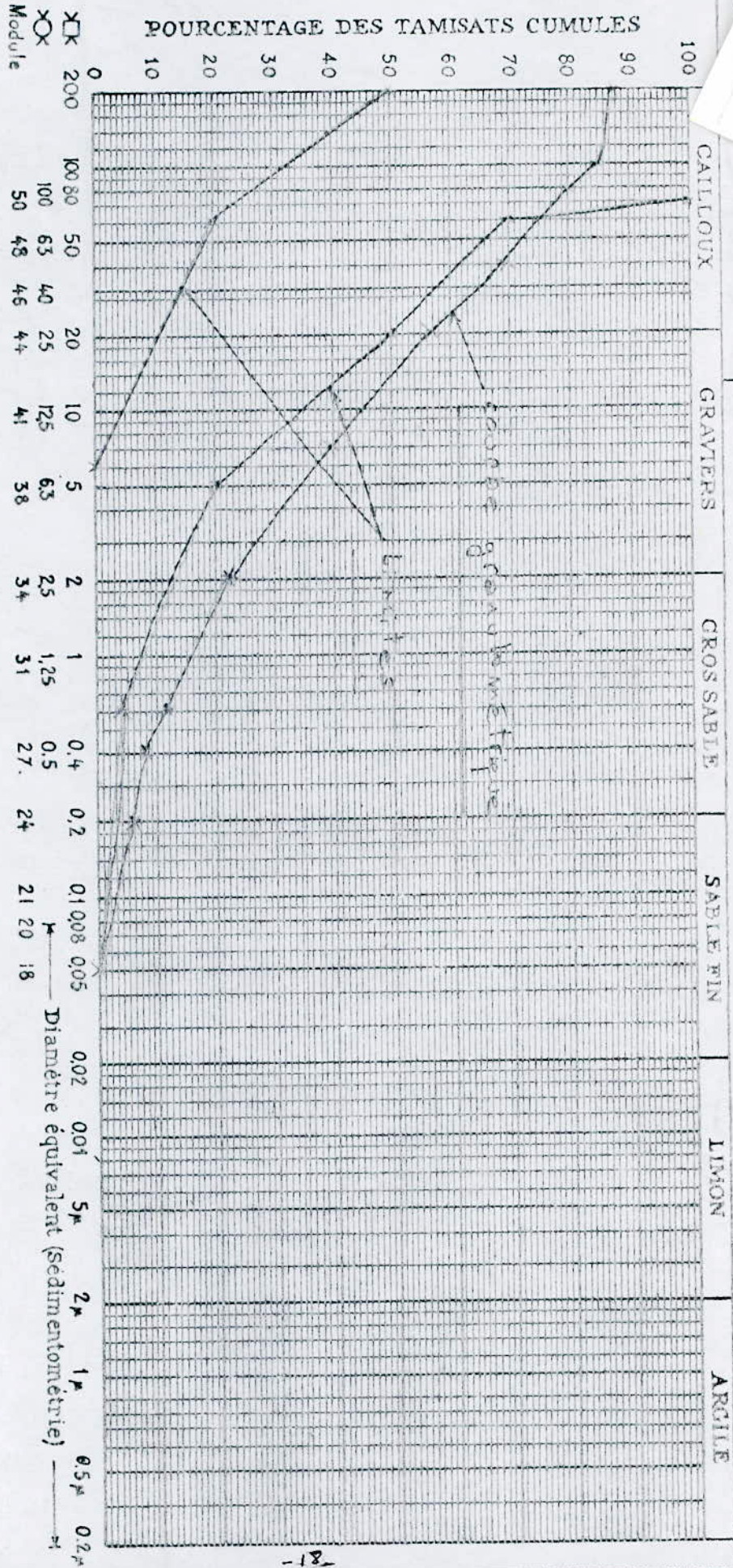


Tableau : des valeurs mesurées pour l'analyse GRANULOMÉTRIQUE
 du matériau Filtre A et Filtre B

essai réalisé de côte 65,5 à 66,00 m à l'amont de la digue.

Matériau : Filtre A				
Tamis (mm)	Rejet (g)		% Accumé	tamisat, globale %
	Partiel	Accumé		
40	-	-	-	-
20	-	-	-	-
10	-	-	-	-
4	10	10	2	98

Matériau : Filtre B				
Tamis (mm)	Rejet (g)		% Accumé	tamisat globale %
	Partiel	Accumé		
40	430	430	5,1	94,9
20	1325	1755	20,9	79,1
10	1115	2870	34,2	65,8
4	3110	5980	71,2	28,8

tamisage des grains inférieur 5 mm

2,0	75	85	17	33
1,2	65	150	30	70
0,6	95	245	43	51
0,3	120	365	73	24
0,15	160	465	93	7
0,075	30	495	99	1

2,0	240	240	48	14,9
1,2	90	330	66	9,8
0,6	75	405	91	5,5
0,3	30	435	87	3,7
0,15	20	455	91	2,6
0,075	20	475	95	1,4

L.N.T.P.B.

Désignation des échantillons

N°

N°

N°

DOSSIER :

S. 6 ET S. 7 - ANALYSE GRANULOMÉTRIQUE

ARGILE

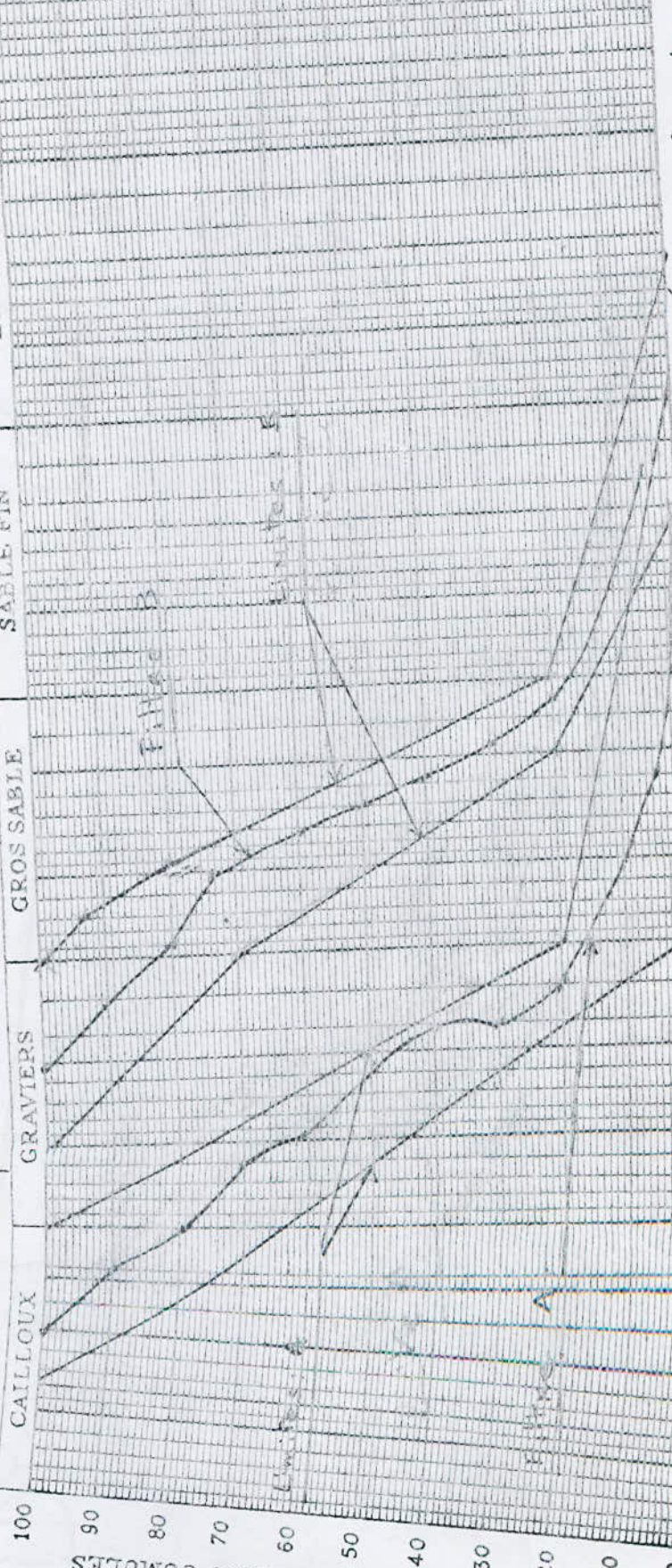
LIMON

SABLE FIN

GROS SABLE

GRAVIERS

CAILLOUX



Module	% < 80 μ	LIMITES D'ATTERBERG	S. 20 E. S.	Granulométrie
100	63	40	20	0.05
50	48	46	25	0.18
Module		I. L.	I. P.	L. R.

A et B

Granulométrie des filtres : A et B

Tableau : des valeurs mesurées pour la GRANULOMÉTRIE
de l'argile.

TAMIS (mm)	Poids cumulatif du tamisat	refus en %
2,0	0,3	99,4
1,2	0,1	99,2
0,5	0,32	98,6
0,3	0,30	98,0
0,1	1,17	95,6

Tableau : des valeurs mesurées pour l'Analyse de sédimentation
de l'argile

temps	température (°C)	Lecture sur l'échomètre R ₀	Lecture corrigée sur R	coefficient k	Diamètre des grains mesuré (mm)	% du poids des grains inférieurs à
30''	23	28,8	26,3	3,16	0,054	95,0
1'30''	23	28,0	25,5	3,16	0,033	89,5
15'	23	25,9	23,4	3,16	0,016	75,8
60'	24	12,5	17,0	3,16	0,0060	56,2
180'	24	15,4	12,9	3,16	0,00375	43,3
1200'	23	9,3	6,8	3,16	0,00163	23,4

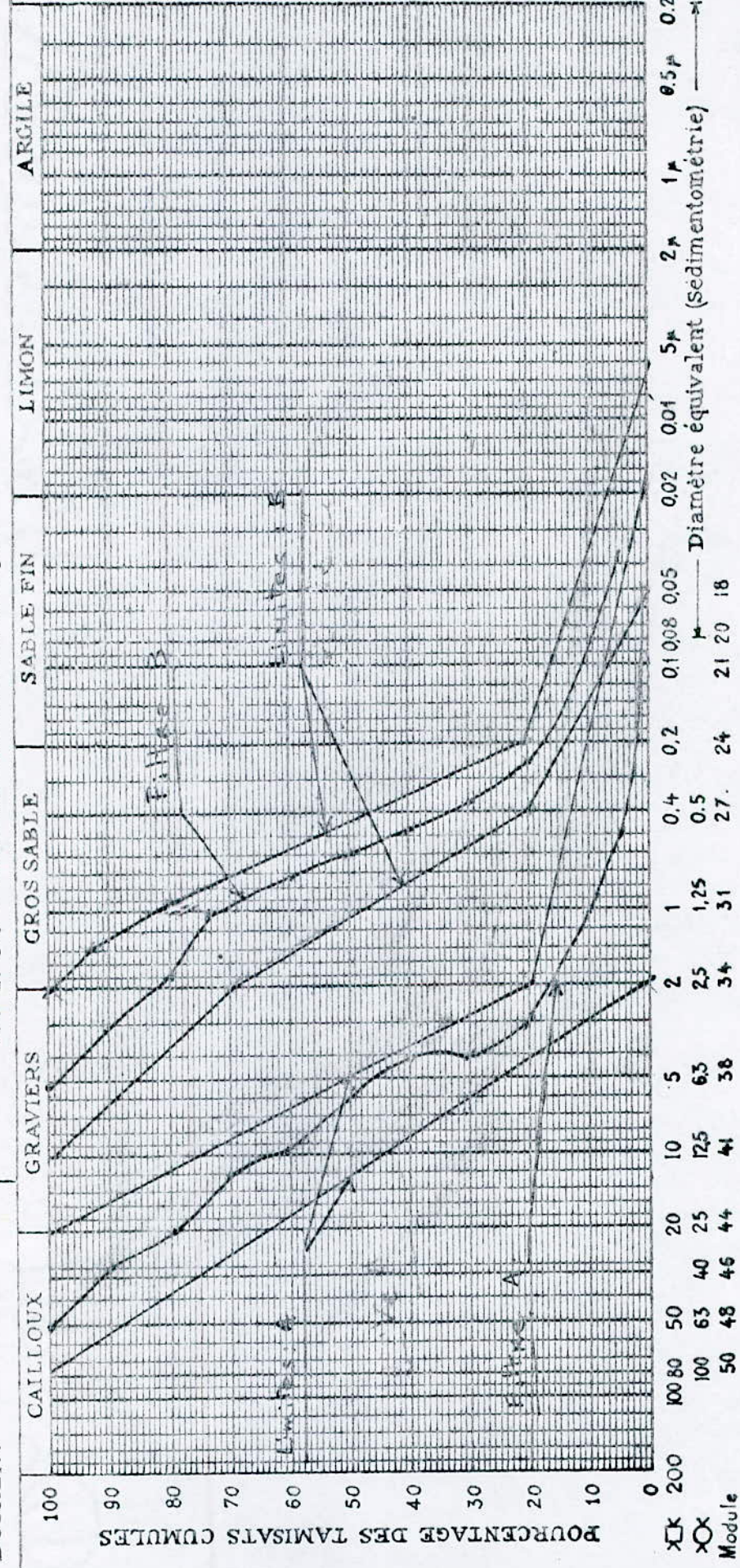
L.N.T.P.B.

Désignation des échantillons

N° N° N°

DOSSIER :

S. 6 ET S. 7 - ANALYSE GRANULOMETRIQUE



Granulométrique des Filtres : Aer

%	S. 8			S. 20		
	L. L.	I. P.	I. R.	E. S.		
Ech.						
Ech.						
Ech.						

L.T.P.C.

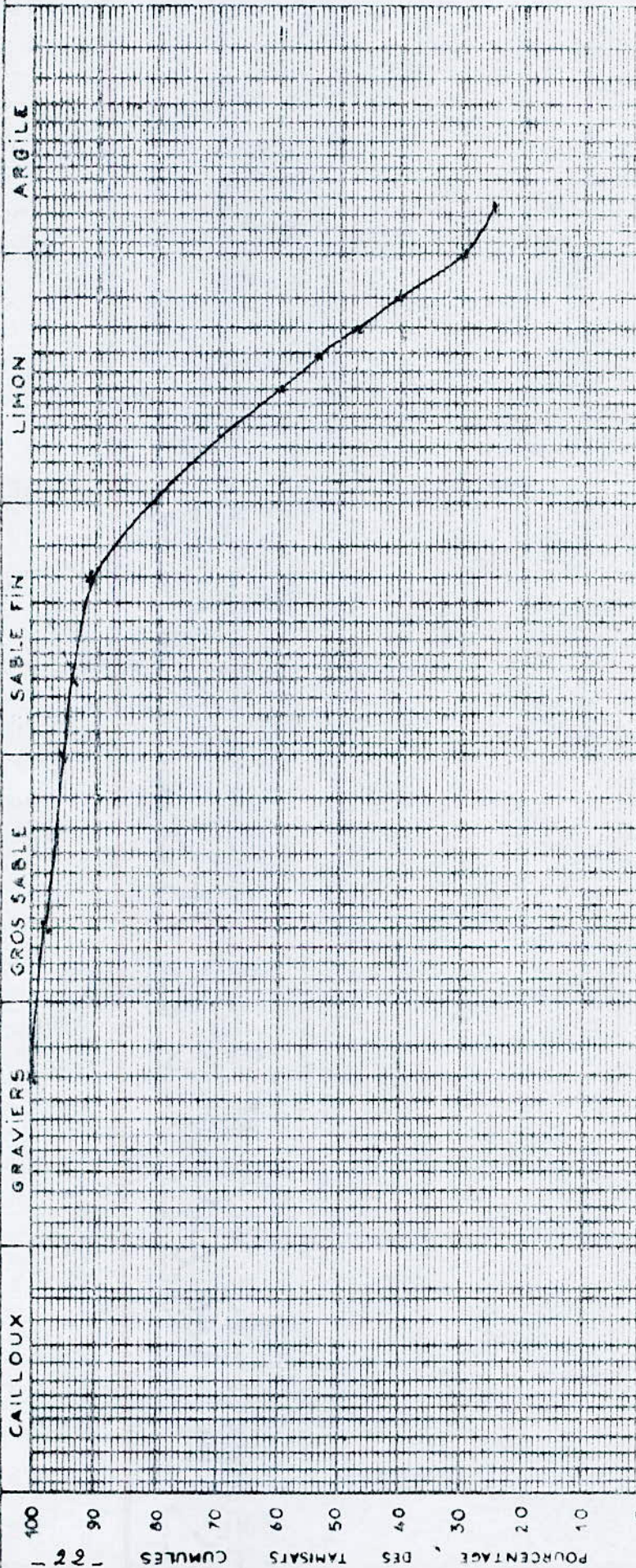
HUSSEIN-DEY — (Alger)

DÉSIGNATION
DES
ÉCHANTILLONS

Argile N°
N°
N°

DOSSIER

S6 & S7 ANALYSE GRANULOMÉTRIQUE



MODULE	S6			S7			DIAMÈTRE ÉQUIVALENT (SEDIMENTOMÉTRIE)		
	%	LIMITES D'ATTEMBERG	520	%	LIMITES D'ATTEMBERG	520	Ech.	Ech.	Ech.
< 80%	LL	IP	LR	ES					

Argile

Essai Proctor :

Le but de cette essai est de déterminer la teneur en eau optimale proctor qui correspond à la densité sèche maximum, ainsi nous déterminons la meilleure compacité du sol.

Le principe de cet essai est d'améliorer la texture du matériau et la capacité portante du sol, un bon compactage du sol après les essais proctor, diminue les risques de déformation du sol.

L'appareillage principale de cet essai est constitué d'un moule Proctor et d'une charge normale de 2,495 kg.

Le mode opératoire : On préleve un échantillon de l'onde de 11 kg qui correspond à 5 moules. On met à l'éture l'échantillon à une température de 50°, pendant 24 heures, ensuite on pulvérise l'échantillon à l'aide d'un maillet et après on le malaxe soigneusement. Ainsi l'échantillon préparé, l'essai se déroule dans des conditions satisfaisantes.

Pour le tracé de la courbe de saturation maximum à 100% on utilise la formule suivante :

$$\frac{\gamma_{sec}}{\gamma_{eau}} = \frac{\gamma_{grain}}{\gamma_{eau} + w \gamma_{grain}} \Rightarrow \gamma_{sat} = \frac{\gamma_{spécifique}}{1 + \gamma_{spécifique} \times \frac{w}{\text{moisture}}} \leftarrow$$

Essai Proctor normale : N° 1 Enrochement, moulé de diamètre 101 mm

Densité des grains γ : 2,7

Tableau des mesures

N° 1

	Volume (cm ³)	Poids sol compacté (g)	Poids volumique humide (g/cm ³)	Humidité (%)	Poids volumique sec (g/cm ³)	Aérosité (%)	Indice des vides	Degré de saturation
I	945	2100	2,22	54	2,11	21,8	0,28	52,1
II	945	2148	2,27	9,3	2,08	23,0	0,30	83,7
III	945	2115	2,24	11,3	2,01	25,5	0,34	79,7

L.T.P.C.

Département - Géotechnique

DOSSIER : Enrochement n°
ECHANTILLON :

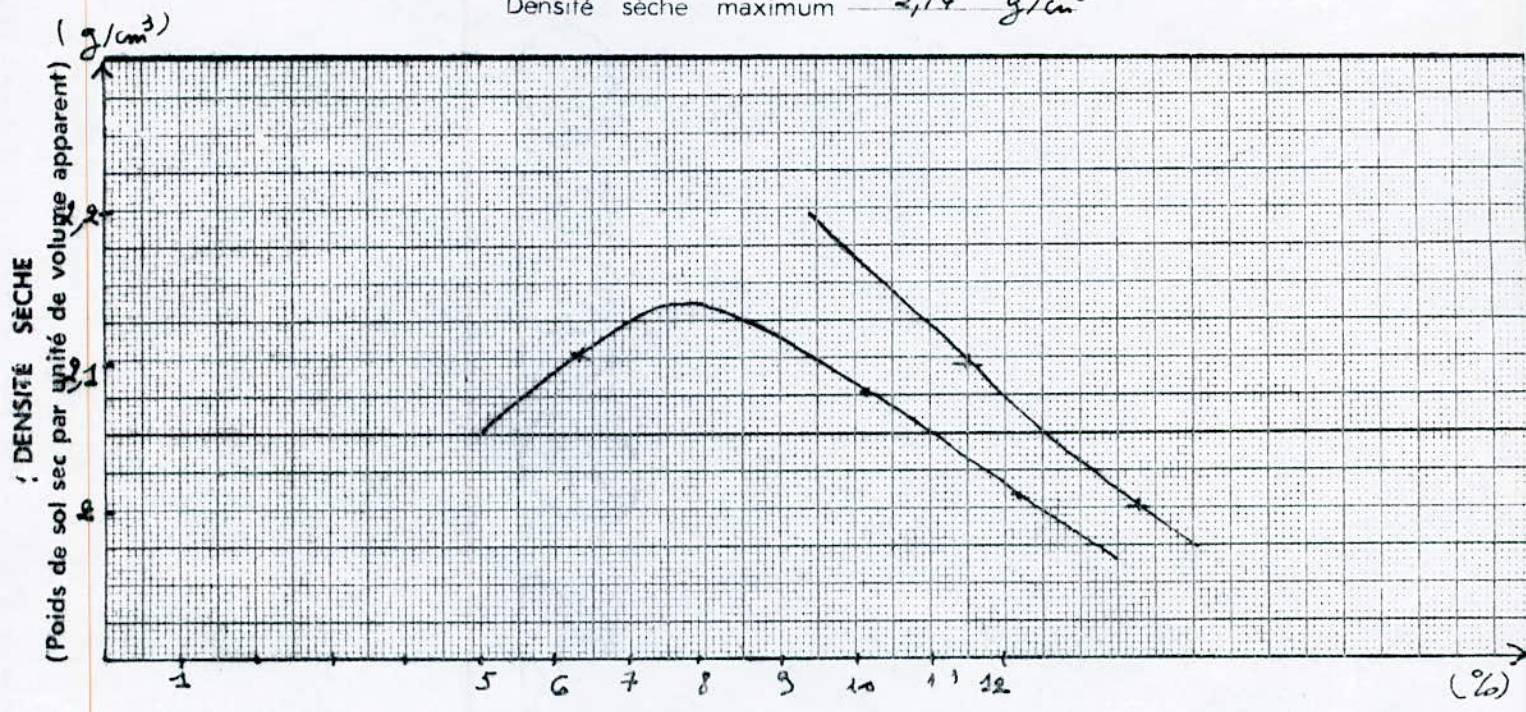
ESSAI PROCTOR

NORMAL : S. 1

MODIFIÉ : S. 2

Teneur en eau optimum 6,8%

Densité sèche maximum 2,14 g/cm³



TENEUR EN EAU (poids d'eau par unité de sol sec).

Essai Proctor:

N° 1, Argile, matrice de diamètre 101 mm

Normale

Densité des grains γ : 2,72 ; Limite de liquidité $L_L = 48,1\%$; Limite festigie: $L_p = 27,3\%$
Indice de plasticité $I_p = 27,3\%$

Tableau des mesures : N° 1

	Volume (cm ³)	Poids sol compacté (g)	Poids volumique humide (g/cm ³)	humidité (%)	Poids volumique sec (g/cm ³)	Porosité (%)	indice des vides	degré de saturation
I	945	1840	1,95	12,3	1,74	36,0	0,56	59,3
II	945	1900	2,01	15,1	1,75	35,7	0,56	73,3
III	945	1915	2,03	17,6	1,73	36,4	0,57	84,0

L.T.P.C.

Département - Géotechnique

DOSSIER : Argile N° 1

ECHANTILLON :

ESSAI PROCTOR

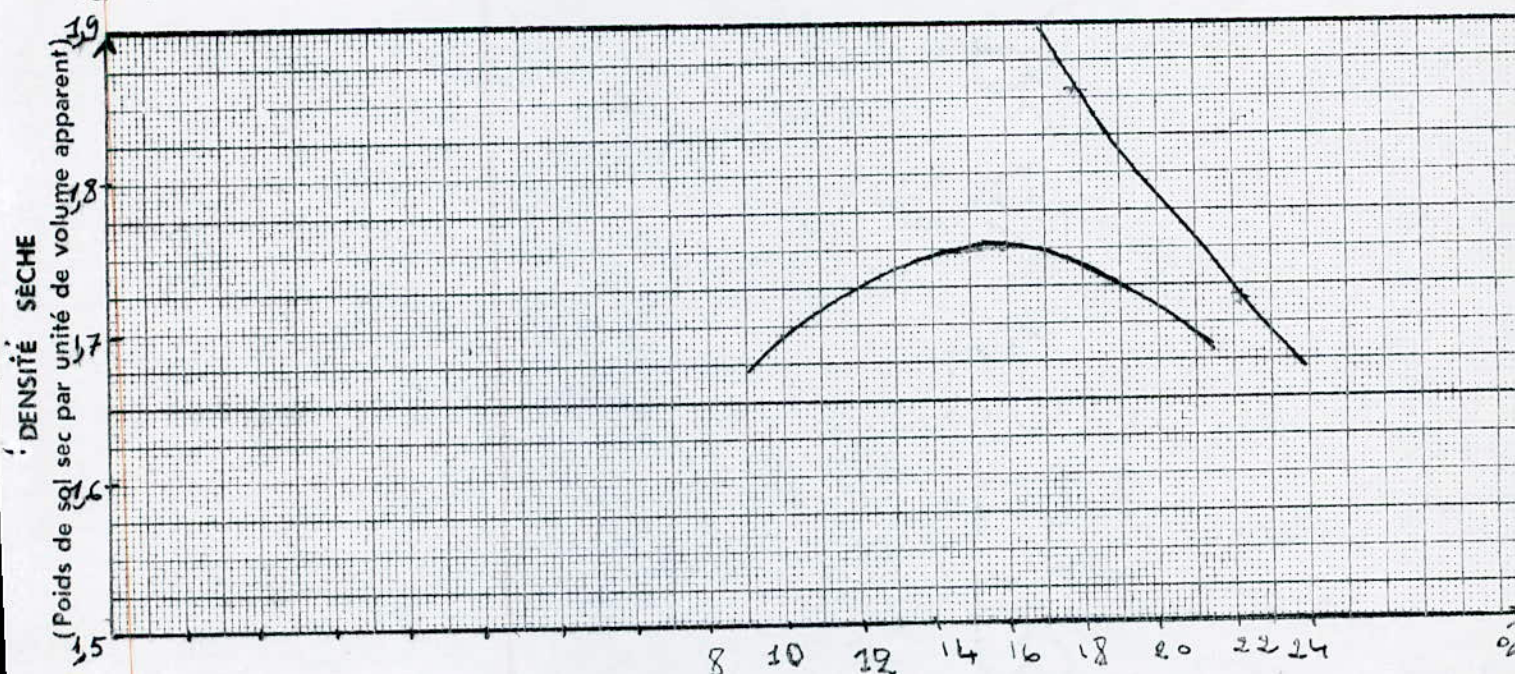
NORMAL : S. I

MODIFIÉ : S. II

Teneur en eau optimum 15,2 %

Densité sèche maximum 1,75 g/cm³

(g/cm³)



Essai Proctor normale : N°2, Argile, moulé de diamètre 101 mm

Densité des grains $\gamma = 2,70$. limite de liquidité $L_L = 37,4\%$; limite plastique : $I_p = 20,5\%$
Indice de plasticité $I_p = 16,5\%$

Tableau des mesures : N°2

	Volume (cm ³)	Poids sol compacté (g)	Poids volumique humide (g/cm ³)	humidité (%)	Poids volumique sec (g/cm ³)	Porosité (%)	indice des vides	degré de saturation
I	945	1845	1,95	14,0	1,71	36,67	0,58	65,2
II	945	1930	2,04	17,0	1,75	35,19	0,54	75
III	945	1900	2,01	19,5	1,68	37,78	0,61	86,3

L.T.P.C.

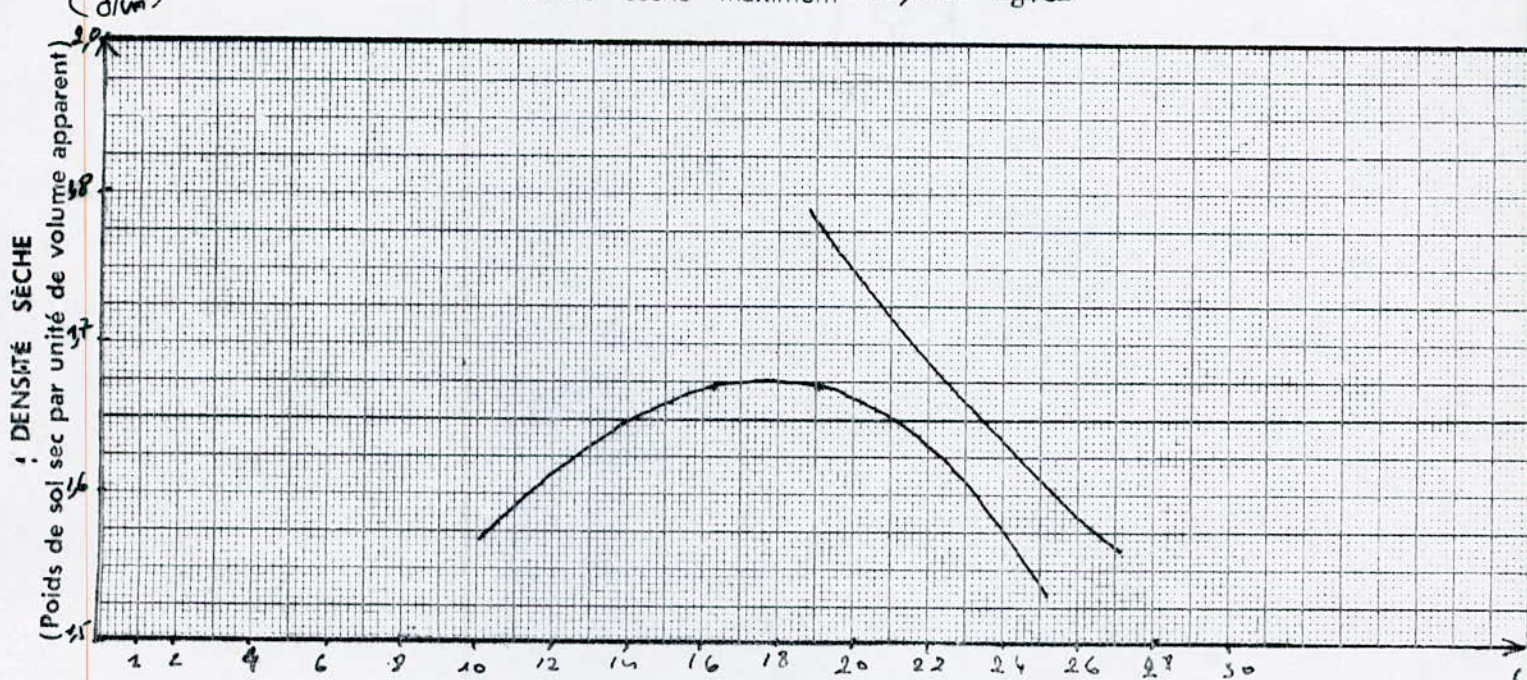
Département - Géotechnique

DOSSIER : Argile N°3
ECHANTILLON :

ESSAI PROCTOR NORMAL : S. I
MODIFIÉ : S. 2

Teneur en eau optimum - 18 %

Densité sèche maximum 1,675 g/cm³



ENAPAL

TENEUR EN EAU (poids d'eau par unité de sol sec).

Essai Proctor Normale: N°3 ; Argile ; moule de diamètre 101mm

Densité des grains γ : 2,7 Limite de liquidité $L_L = 61\%$; Limite plastique: $L_p = 25$
 Indice de plasticité $I_p = 30$

Tableau des mesures

N° 3

	Volume (cm ³)	Poids sol compacté (g)	Poids volumique humide (g/cm ³)	humidité (%)	Poids volumique sec (g/cm ³)	Porosité (%)	indice des vides	logie de saturation
I	945	1875	1,984	18,9	1,67	38,148	0,617	82,7
II	945	1880	1,989	21,6	1,64	39,259	0,647	90,1
III	945	1815	1,921	25,2	1,53	43,33	0,765	88,9

L.T.P.C.

Département - Géotechnique

DOSSIER : Argile N°2
 ECHANTILLON :

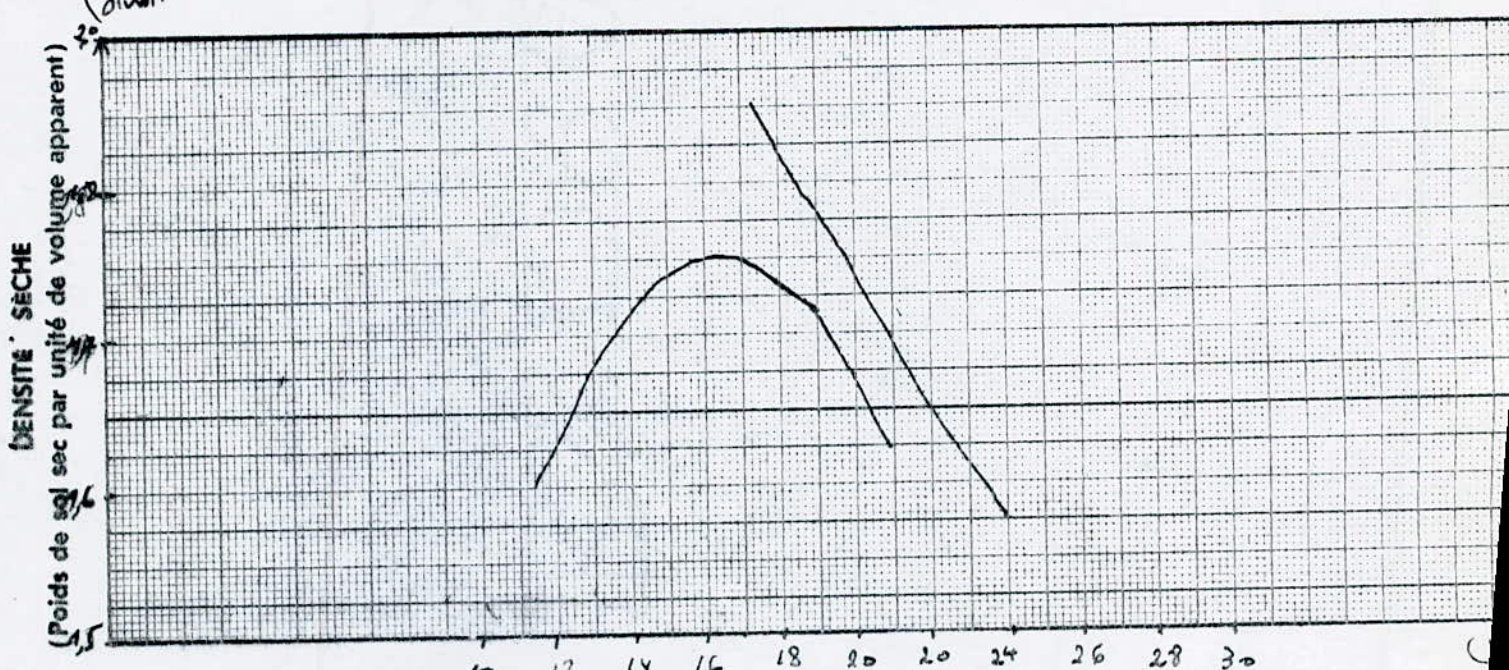
ESSAI PROCTOR

NORMAL : S. 1

MODIFIÉ : S. 2

Teneur en eau optimum 16,6 %

Densité sèche maximum 1,75 g/cm³



ENAPAL

TENEUR EN EAU (poids d'eau par unité de sol sec).

Essai : Limites d' Atterberg

but de cet essai est de déterminer la consistance du sol et son passage de l'état liquide à l'état plastique.

d'où l'indice de plasticité $I_p = w_L - w_P$

avec w_L et w_P : teneur en eau L: liquide et P: plastique

I_L : indice liquidité : $I_L = \frac{w - w_P}{I_p}$

I_c : indice de consistance critique : $I_c = \frac{w_L - w}{I_p}$

Appareillage utilisé :

étau, balance, appareil de "casagrande", outil à rainer, spatule

Mode opératoire : "Limite de liquidité"

On malaxe l'échantillon de sol avec une spatule de 60 g à 70 g

on réalise la rainure de 2 cm, on fait le mouvement de choc

vu le jusqu'à ce que les 2 parties se touche.

On suit en passant à la limite de plasticité, on fait un fuseau de 2 mm de diamètre, on met dans des gobelets que l'on pese.

**LABORATOIRE DES TRAVAUX
PUBLICS DU CENTRE**

1, Rue Kaddour Rahim
HUSSEIN - DEY

Dossier _____
Echantillon N° 1 _____
Date _____
Opérateur _____
Nature du matériau ARGILE N° 1
Séchage, préparation 8 heures
Séchage teneur en eau _____

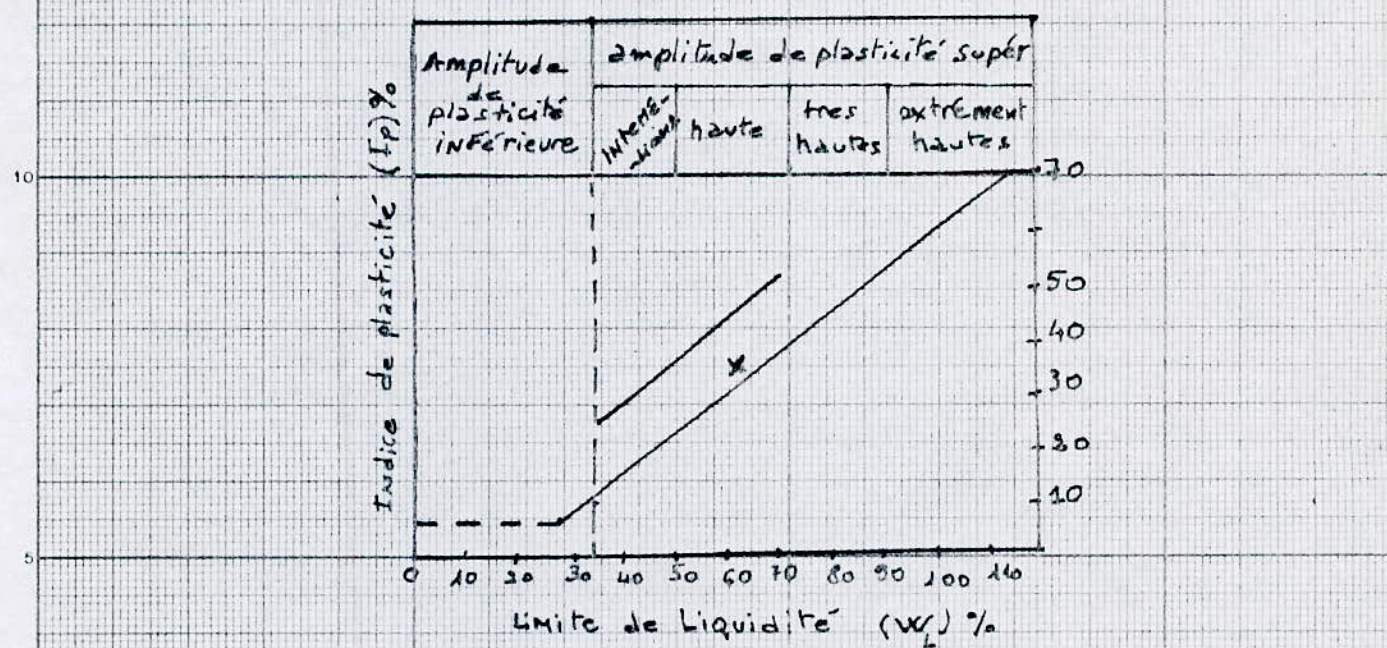
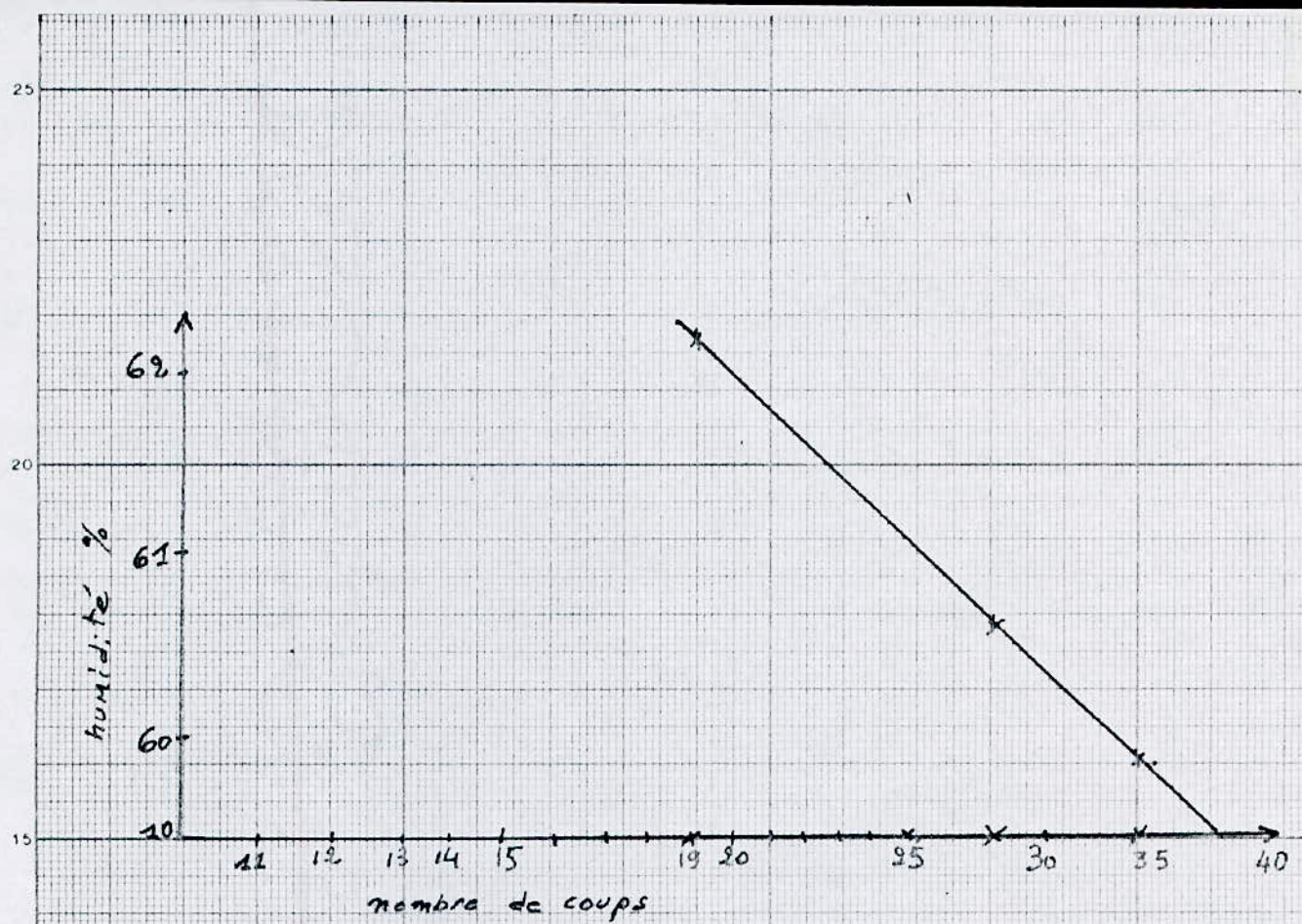
LIMITES D'ATTERBERG

Résultats	$\left. \begin{array}{l} LL = 63,1 \% \\ IP = 35,5 \% \\ LP = 25,6 \% \end{array} \right\}$
-----------	---

II - LIMITE DE PLASTICITE

	1er Essai	2ème Essai	3ème Essai éventuellement
No de la tare _____	55M	58M	
Poids total humide _____	13,85	15,50	
Poids total sec _____	13,00	14,30	
Poids de la tare _____	9,69	9,69	
Poids de l'eau _____	0,85	1,2	
Poids du sol sec _____	3,31	4,70	
Teneur en eau % _____	25,7	25,5	
Moyenne _____			

$LP = 63,1$



Limite d'ATTERBERG: n°1 argile

LABORATOIRE DES TRAVAUX
PUBLICS DU CENTRE

1. Rue Kaddour Rahim
HOUSSAIN - DEY

Dossier _____
Echantillon N°2
Date _____
Opérateur _____
Nature du matériau Argile (N°2)
Séchage, préparation 8 heures
Séchage teneur en eau _____

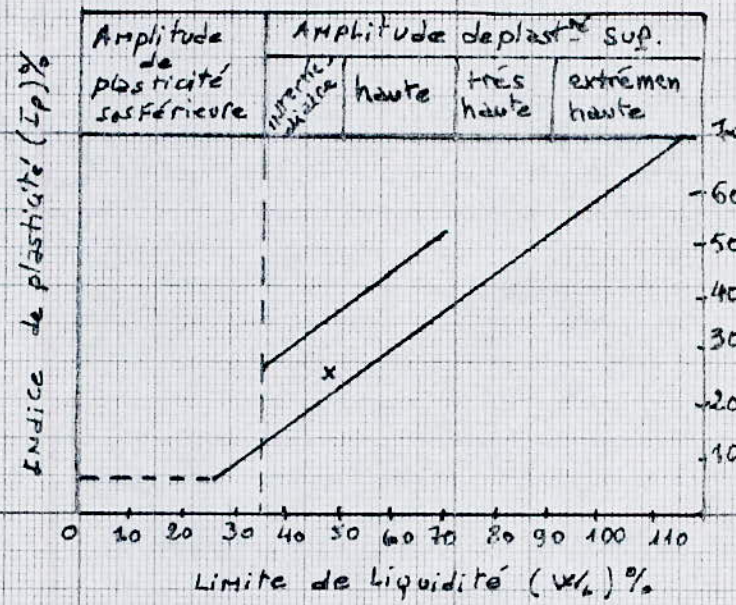
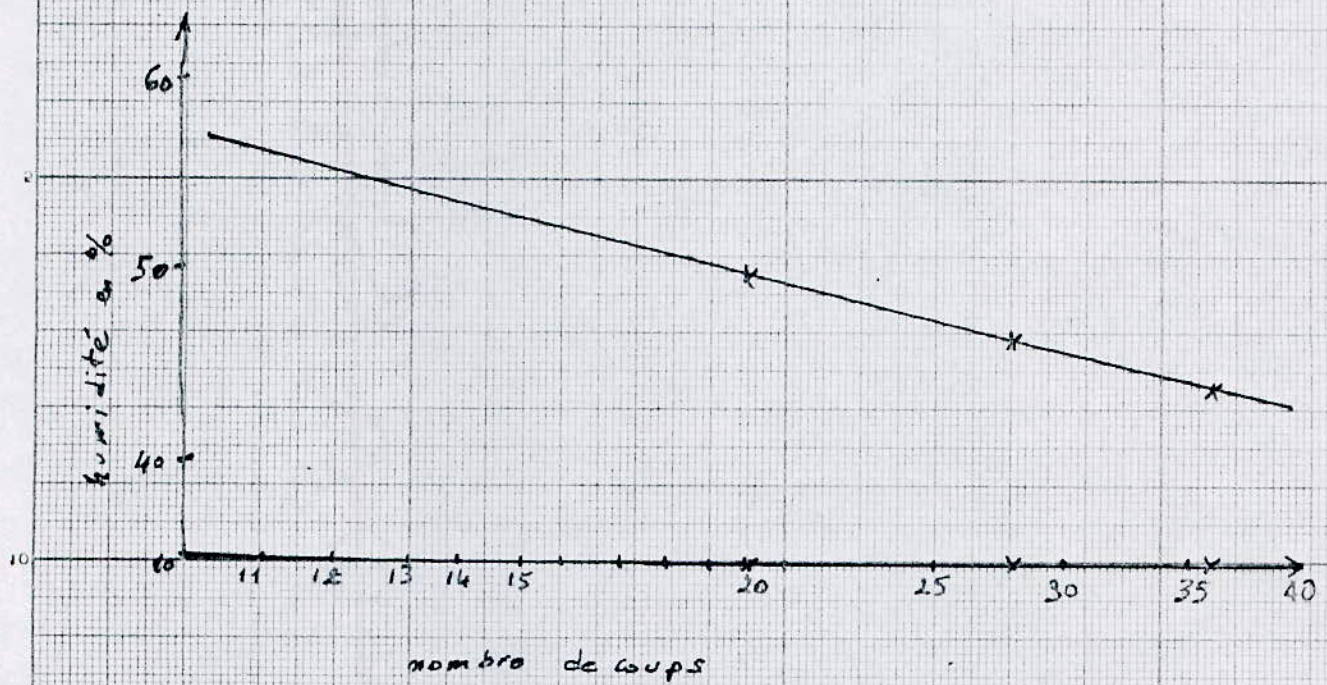
LIMITES D'ATTERBERG

Résultats $\left\{ \begin{array}{l} LL = 47,7 \% \\ IP = 26,9 \% \\ LP = 26,9 \% \end{array} \right.$
--

II - LIMITE DE PLASTICITE

	1er Essai	2ème Essai	3ème Essai éventuellement
No de la tare	60 H	59 H	
Poids total humide	16,00	15,25	
Poids total sec	14,95	15,15	
Poids de la tare	9,66	9,79	
Poids de l'eau	1,05	1,10	
Poids du sol sec	5,29	5,36	
Teneur en eau %	19,8	20,5	
Moyenne			

$LP = 26,9 \%$



Limite d'ATTERBERG: N° 2 Argile

**LABORATOIRE DES TRAVAUX
PUBLICS DU CENTRE**

1, Rue Kaddour Rahim
HUSSEIN - DEY

Dossier _____
Echantillon N° 3 _____
Date _____
Opérateur _____
Nature du matériau Argile (n° 3)
Séchage, préparation 8 heures
Séchage teneur en eau _____

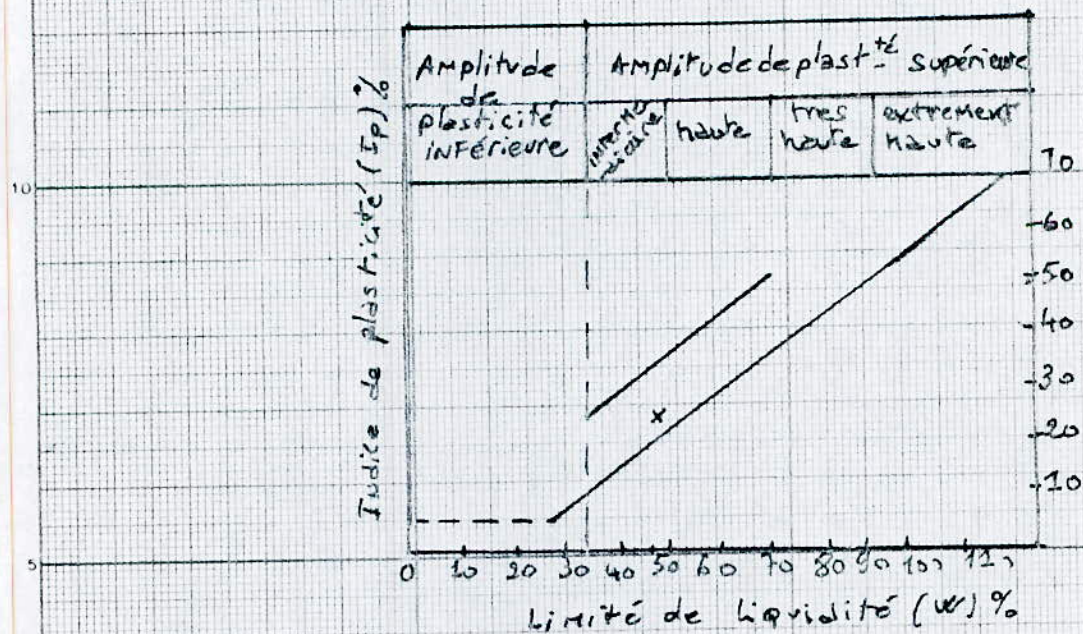
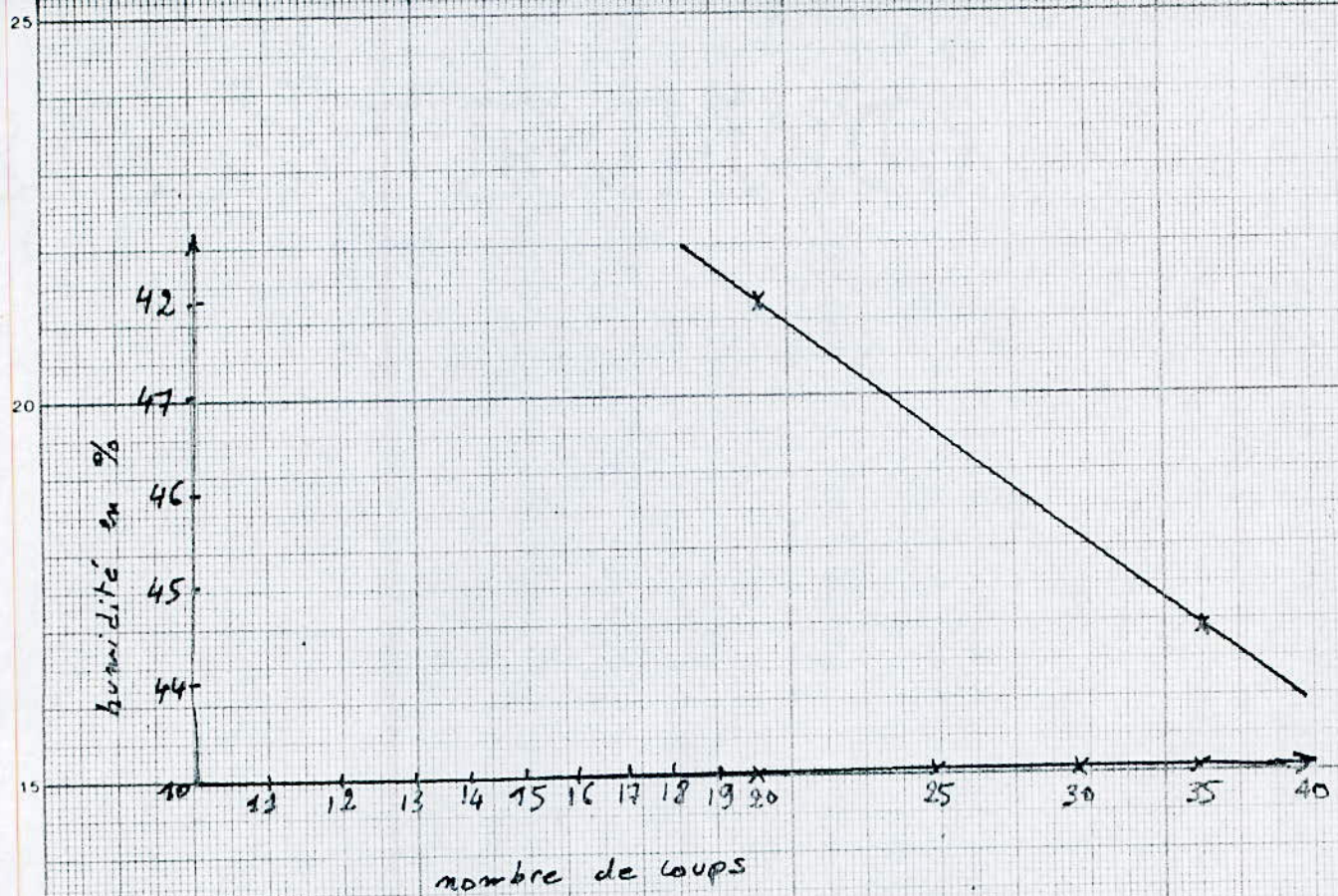
LIMITES D'ATTERBERG

Résultats	$\left\{ \begin{array}{l} LL = 46,6 \\ IP = 24,8 \\ LP = 21,8 \end{array} \right.$
-----------	--

II - LIMITE DE PLASTICITE

	1er Essai	2ème Essai	3ème Essai éventuellement
No de la tare _____	8 P	17 P	
Poids total humide _____	19,55	20,12	
Poids total sec _____	18,40	18,95	
Poids de la tare _____	13,37	13,28	
Poids de l'eau _____	1,15	1,17	
Poids du sol sec _____	5,03	5,67	
Teneur en eau % _____	22,9	20,6	
Moyenne _____			

$LP = 21,8$



LINÉE d' ATTERBERG : N° 3 Argile

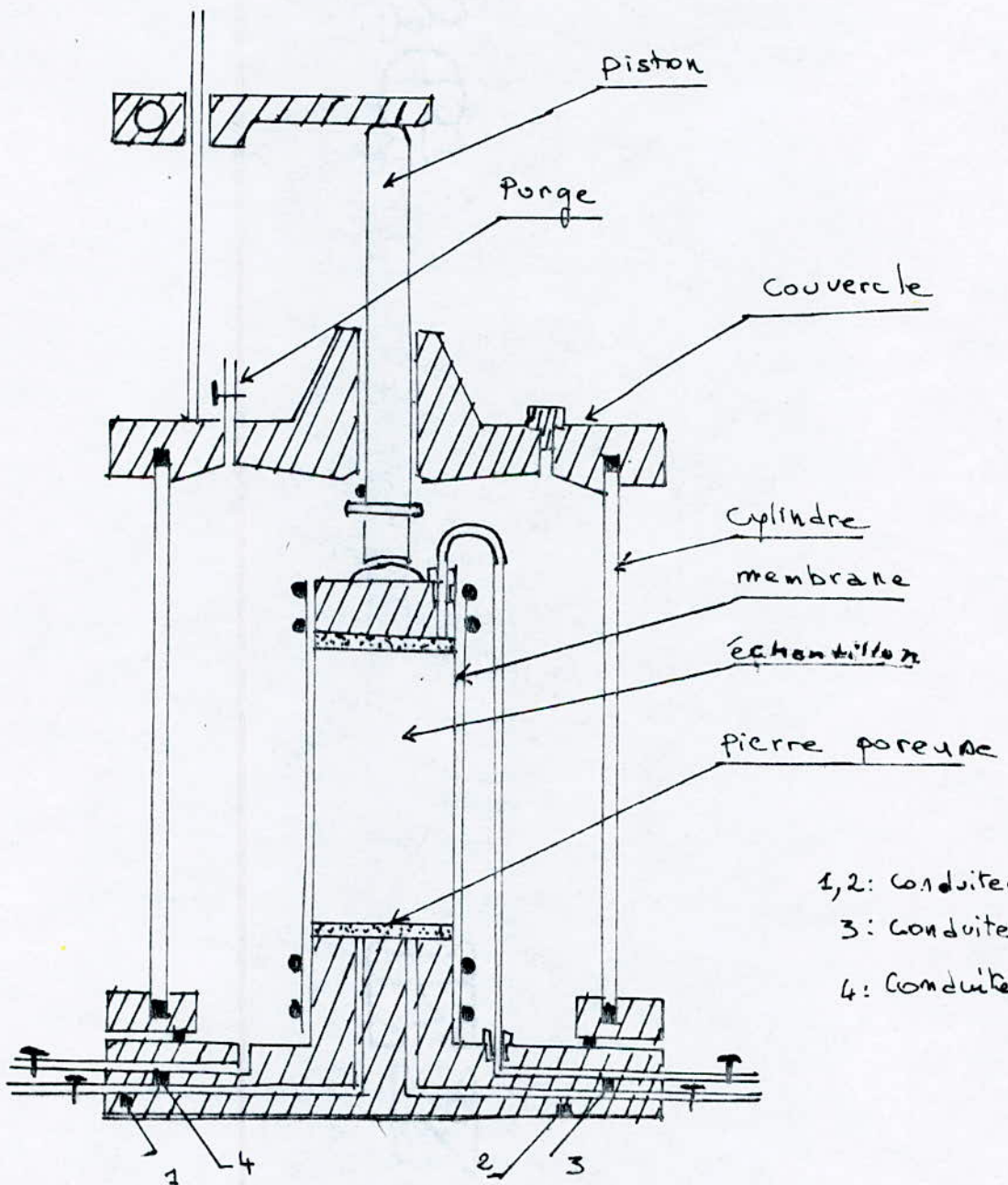
Essai triaxial :

Le but de l'essai triaxial consiste à déterminer les paramètres géotechnique du sol à savoir l'angle de frottement φ et la cohésion C . On peut réaliser différents types d'essais avec cet appareil sur le problème ou le type de sol à analyser.

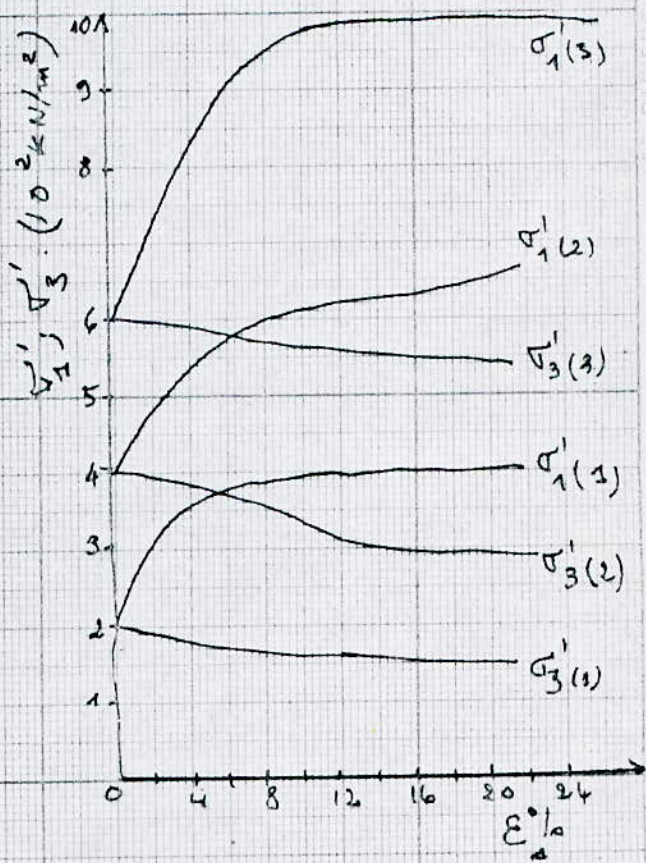
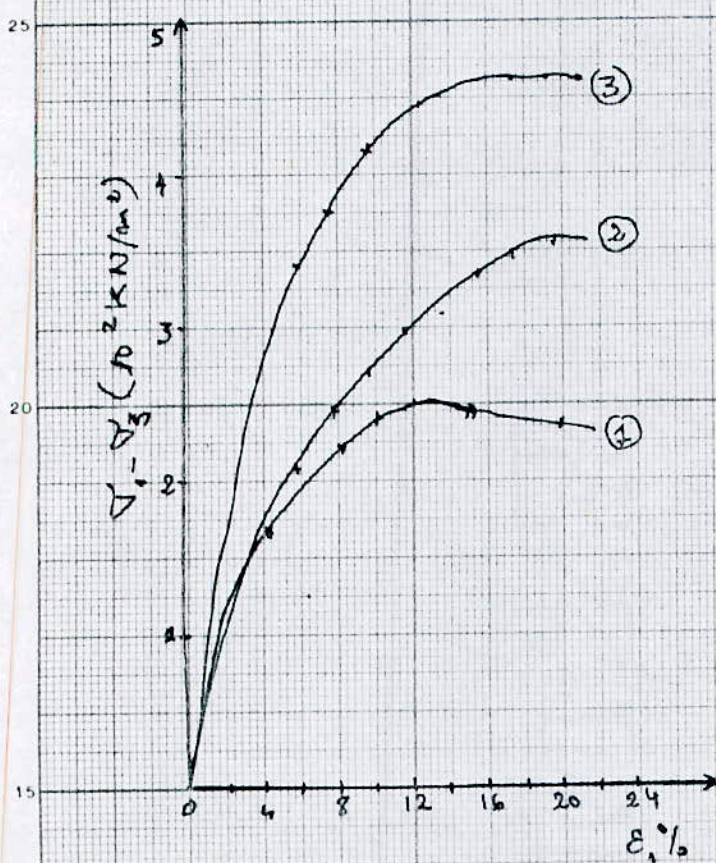
Mode expérimentale : pour réaliser cet essai il faut prendre 3 échantillons de sol qui seront taillés sur un moule cylindrique de même dimension pour les 3 échantillons. La 2^e étape consiste à la saturation des échantillons puis places dans leurs cellules, elle est assurée par une contre pression, cette pression d'eau servira à exercer une pression verticale tel que, elle remplit tout les vides de l'échantillon, le maintient en équilibre de l'échantillon se fait par une pression radiale.

→ L'essai de compression triaxial est réalisé dans les conditions "CU" sur des échantillons de diamètre 5cm et hauteur 10cm. La consolidation est faite avec une saturation de 85%, après consolidation, le cisaillement est fait avec des charges de 2; 4; $6 \cdot 10^2 \text{ kN/m}^2$ avec une vitesse de cisaillement de 0,06 m/min.

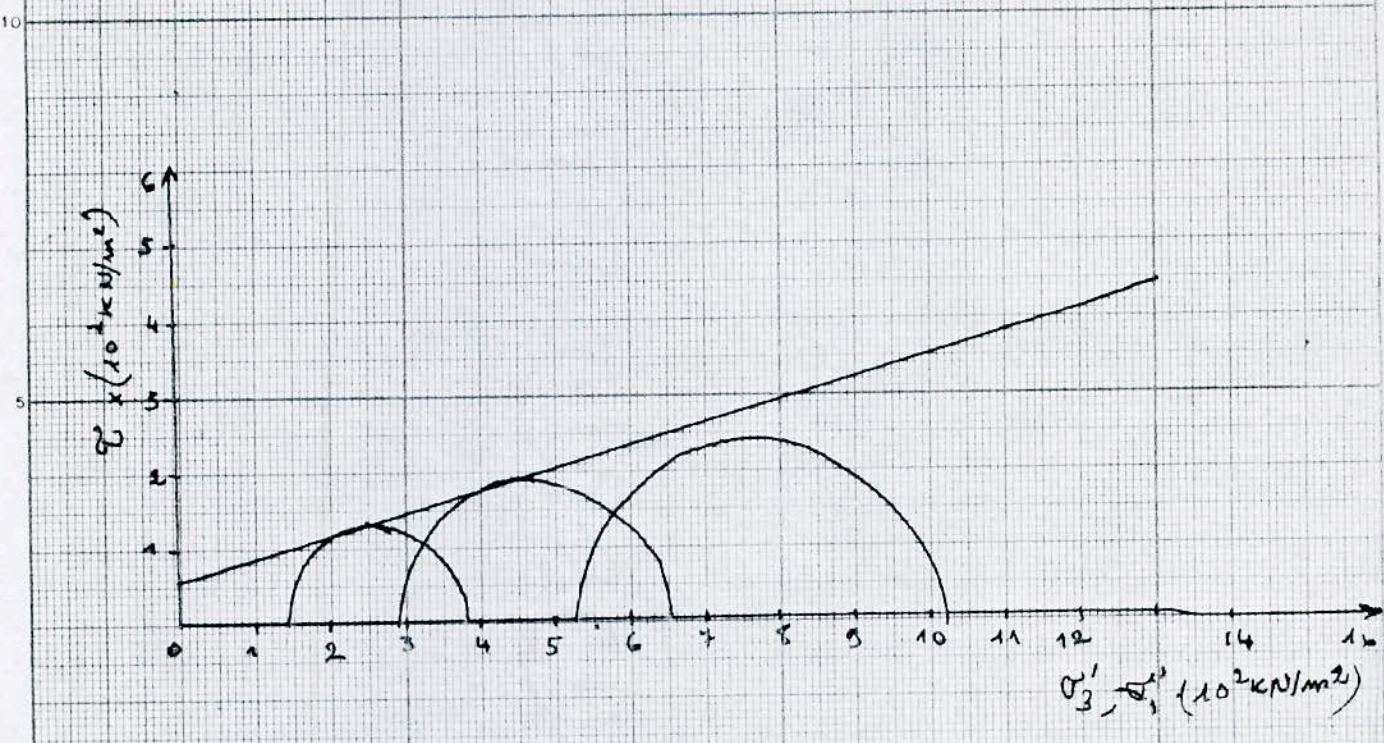
console mobile

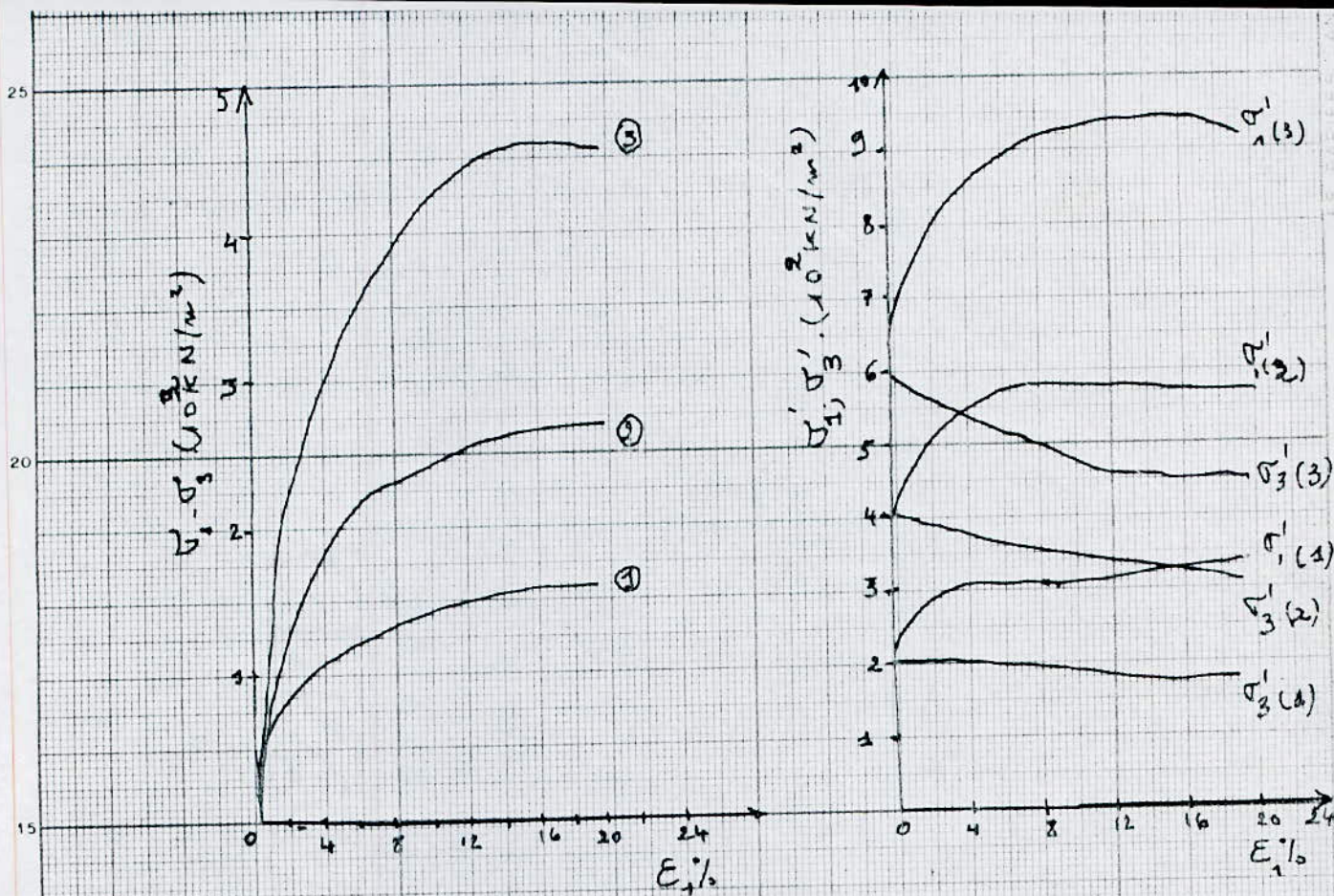


SHEMA DE LA CELLULE TRIAXIAL

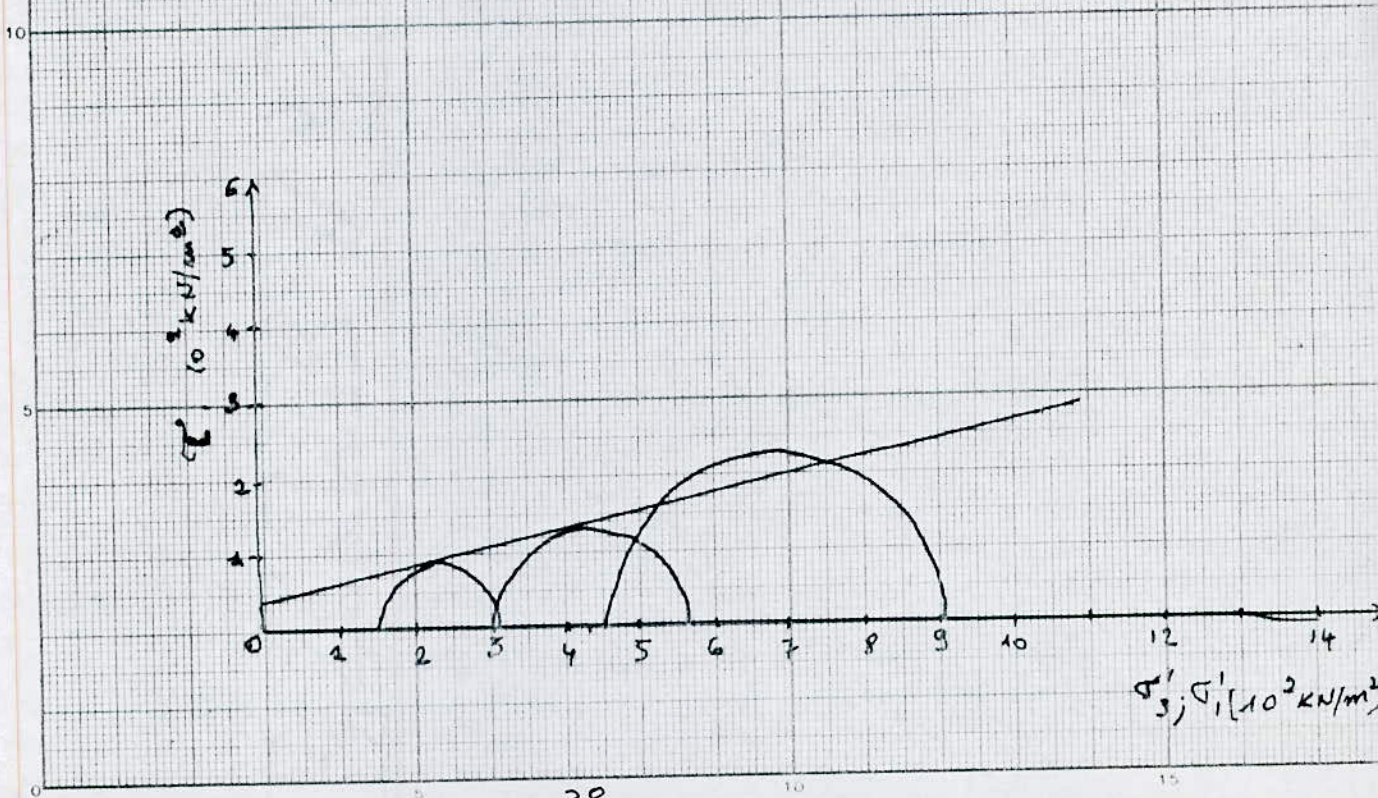


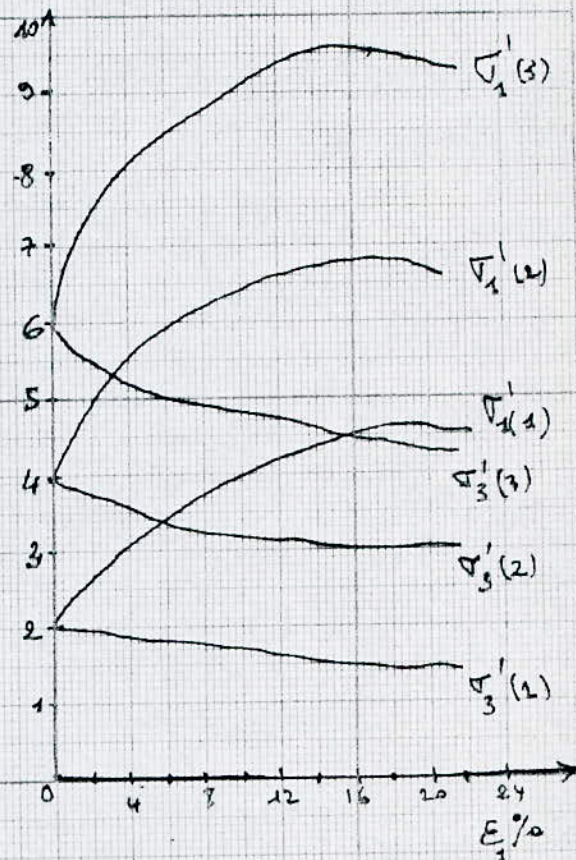
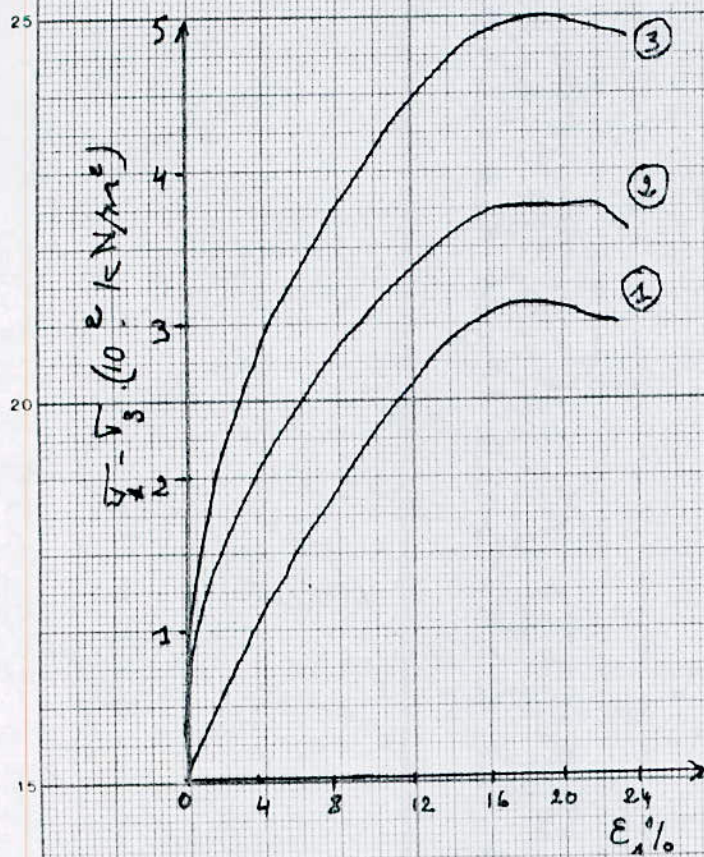
Essai triaxial : N° 1 Argile



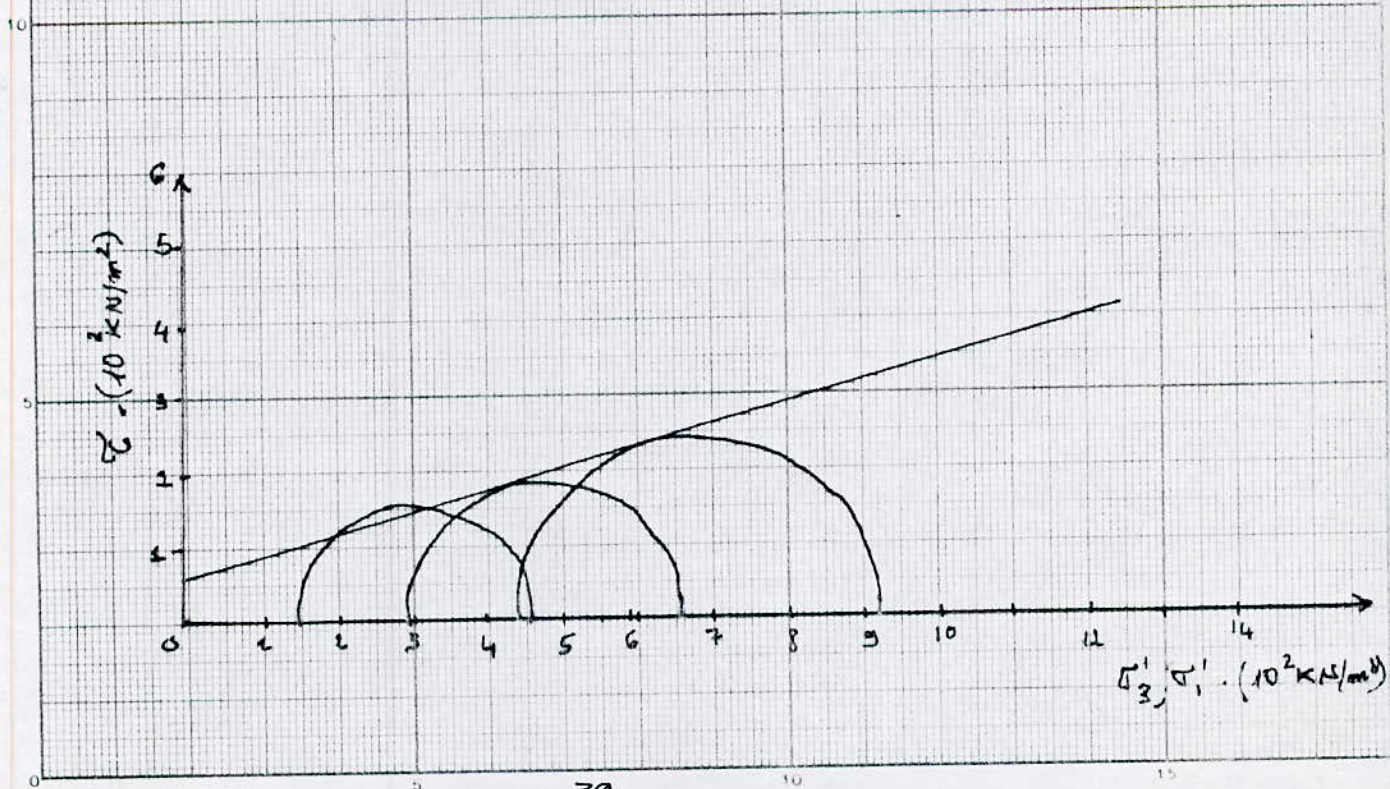


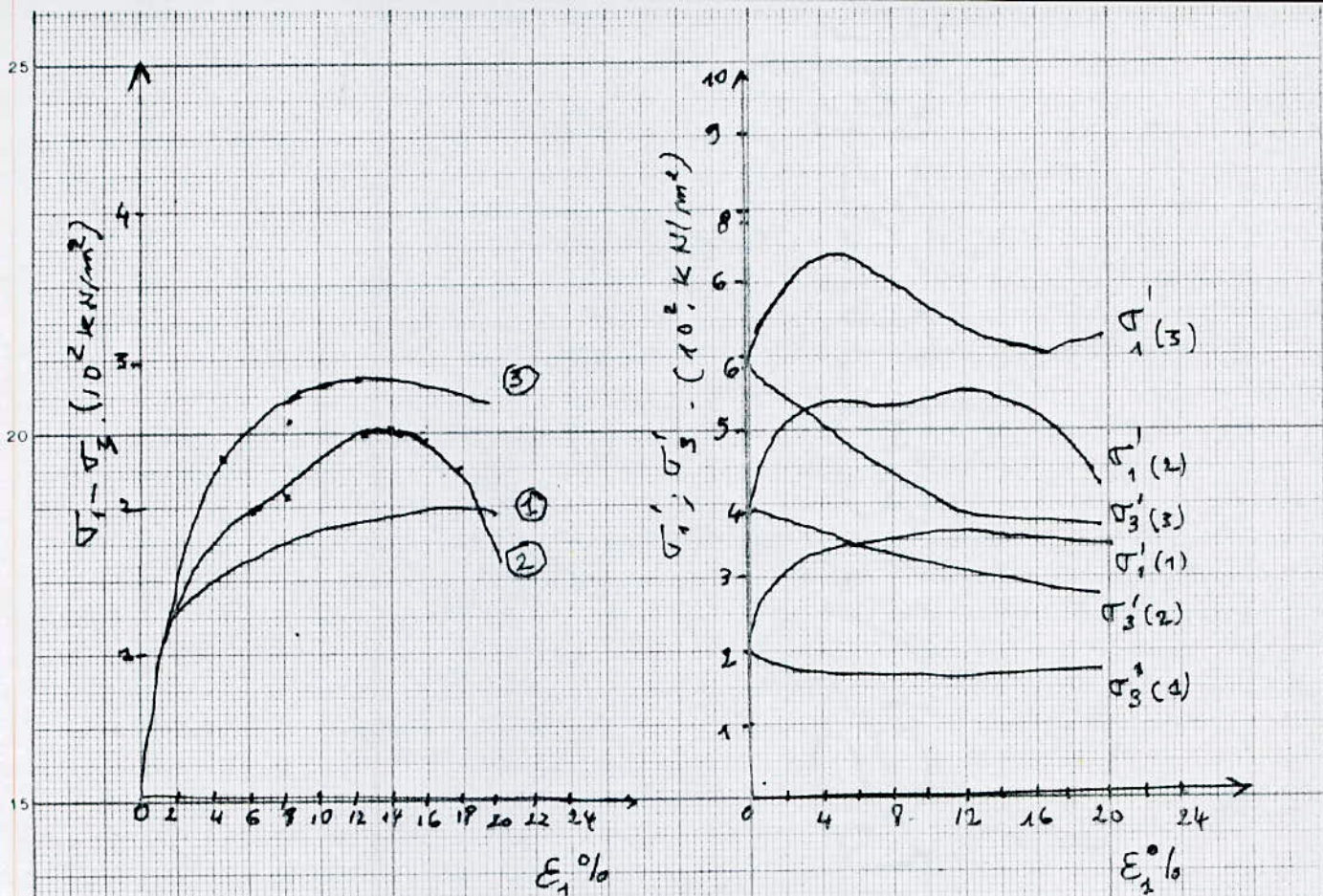
Essai triaxial N° 2 Argile



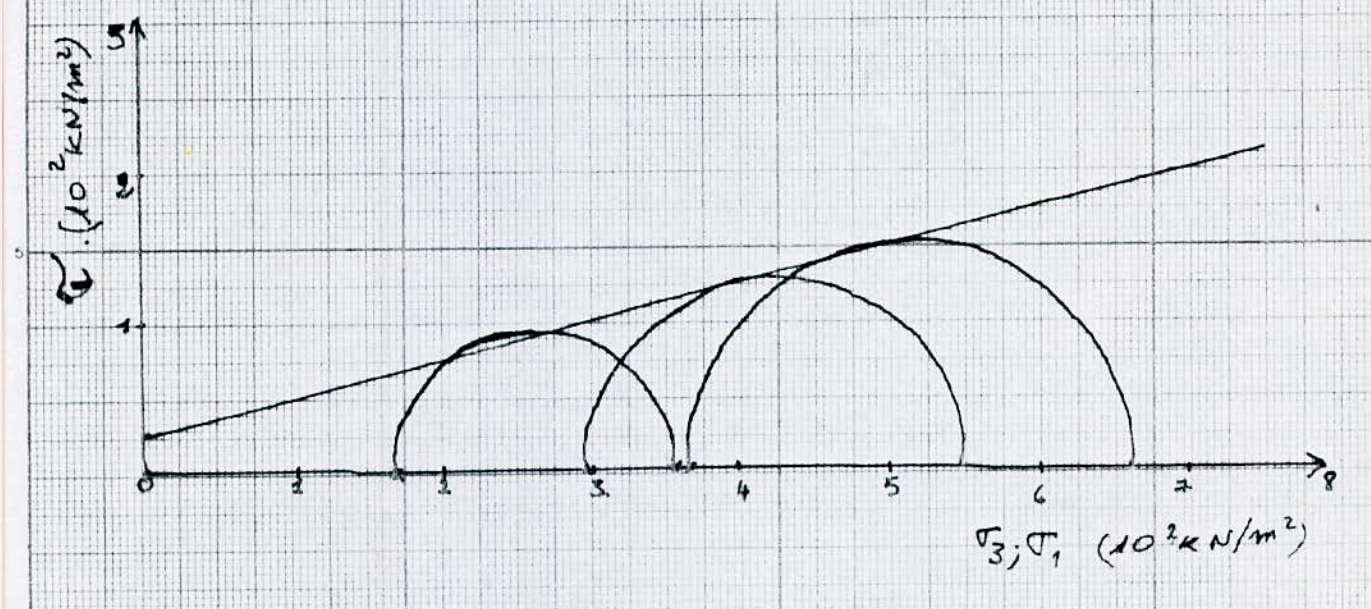


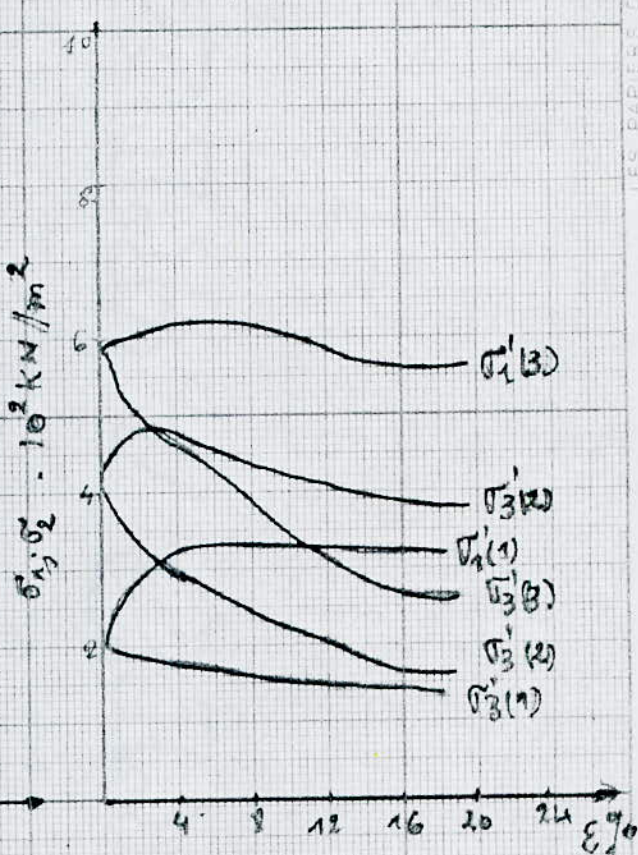
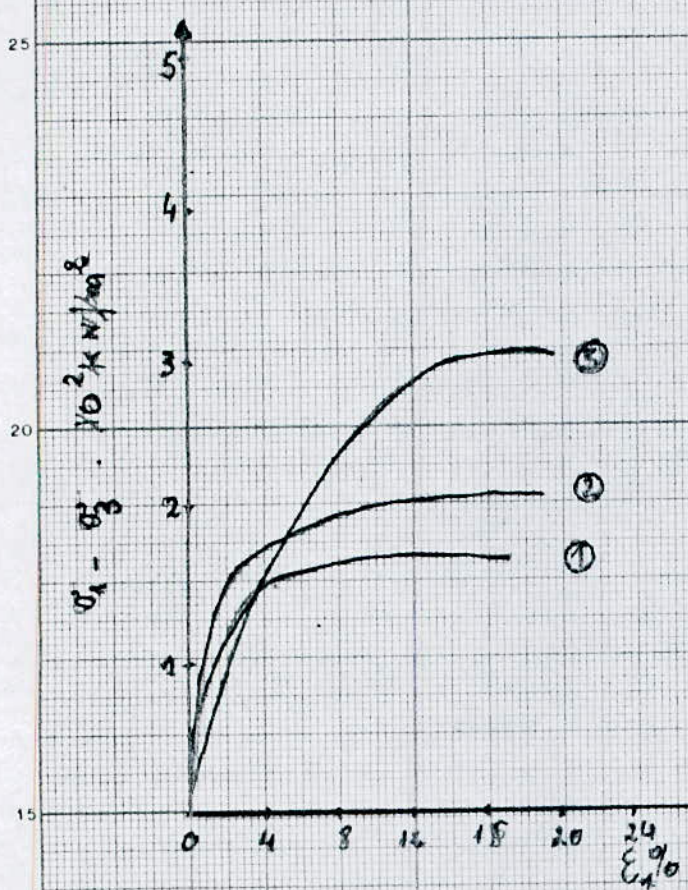
Essai triaxial : N°3 Argile



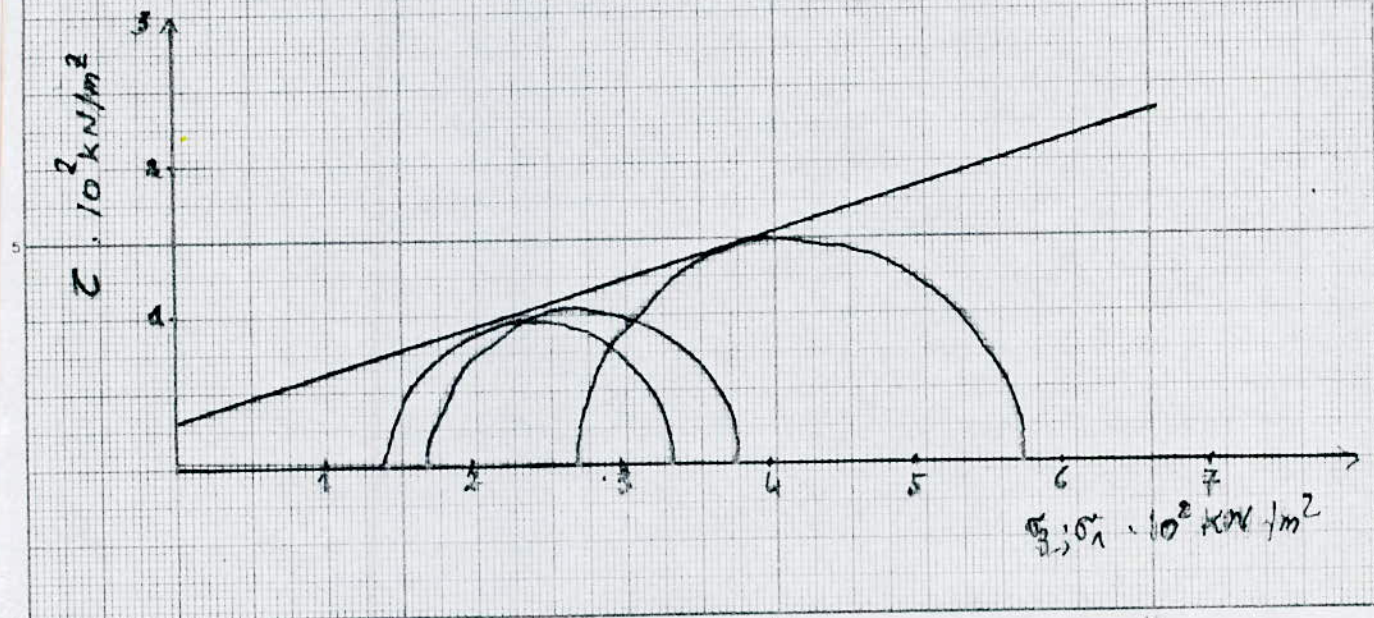


Essai triaxial : n°4 Argile





Essai triaxial : N° 5 Argile



Essai triaxiale : sur l'Argile

- Essai N° 1

réaliser avec un poids volumique sec maximum $\gamma_{sec}^{max} = 1,67 \text{ t/m}^3$ à 95% et une teneur en eau optimale avec une correction de 2% $w_{opt} = 17,6\%$ sous contrainte: σ_3 de $2,0 \cdot 10^2 \text{ kN/m}^2$; $\sigma_3 = 4,0 \cdot 10^2 \text{ kN/m}^2$ et $\sigma_3 = 6,0 \cdot 10^2 \text{ kN/m}^2$ et contrainte radiale (deviation) ϵ_r ; σ_3

les résultats : $c' = 0,6 \cdot 10^2 \text{ kN/m}^2$, $\operatorname{tg} \varphi' = 0,285 \Rightarrow \varphi' = 17^\circ 41'$

- Essai N° 2

réaliser sous les conditions initiales : poids volumique sec maximum à 95% $\gamma_{sec}^{max} = 1,66 \text{ t/m}^3$ et une teneur en eau optimale $w_{opt} = 18,7\%$, sous les différentes contraintes σ_3 tel que $\sigma_3 = 2$; $\sigma_3 = 4$; $\sigma_3 = 6 \cdot 10^2 \text{ kN/m}^2$

les résultats : $c' = 0,32 \cdot 10^2 \text{ kN/m}^2$, $\operatorname{tg} \varphi' = 0,22 \Rightarrow \varphi' = 13^\circ 47'$

- Essai N° 3 :

conditions initiales : γ_{sec}^{max} à 95% = $1,599 \text{ t/m}^3$ et $w_{opt} = 20,0\%$

Résultats : $c' = 0,65 \cdot 10^2 \text{ kN/m}^2$, $\operatorname{tg} \varphi' = 0,272 \Rightarrow \varphi' = 16^\circ 54'$

- Essai N° 4 :

conditions initiales : γ_{sec}^{max} à 95% = $1,65 \text{ t/m}^3$ et $w_{opt} = 18,7\%$

Résultats : $c' = 0,30 \cdot 10^2 \text{ kN/m}^2$, $\operatorname{tg} \varphi' = 0,24 \Rightarrow \varphi' = 15^\circ$

- Essai N° 5 :

conditions initiales : γ_{sec}^{max} à 55% = $1,62 \text{ t/m}^3$ et $w_{opt} = 19,9\%$

Résultats : $c' = 0,30 \cdot 10^2 \text{ kN/m}^2$, $\operatorname{tg} \varphi' = 0,295 \Rightarrow \varphi' = 18^\circ 16'$

- Moyen des 5 résultats :

$$c' = 0,43 \cdot 10^2 \text{ kN/m}^2 \text{ et } \operatorname{tg} \varphi' = 16,16'$$

Essai de perméabilité : pour l'enrochement

La détermination du coefficient de perméabilité des grains dont le diamètre est inférieur à 5,0 mm du matériau d'enrochement effectuée de la côte 55m à 56m sur le plateau amont de la digue.

le moule remanié utilisé à un diamètre de 152, mm, section de 182,4 cm² une hauteur de 17,78 cm et un volume de 3243 cm³.

la densité des grains est de 2, la poids volumique sec : 1,80 g/cm³ l'indice des vide : 0,50 et la surface du tube est de 2 cm²

Tableau des mesures :

temps t _f (sec)	lecture du bas du GOF	correction	perte de charge H	volume d'eau Q (cm ³)	longueur d'écoulement l	section d'écoulement	coefficient de perméabilité K (cm/sec)
120	72	126	198	1750	17,78	182,4	$7,17 \cdot 10^{-3}$
120	72	126	198	1770	17,78	182,4	$7,26 \cdot 10^{-3}$
120	72	126	198	1780	17,78	182,4	$7,30 \cdot 10^{-3}$

la détermination d'un coefficient de perméabilité moyen de K_1 ; K_2 ; K_3 qui ont été calculé par la formule $K_i = \frac{Q \cdot l}{(\Delta t \cdot A \cdot H)}$
 A : section
 d'écoulement

on trouve le K_{moyen} tel que : $K = 7,3 \cdot 10^{-3} \text{ cm/sec}$

Essai de perméabilité : pour le filtre

Détermination du coefficient de perméabilité du filtre par l'essai de perméabilité à charge constante effectué à la cote de 55,5 m à 56,0 m sur le plateau amont de la digue.

le moule utilisé a un diamètre de 152,4 mm, section : $182,4 \text{ cm}^2$, $h = 17,78 \text{ cm}$

la densité des grains est de 2,7 ; le poids volumique sec : 205 g/cm^3
l'indice des vides est de 0,317,

la section du tube est de 2 cm^2

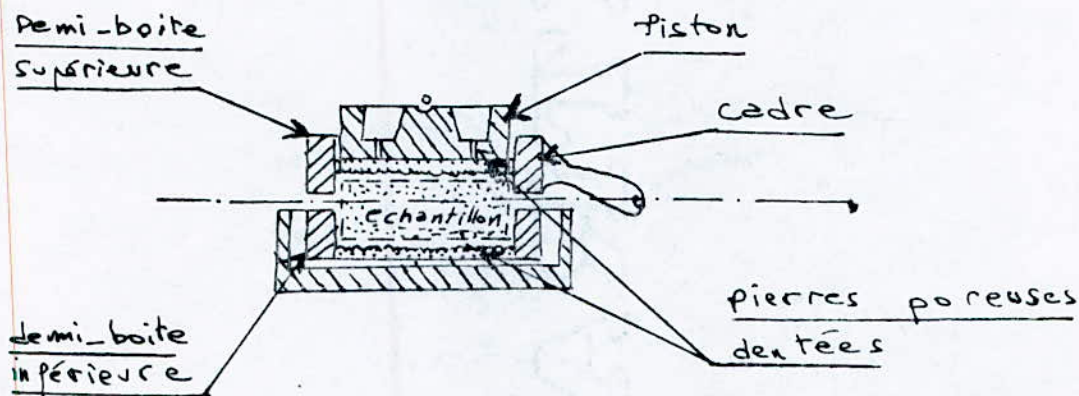
Tableau des mesures :

temps Δt (s)	lecture au bas du cal	correction	perre de charge H	Volume d'eau $Q (\text{cm}^3)$	longueur d'écoulement ℓ	section d'écoulement	coefficient de perméabilité $K (\text{cm/sec})$
116	72	-126	198	1655	17,78	182,4	$7,02 \cdot 10^{-3}$
70	72	-126	198	1103	17,78	192,4	$7,75 \cdot 10^{-3}$
157	72	-126	198	2210	17,8	182,4	$6,90 \cdot 10^{-3}$

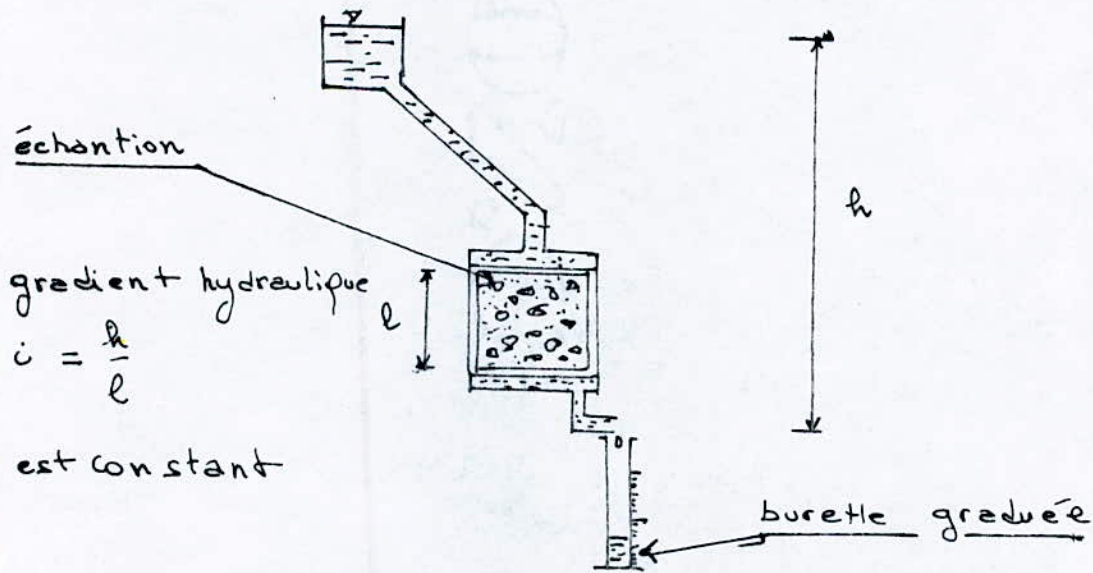
On détermine le coefficient de perméabilité pour chaque intervalle de temps par la formule suivante :

$$K = \frac{Q \cdot \ell}{(\Delta t \cdot A \cdot H)} \quad \text{avec } A \text{ étant la section d'écoulement}$$

en faisant la moyenne de K_1 ; K_2 ; K_3 calculé dans le tableau on trouve un coefficient moyen $K = 7,2 \cdot 10^{-3} \text{ cm/sec}$



Boîte de CASAGRANDE



Perméamètre à charge constante

Essai de Cisaillage :

Dans cette essai le plan de cisaillage est imposé, le but de cet essai consiste à déterminé l'angle de frottement interne et la cohésion et cela à court terme.

Le mode opératoire est comme suit : On réalise 3 échantillon de même section de la forme de la boîte de saturation on mettra de l'eau dans la boîte à fin qu'elle pénètre dans l'échantillon à travers les pierres poreuse, on met un poids à fin d'éviter tout gonflement ou tassement si il y a lieu.

- L'essai est fait dans des boîtes de dimension 67 cm x 67 cm x 3 cm, la déformation constante est de 0,05 mm/min. On observe la force de cisaillage par un dynamomètre. La consolidation et le cisaillage vertical sont réalisés sous l'eau. Le temps de consolidation est de 18 heures les 3 échantillons ont été réalisés sous les charges de 1, 2, 3, 10^2 kN/m².

- On ce qui concerne l'enrochement l'essai a été réalisé pour les grains de diamètre inférieur à 5 mm, ceci est dû au manque de matériels à dégoulets sur le chantier pour réaliser l'essai avec un matériau d'enrochement non sélectif.

Essai de Cisaillage : pour les grains d'enrochement dont diamètre est inférieurs à 5mm.

les 2 échantillons pour l'essai n°1 et l'essai n°2 sont prélevés à la hauteur 55 à 60m.

Tableau N°1 :

Conditions initiales : $\gamma_{so} = 2,07$; $W = 10,7\%$; $\gamma_h = 1,94$; $\gamma_{dw} = 2,7$; $n = 33,3\%$; $e = 0,34$

Pression vertical $P = 2 \text{ kg/cm}^2$			
temp (mm)	Déformation (10^{-3} mm)		Résistance (kg/cm^2)
	Dynamo-mètre	échantill	
1	128	0,472	0,30
2	265	0,935	0,63
3	360	1,440	0,86
4	425	1,285	1,00
5	448	2,552	1,08
6	440	3,160	1,06
7	-	-	-
8	-	-	-
9	-	-	-

Pression vertical $P = 2 \text{ kg/cm}^2$			
temp (mm)	Déformation (10^{-3} mm)		Résistance (kg/cm^2)
	Dynamo-mètre	échantill	
1	211	0,309	0,50
2	363	0,837	0,80
3	498	1,302	1,2
4	599	1,803	1,44
5	679	2,321	1,64
6	730	2,870	1,76
7	755	3,445	1,82
8	765	4,035	1,84
9	770	4,66	1,78

Pression vertical $P = 3 \text{ kg/cm}^2$			
temp (mm)	Déformation (10^{-3} mm)		Résistance (kg/cm^2)
	Dynamo-mètre	échantill	
1	125	478	0,29
5	805	2,197	3,94
6	960	2,640	2,31
7	1092	3,109	3,62
8	1176	3,624	2,82
9	1208	4,192	2,89
10	1230	4,770	2,95
11	1234	5,366	2,98
12	1206	5,994	2,93

Les résultats obtenus d'après le 1^{er} graphique: $t_g \varphi = 0,88 \Rightarrow \varphi = 41^{\circ}30'$ et $C = 0,24 \text{ g/cm}^2$

Tableau N°2 :

Condition initiales: $\gamma_{so} = 1,8$; $W = 8\%$; $\gamma_h = 1,94$; $\gamma_{dw} = 2,7$; $n = 33,3\%$ et $e = 0,5$

1	185	1,065	0,32
2	200	2,200	0,47
3	240	3,360	0,57
4	272	4,728	0,64
5	292	5,708	0,69
6	316	6,884	0,75
7	328	8,072	0,78
8	352	9,268	0,79
9	335	10,75	0,80
10	322	11,678	0,77
11	310	12,780	0,74

1	260	0,940	0,61
2	430	1,940	1,43
3	595	3,055	1,31
4	630	4,170	1,52
5	672	5,328	1,62
6	705	6,495	1,70
7	737	7,663	1,78
8	755	8,845	1,82
9	730	10,07	1,76
10	765	11,235	1,84
11	755	12,440	1,82
12	770	13,630	1,86

1	290	0,910	0,69
2	380	2,02	0,91
3	640	2,960	1,54
4	770	4,03	1,86
5	830	5,130	2,10
6	950	6,270	2,29
7	1035	7,365	2,40
8	1070	8,530	2,54
9	1085	9,715	2,61
10	1105	10,825	2,65

Les résultats obtenus d'après le graphique N°2 : $t_g \varphi = 0,750 \Rightarrow \varphi = 36^{\circ}52'$ et $C = 0 \text{ kg}$

Moyenne des résultats :

$$\varphi = 64,65 \text{ et } C = 0,1$$

Defor mation ver hcl in cm

charge reelle C. (10^2 N/cm^2)

4

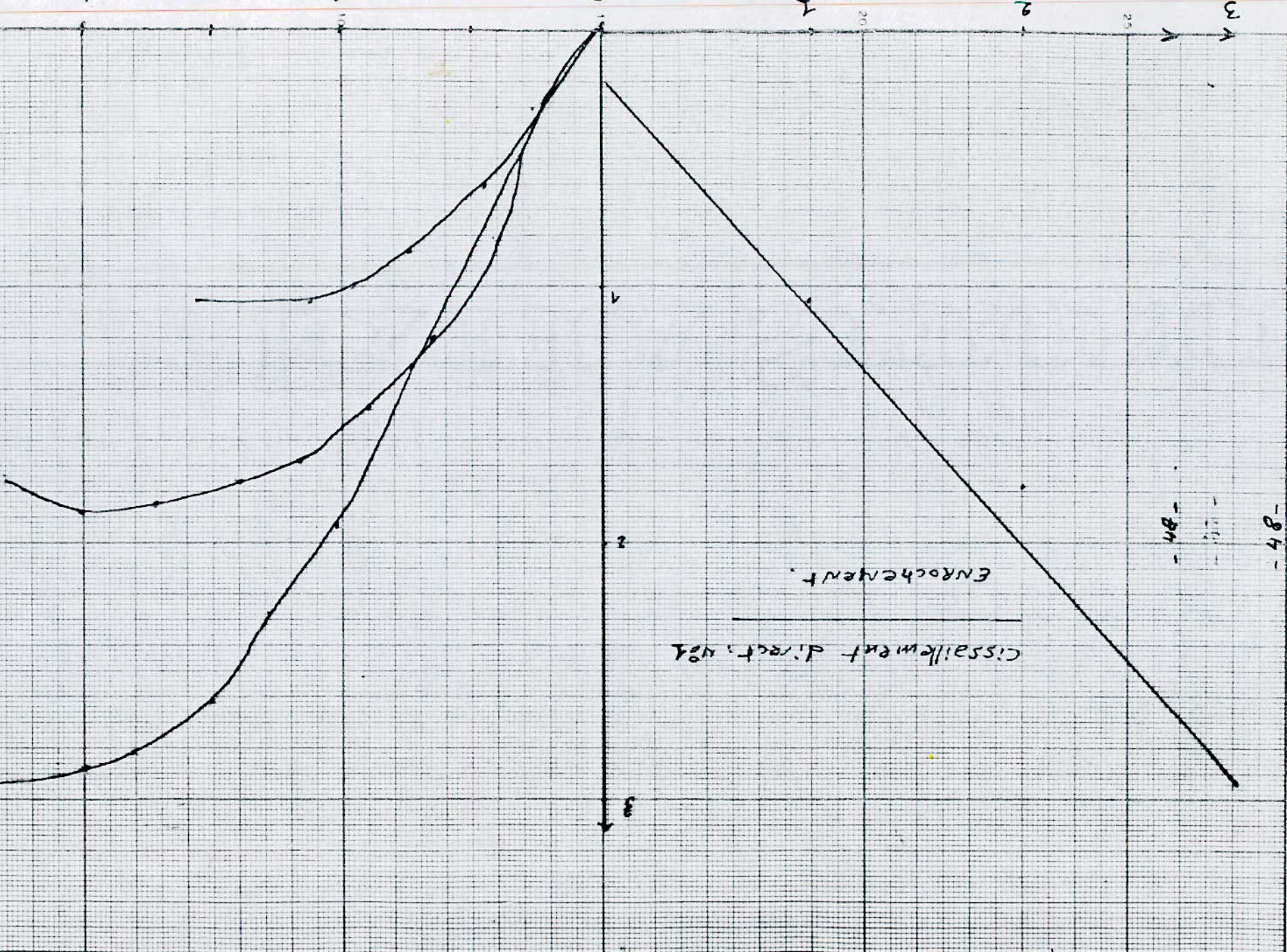
2

0

1

2.5

3

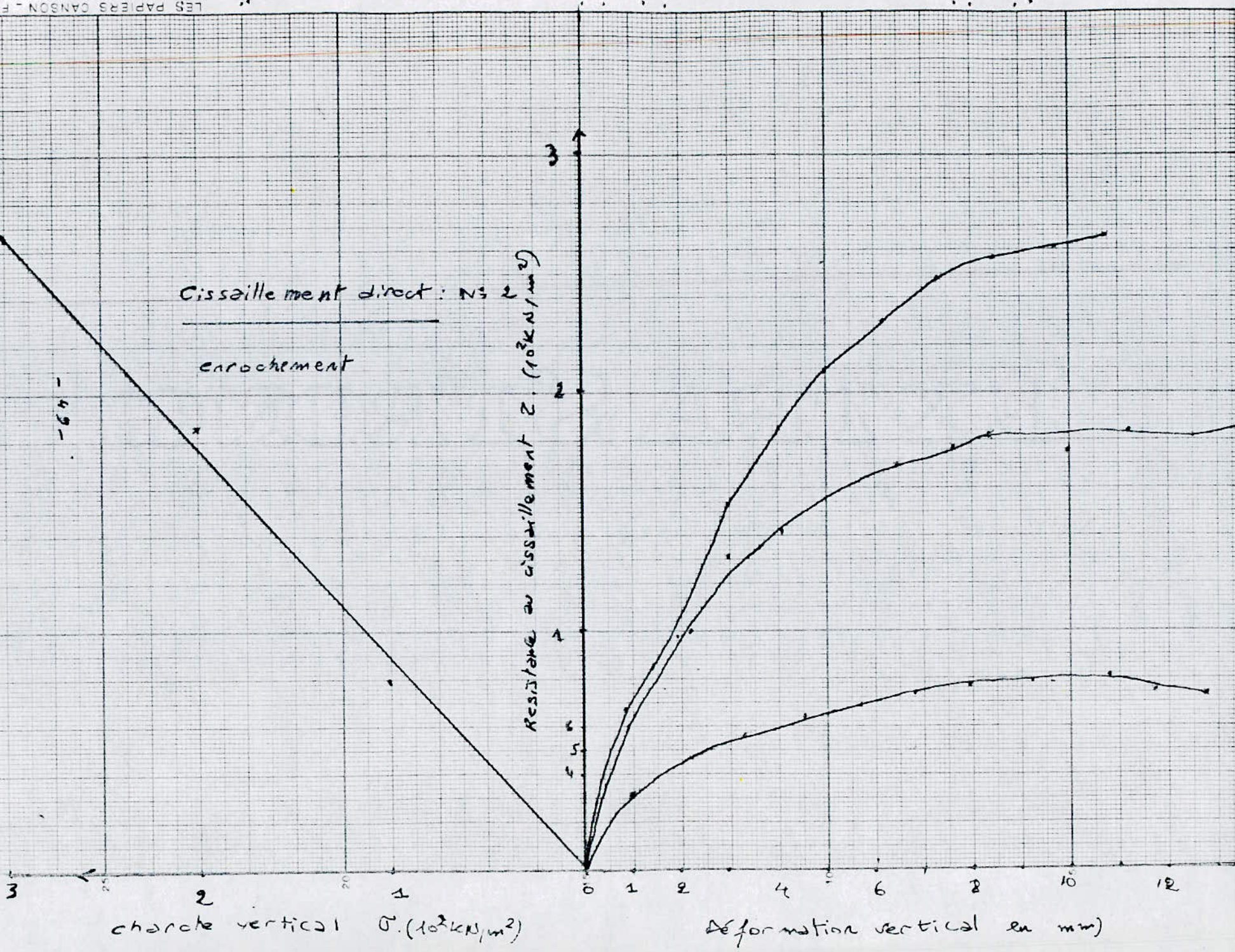


CISAILLEMENT DIRECT, 1931
ENROCHEMENT

Cisaillement direct : N° 2

enrochement

Résistance au cisaillement Z (10² kN/m²)



Essai de Cisaillement direct : Argile

- Essai N° 1 :

cet essai a été réalisé sous les conditions initiales suivantes : avec une vitesse $v = 0,05 \text{ mm/min}$, l'humidité avant essai : 70 % ; l'humidité après essai de : 29,6 % est une durée de consolidation de 18 h.

. Les résultats sont les suivants : 1

$$tg \varphi = 0,33 \Rightarrow \varphi = 20^\circ 17' \text{ angle de frottement et une cohésion } C = 0,16 \cdot 10^2 \text{ kN/m}^2$$

- Essai N° 2 :

conditions initiales : $v = 0,05 \text{ mm/min}$, humidité avant : 18,7 %, humidité après 22,6 %, durée de consolidation 18 heures.

. les résultats : 2

$$tg \varphi = 0,310 \Rightarrow \varphi = 18^\circ 33' \text{ pour l'angle de frottement et la cohésion } C = 0,14 \cdot 10^2 \text{ kN/m}^2$$

- Essai N° 3 :

réaliser sous les conditions : une vitesse de 0,05 mm/min, l'humidité avant essai : 20,0 %, humidité après essai de : 24,9 %, avec une durée de consolid. : 18 h

. Résultats N° 3 :

$$\text{nous obtenons : } tg \varphi = 0,310 \Rightarrow \varphi = 19^\circ 68' \text{ et une cohésion } C = 0,28 \cdot 10^2 \text{ kN/m}^2$$

- Essai N° 4 :

conditions initiales : $v = 0,05 \text{ mm/min}$, humidité avant : 18,7 %, humidité après essai de 29,9 % pour une durée de consolidation de 18 h

. Résultats N° 4 :

$$tg \varphi = 0,295 \Rightarrow \varphi = 18^\circ 16' \text{ pour l'angle de frottement et une cohésion } C = 0,28 \cdot 10^2$$

- Essai N° 5 :

sous conditions initiales : $v = 0,05 \text{ mm/min}$, $\text{W}_\text{h avant} = 19,5 \%$ et $\text{W}_\text{h après} = 29,5 \%$, durée de consolidation de 18 h.

. Résultats 5 : $tg \varphi = 0,33 \Rightarrow \varphi = 20^\circ 18' \text{ et cohésion } C = 0,18 \cdot 10^2 \text{ kN/m}^2$

- Moyen des 5 essais : $\boxed{\varphi = 19^\circ 18' \text{ et } C = 0,19 \cdot 10^2 \text{ kN/m}^2}$

Essai de cisaillement direct

n° 1 argile

Tg

40

25

35

3

25

2

1.5

1.0

0.5

0

charge verticale $\sigma_v (10^2 \text{ kN/m}^2)$ Résistance au cisaillement $T (10^2 \text{ kN/m}^2)$

3

2.5

1.5

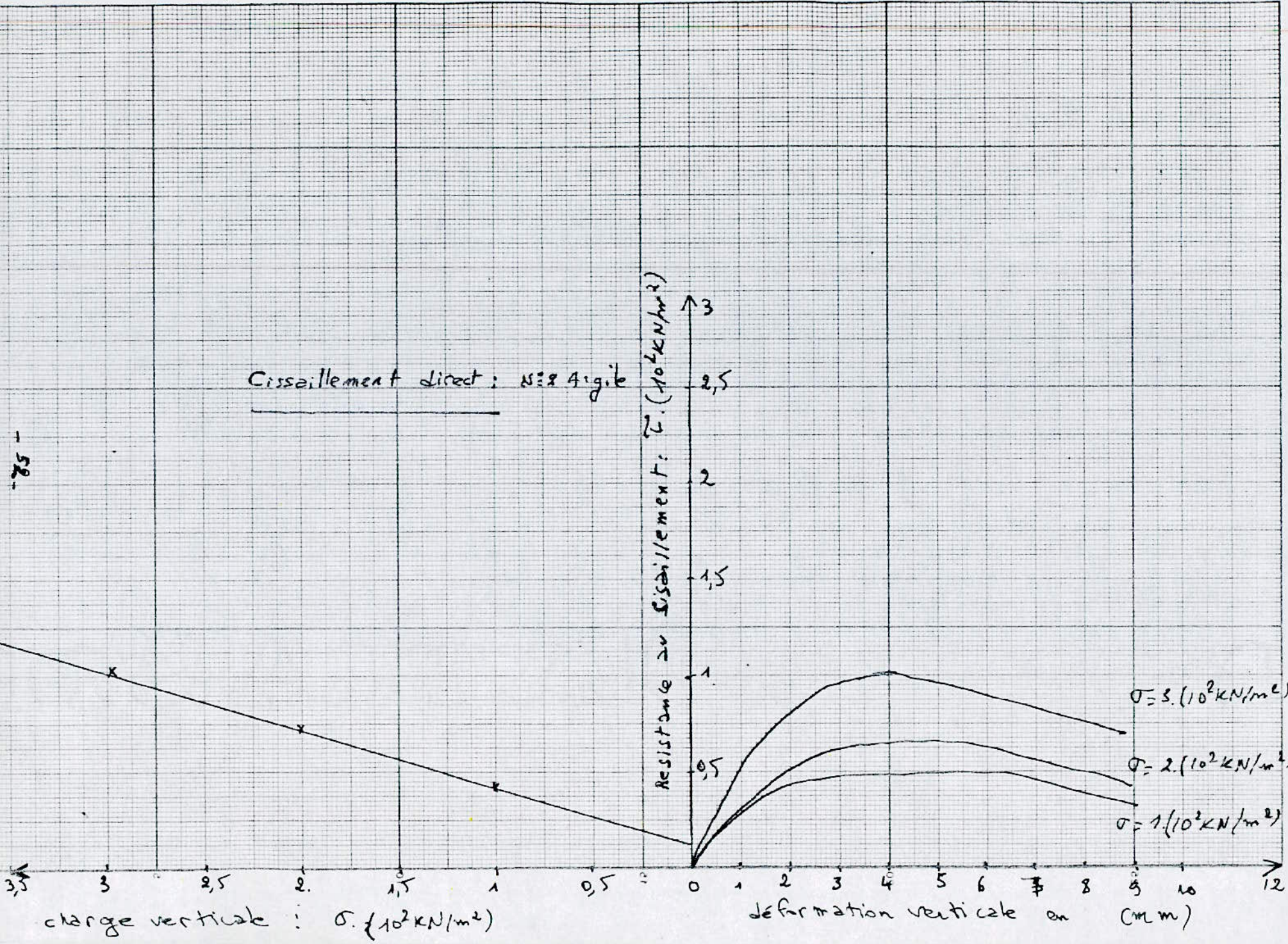
0.5

0

 $\sigma_v = 3 \cdot 10^2 \text{ kN/m}^2$ $\sigma_v = 2 \cdot 10^2 \text{ kN/m}^2$ $\sigma_v = 1 \cdot 10^2 \text{ kN/m}^2$

déformation verticale en (mm)

185



Cisaillement direct : N°3 Argile

charge verticale : $\sigma \cdot (10^2 \text{ KN/m}^2)$

Resistance au cisaillement : 240 KN/m^2)

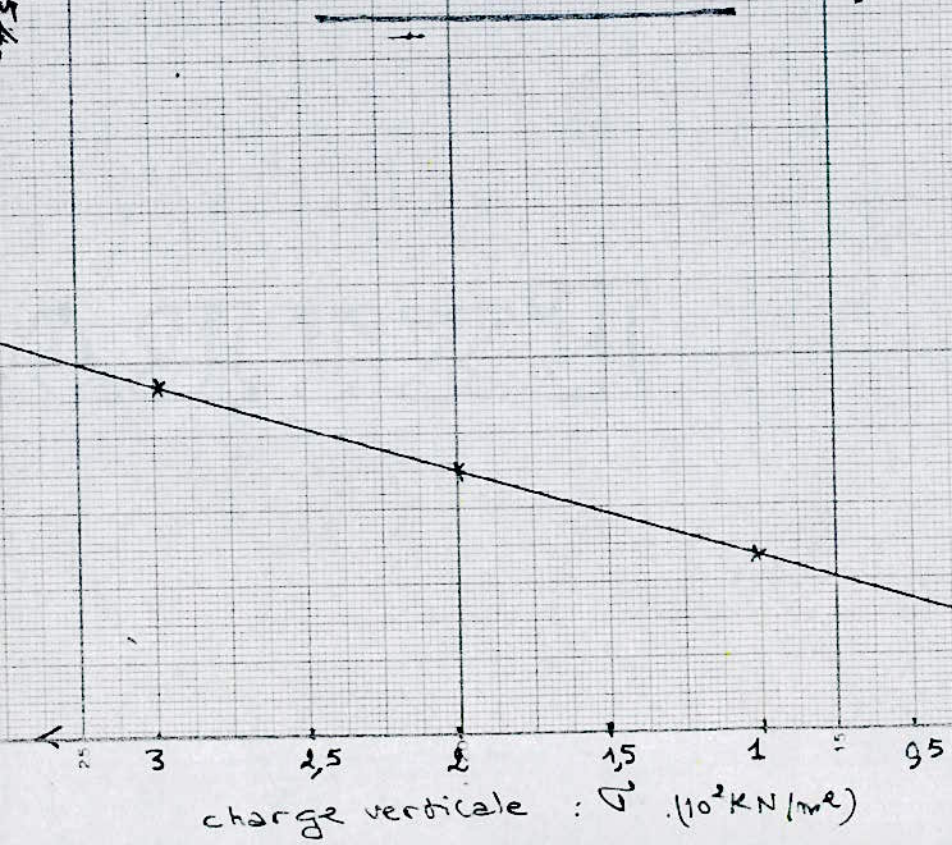
deformation verticale en (mm)

$$\sigma = 3 \cdot 10^2 \text{ KN/m}^2$$

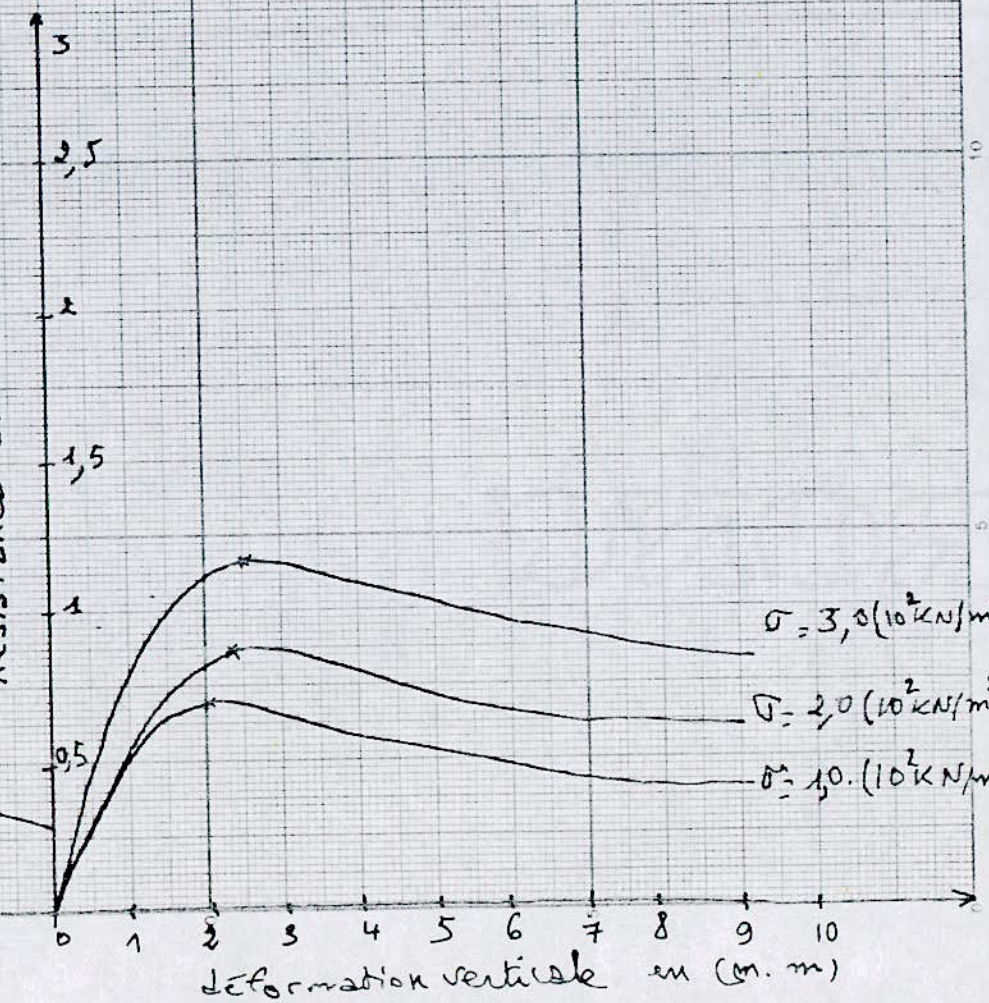
$$\sigma = 2 \cdot 10^2 \text{ KN/m}^2$$

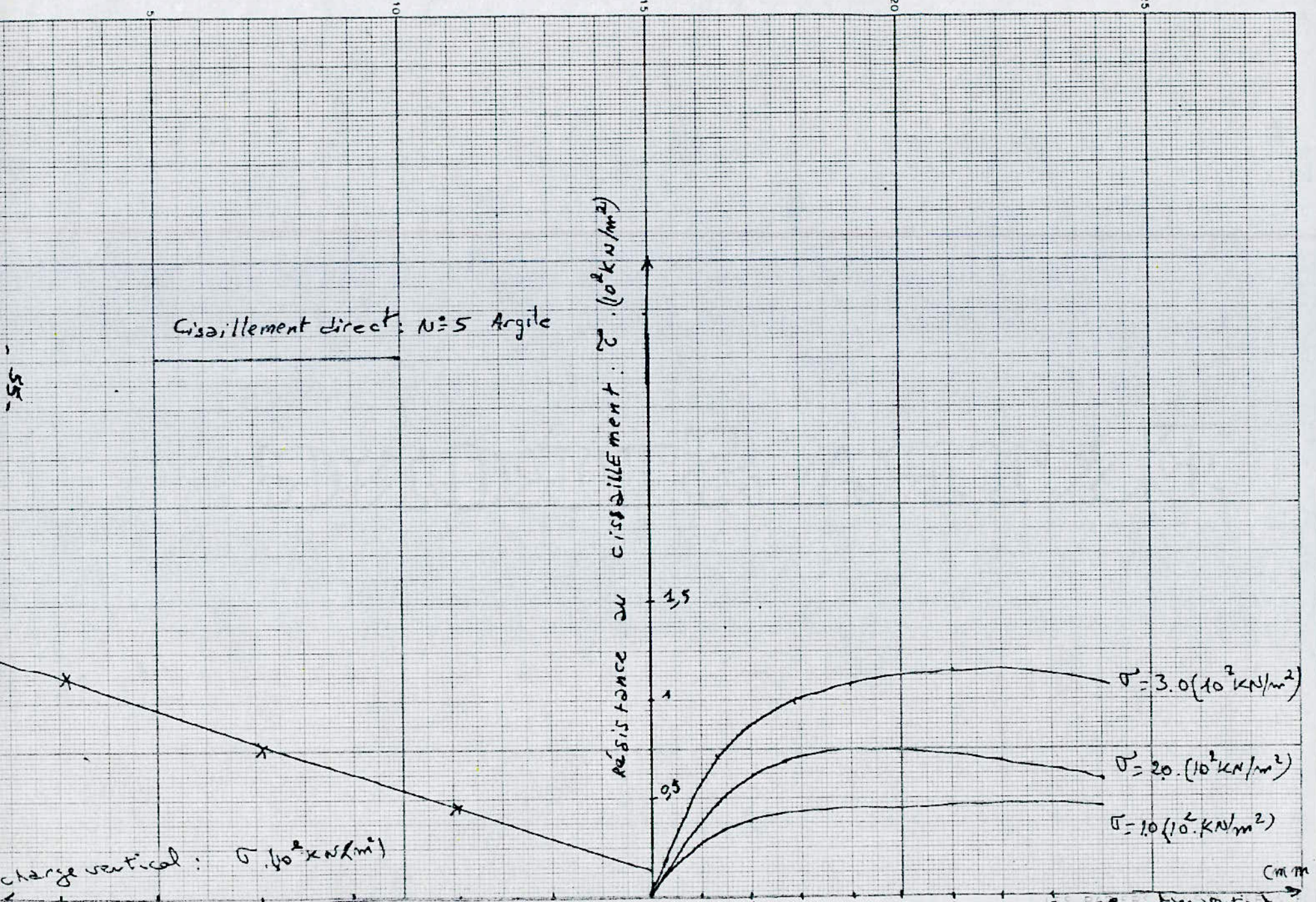
$$\sigma = 1 \cdot 10^2 \text{ KN/m}^2$$

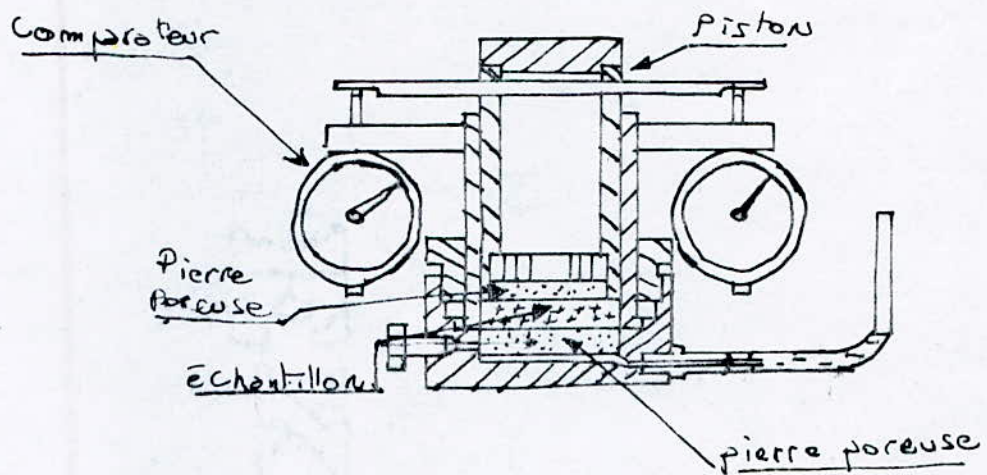
Cisaillement direct, N°4 Argile



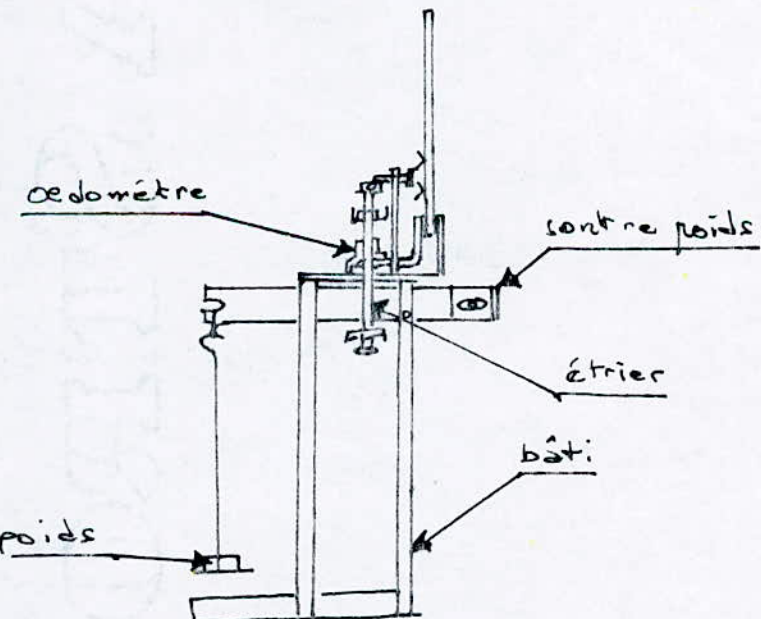
Resistance au cisaillement : $Z \cdot (10^2 \text{KN/m}^2)$







APPAREIL DE DEDOMÈTRE



ESSAI DE COMPRESSIBILITÉ

Essai de Compressibilité : (essai ordonétrique)

cette essai nous permet d'évaluer les tassements des ouvrages dans le temps et à pour but d'étudier la consolidation du sol qui est soumis à des charges différentes.

On distingue 3 étapes de tassement ; le tassement initial puis la consolidation primaire qui est due à l'élimination de la pression interticielle et une consolidation secondaire c'est un tassement très lent.

Appareillage utilisé est : une cellule ordonétrique constituée d'une base qui supporte un cylindre contenant l'échantillon qui est placé sous un piston, conus pour permettre la saturation de l'échantillon, et l'évacuation de l'eau.

note de calcul :

$$\text{on a } \frac{\Delta H}{H} = \frac{e_0}{1+e_0} \quad e_0 : \text{ indice des vides initiale}$$
$$H : \text{ hauteur initiale.}$$

$$\text{le module ordonétrique est } E' : E' = - \frac{\Delta F}{\Delta h}$$

$$\text{le module de compressibilité est : } M_G = \frac{1}{E'}$$

$$\text{le coefficient de consolidation } C_G = \frac{k E'}{\gamma_w} \Rightarrow k = \frac{C_G \cdot \gamma_w}{E'}$$

On détermine C_G graphiquement en utilisant la formule

$$0,19t = C_G \cdot \frac{t_{50}}{h^2} \Rightarrow C_G = \frac{0,197 \cdot h^2}{t_{50}}$$

du graphique on détermine t_{50} c'est le temps qui correspond à 50% de degré de consolidation.

Essai de Compressibilité de l'Argile :

dimension de l'échantillon : Diamètre 7,982 cm et une hauteur de 2,00 cm

avec une densité spécifique de l'argile de $2,70 \cdot 10 \text{ kN/m}^3$

Tableau des valeurs mesurées :

N° 1 : teneur en eau avant : 17,3% ; teneur en eau après : 18,6%

— avec γ_{sec}^{max} de 95% = $1,667 \text{ t/m}^3$ et $w_{optimum} = 17,6\%$

Pression verticale $\sigma \cdot 10^3 \text{ kN/m}^2$	Tassement totale élastique (mm)	Module de compression 10 kN/m^2	Poids volumique sec (8sec) 10 kN/m^3	coefficient de porosité
0,00	0,000	—	1,671	0,628
1,00	0,784	26	1,740	0,563
2,00	1,178	51	1,776	0,532
4,00	1,800	64	1,837	0,481
8,00	2,562	105	1,917	0,419

N° 2 : teneur en eau avant : 18,5% ; teneur en eau après : 21,3%

— avec γ_{sec}^{max} de 95% = $1,667 \text{ t/m}^3$ et $w_{optimum} = 18,7\%$

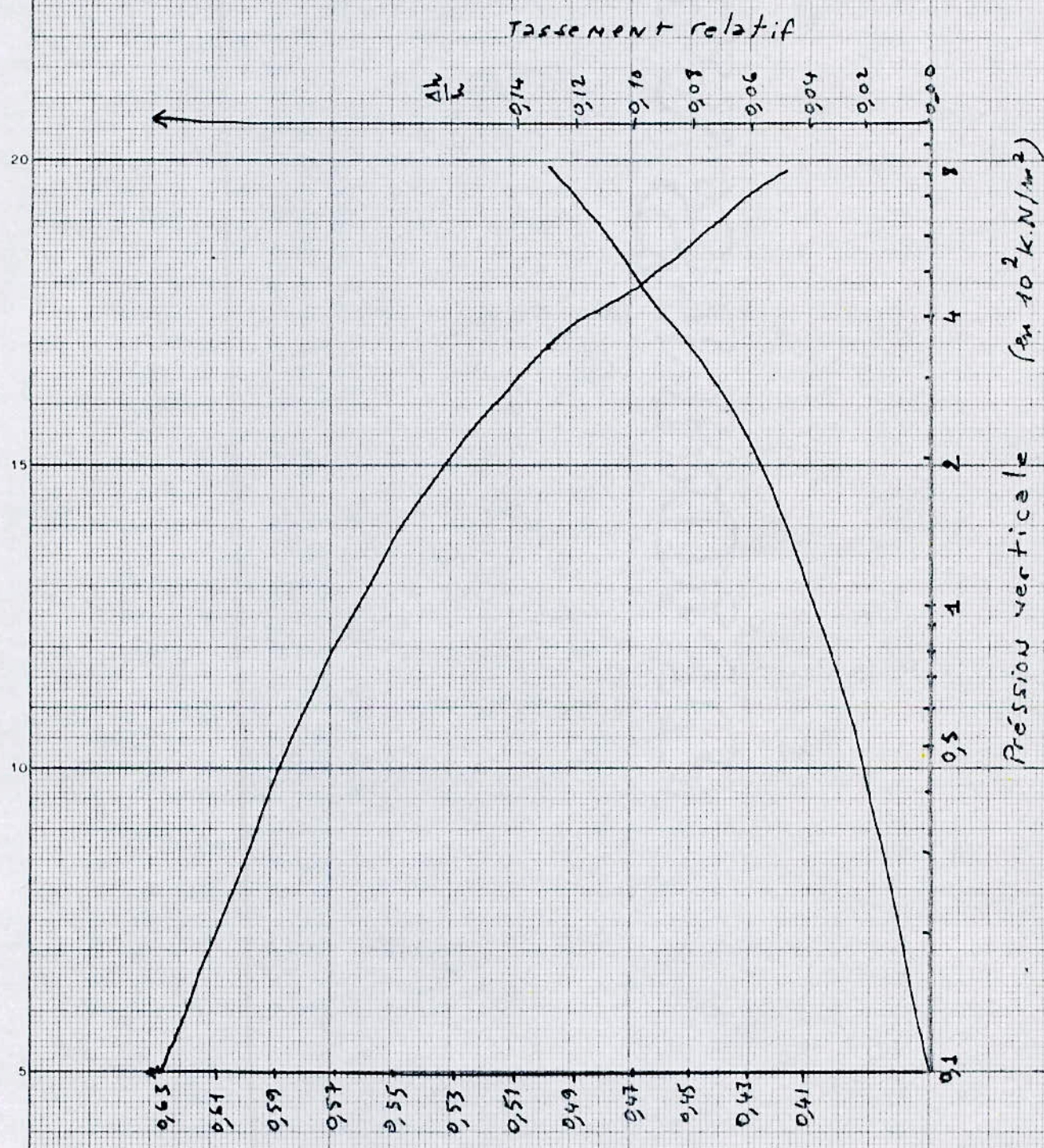
0,00	0,000	—	1,663	0,624
1,00	0,697	29	1,723	0,567
2,00	1,250	36	1,773	0,523
4,00	1,892	62	1,836	0,471
8,00	2,688	100	1,921	0,406

N° 3 : teneur en eau avant : 18,9% ; teneur en eau après : 21,0%

— avec γ_{sec}^{max} de 95% = $1,59 \text{ t/m}^3$ et $w_{optimum} = 20,0\%$

0,00	0,000	—	1,589	0,699
1,00	0,696	29	1,647	0,639
2,00	1,137	45	1,685	0,602
4,00	2,051	44	1,772	0,524
8,00	2,936	90	1,863	0,449

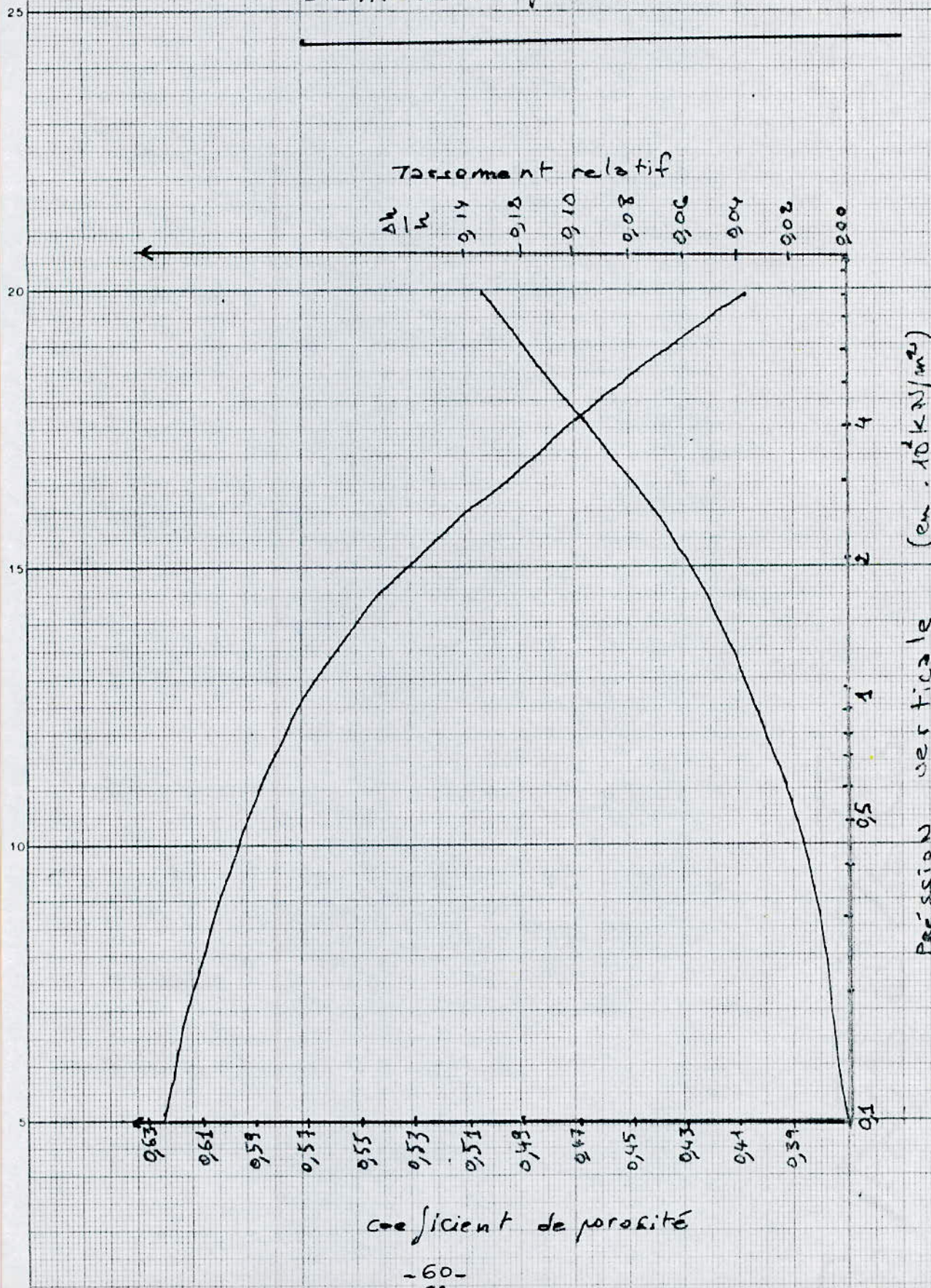
ESSAI de COMPRESSIBILITÉ N° 1



coefficient de porosité

ESSAI de compressibilité

N° 2



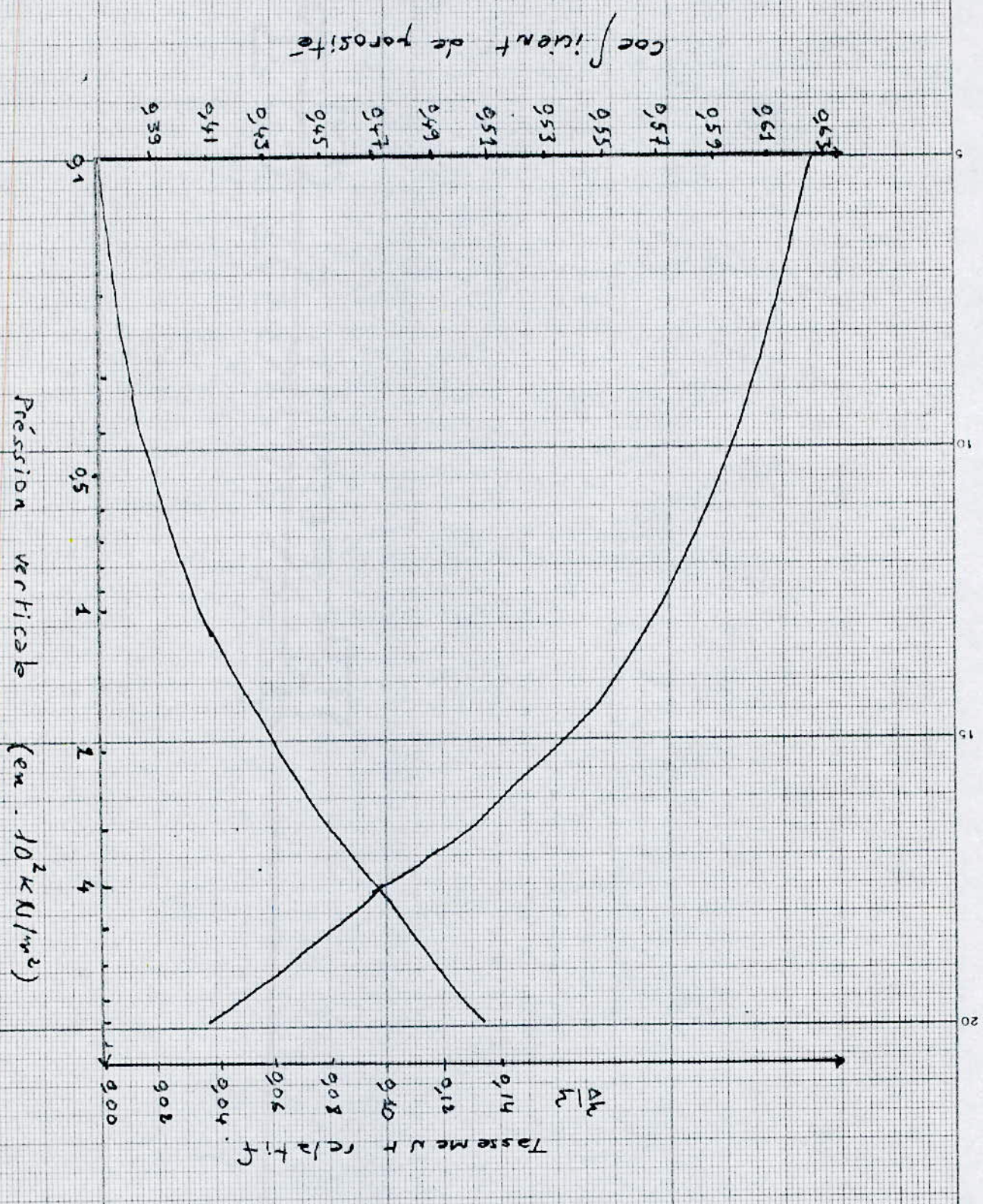


Tableau des valeurs : "ESSAI de CONSOLIDATION" de l'Argile
 pour les 3 essais de consolidation sur des échantillons
 à une pression de $P = 1 \text{ kg/cm}^2$; $P = 2 \text{ kg/cm}^2$; $P = 4 \text{ kg/cm}^2$ et $P = 8 \text{ kg/cm}^2$

Pression : 1 kg/cm^2		Préssion : 2 kg/cm^2		Préssion : 4 kg/cm^2		Préssion : 8 kg/cm^2	
temps	tassement (mm)						
(h) (min) (sec)	chagement						
- - 3	0,150	- - 3	0,520	- - 3	-	- / 3	1,350
7	0,180	7	0,540	7	0,860	7	1,430
15	0,200	15	0,556	15	0,910	15	1,460
30	0,220	30	0,570	30	0,930	30	1,480
- 1 -	0,240	- 1 -	0,575	- 1 -	0,950	- 1 -	1,510
2	0,260	2	0,582	2	0,960	2	1,526
4	0,276	4	0,600	4	0,990	4	1,550
8	0,294	8	0,615	8	1,028	8	-
15	0,298	15	0,630	15	1,031	15	1,620
30	0,326	30	0,648	30	1,058	30	1,646
1 - -	0,344	1 - -	0,666	1 - -	1,089	1 - -	1,710
2	0,357	2	0,688	2	1,121	2	1,754
3	0,364	3	0,698	3	1,140	3	1,794
6	0,376	6	0,713	6	-	6	1,832
17	0,390	17	0,734	17	-	9	1,852
24	0,400	24	/	24	1,206	24	1,878

L.T.P.C.
COEFFICIENT DE CONSOLIDATION
CHANTIER:

DR :

SONDAGE - Puits :

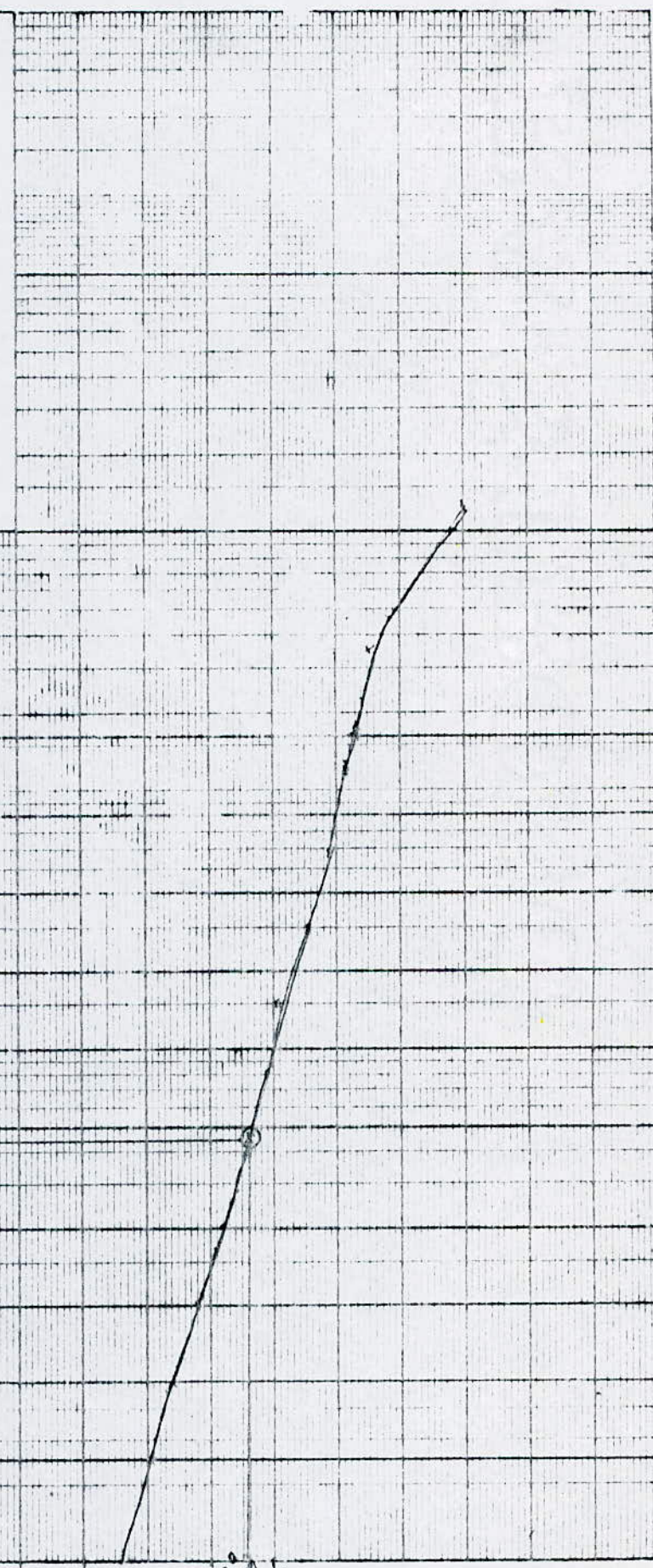
PROFONDEUR :

ÉCHANTILLON :

CONTACHEUR : $1 \text{ kg/cm}^2 \text{ bars}$
 cm

$H - M =$
 $t_{50} = 280$ sec.

$$C_v = \frac{0.197}{t_{50}} \left(\frac{H - M}{2} \right)^2 = \underline{\underline{\quad \text{cm}^2/\text{s} \quad}}$$



L.T.P.C.

Coefficient de CONSOLIDATION

CHANTIER:

DP

SOLBARE - Puits

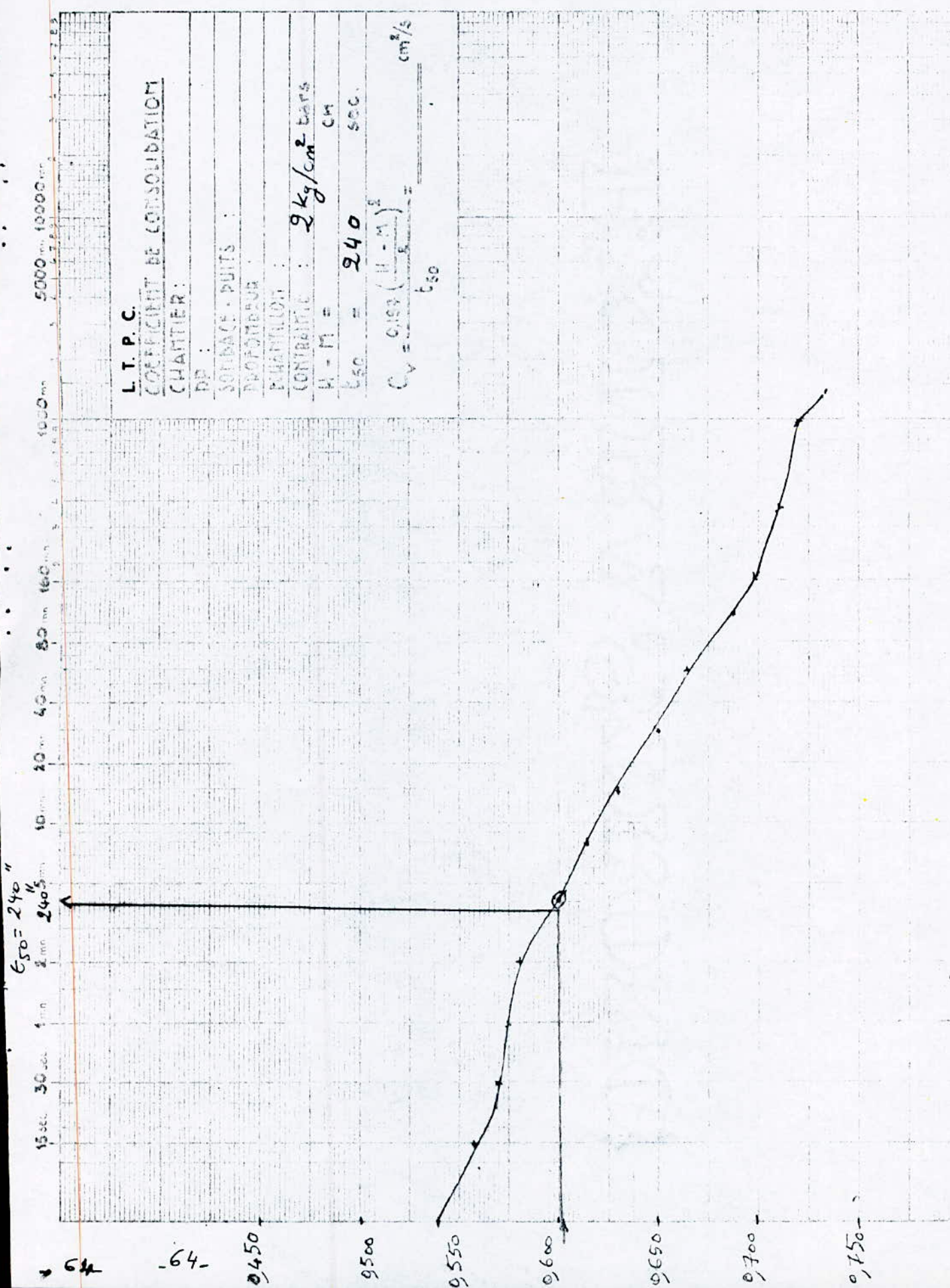
NORMANDEA

ELABORATION

CONSISTANCE : 2 kg/cm^2 bars
 cm

$H - M = 240$ sec

$$C_v = C_s \sigma^2 \left(\frac{H - M}{E} \right)^2 = \frac{\text{cm}^2/\text{s}}{\text{sec}}$$



L.T.P.C.
COEFFICIENT OF CONSOLIDATION
CHARTIER R.
D.R.

SOLUBLE - FILTS :

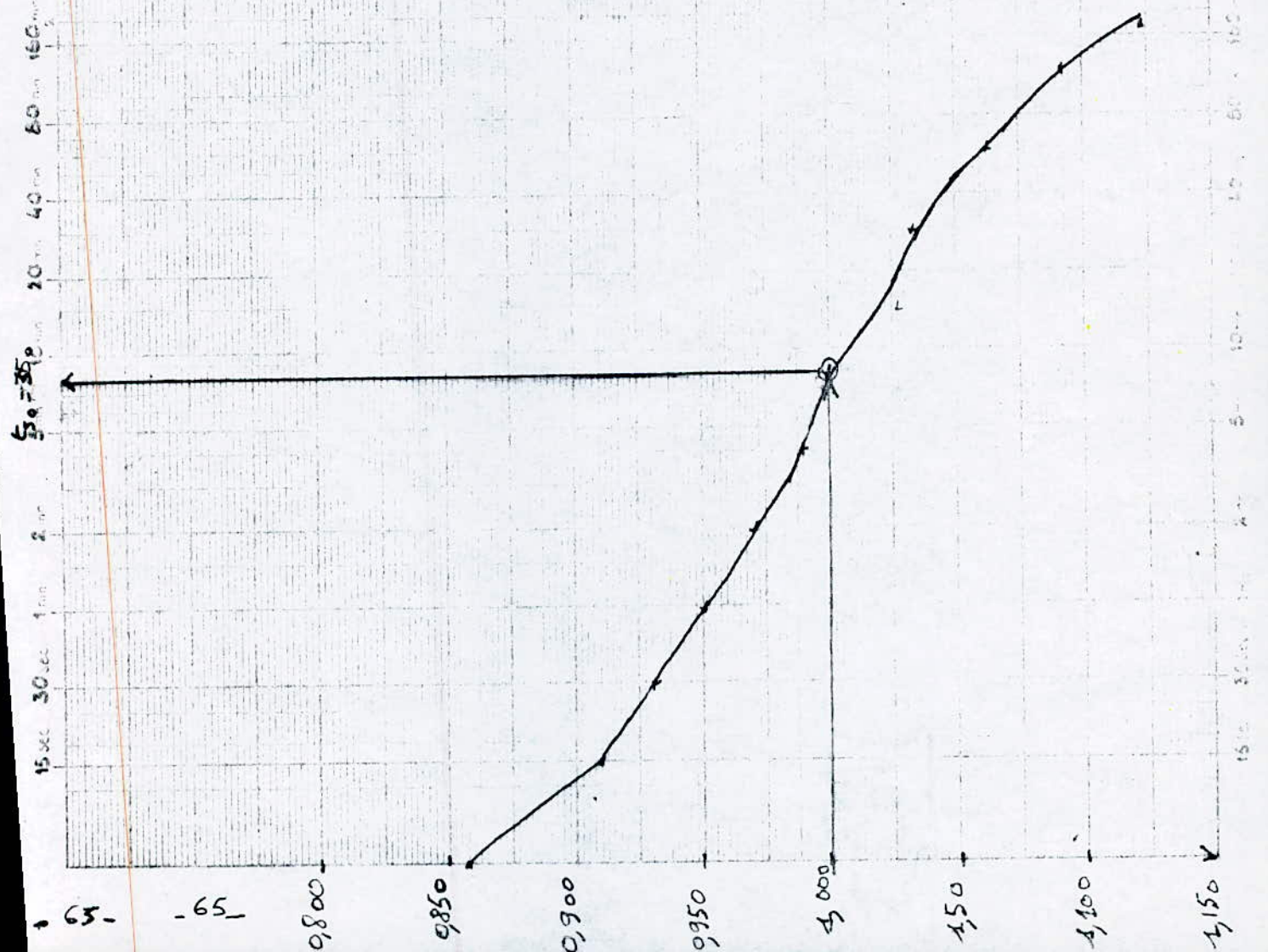
DISPONIBLE :

CONSOLIDATION :

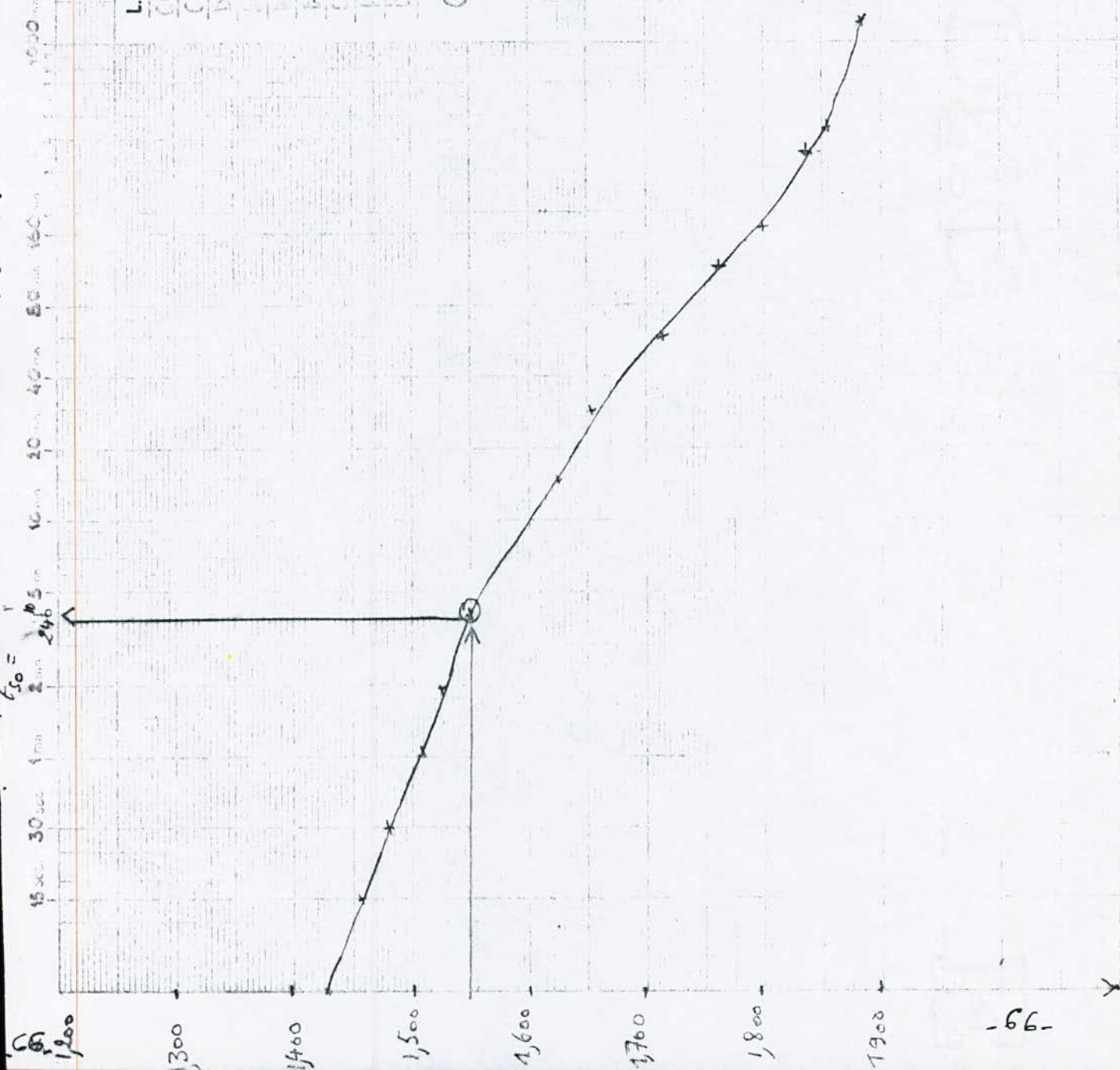
CONSISTANCE : 4 kg/cm^2 cm^2

$t = n = 350$ sec.

$$C_v = \frac{0.137}{t_{50}} \left(\frac{1 - n_1}{2} \right)^2 = \text{cm}^2/\text{s}$$



L.T.P.C.
COEFFICIENT OF CONSOLIDATION
CHART FOR
D=1



1300

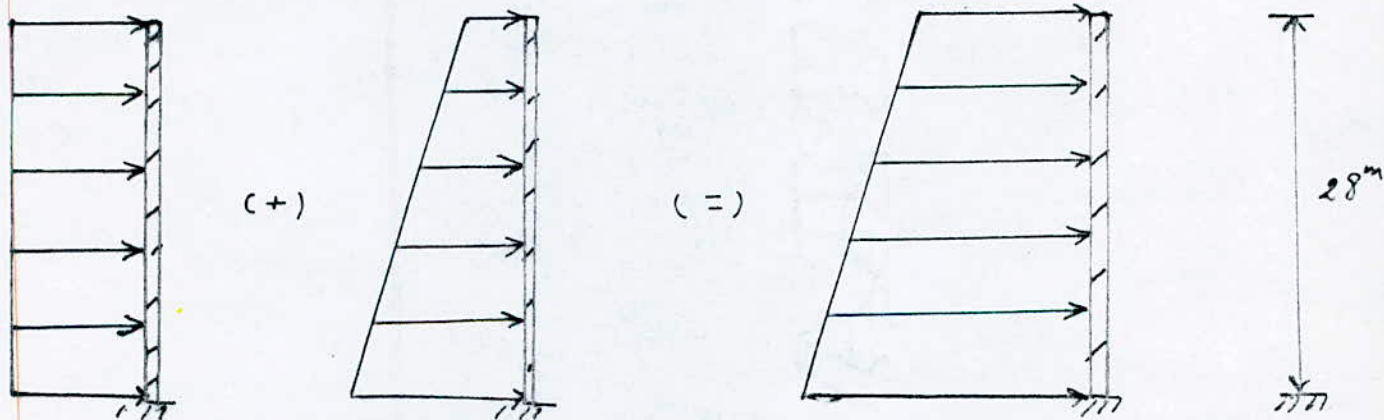
1200

CHAP. IV :

Stabilité

et la hauteur de l'eau telle que : la côte de la retenue moins le côté de la base du barrage : $63,5m - 38m = 25,5m$
 dont pour $\gamma = 102 \text{ t/m}^3$ et $H_{\text{eau}} = 25,5m \Rightarrow P_w = 26,01 \text{ t/m}^2$
 L'eau qui se trouve dans le sol exerce également une pression qui s'exprime de la manière suivante : $P' = \gamma'_w \cdot h$
 dans ce cas précis $\gamma'_w = 1 \text{ t/m}^3$ et $h = 28 \text{ t/m}^2$
 $\Rightarrow P'_w = 28 \text{ t/m}^2$. nous faisons remarquer que la pression de l'eau dans la retenue c'est à dire P_w exerce une charge constante sur la poutre aussi définie :

$$[P_w = 26,01 \text{ t/m}^2] + [P'_w = 4 \text{ t/m}^2] = [P_w + P'_w = 30,01 \text{ t/m}^2]$$



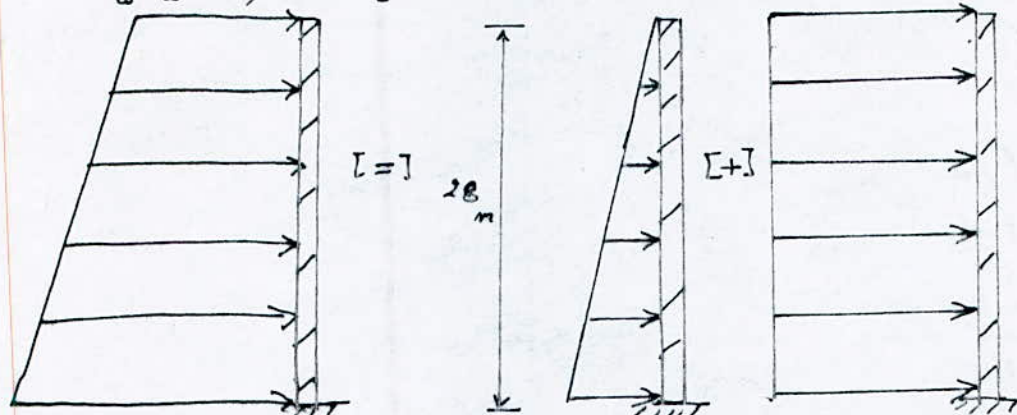
$$[P_w = \gamma_w \cdot H_{\text{eau}} = 26,01 \text{ t/m}^2] + [P'_w = \gamma'_w \cdot h = 28 \text{ t/m}^2] = [P_w + P'_w = \gamma_w \cdot H_{\text{eau}} + \gamma'_w \cdot h] \\ = 26,01 + 28 = 54,01 \text{ t/m}^2$$

La paroi est ancrée de 4 m dans le barrage et 2 m dans le bed rock, alors : $P'_w = \gamma_w \cdot h$ pour $4 \text{ m} < h < 28 \text{ m}$
 $\Rightarrow h = 4 \text{ m} \Rightarrow P'_w = 4 \text{ t/m}^2$
 et $h = 28 \text{ m} \Rightarrow P'_w = 28 \text{ t/m}^2$

nous obtenons notre poutre chargée uniformément et triangulaire par une poutre chargée triangulaire que l'on peut décomposée en 2 parties.

Soit la décomposition de charge comme suit: alors nous obtenons 2 cas de charges:

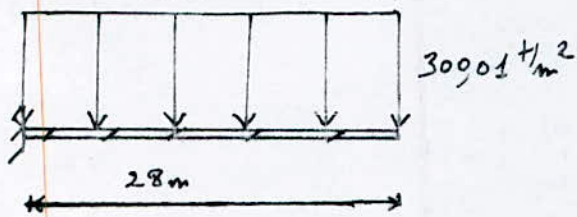
$$[\rho_w + \rho'_w = 30,01 \text{ t/m}^2] = [\rho_0] + [\rho''_w = 30,07 \text{ t/m}^2]$$



$$[\rho_w + \rho'_w = 54,01 \text{ t/m}^2] = [\rho'_w = 24,00 \text{ t/m}^2] + [\rho''_w = 30,01 \text{ t/m}^2]$$

Calculons la déformation dans le 1^{er} et 2^e cas:

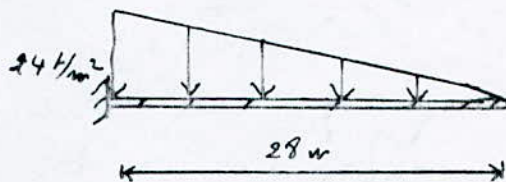
1^e) Cas: décharge



$$\varphi = c t = 30,01 \text{ t/m}^2$$

$$\Rightarrow y = \frac{\varphi}{q_0} \left[1 - e^{-\left(\frac{x}{L}\right)} \cos \left(\frac{x}{L} \right) \right]$$

2^e) Cas: de charge



$$\varphi = \frac{q_0}{(2t)} - \frac{\varphi_0}{L} \cdot x$$

$$\Rightarrow y = \frac{q_0 \cdot L}{4E_0 x} \left[2 \cdot \frac{x}{L} - e^{-\frac{x}{L}} \left[\sin \left(\frac{x}{L} \right) - \cos \left(\frac{x}{L} \right) \right] \right]$$

déformation pour la charge uniformément répartie et pour la charge triangulaire

Pour la déformation de la poutre nous prenons la notation suivante!

I : moment d'inertie de la section.

b : largeur de la section

E : module d'élasticité du matériau

y : déformation

q : charge z/1 liée par unité de longueur

k : coefficient de roulement

E₀ : module d'élasticité du sol avec E₀ = k b

Stabilité de la paroi moulée :

Dans cette partie nous considérons notre paroi moulée en béton plastique comme étant une poutre -de rigidité constante , qui est soumise aux efforts -de la poussée des terres d'une part et d'autre part de la pression interne dans le sol à laquelle s'ajoute la pression de l'eau dans le retenue . Nous prenons comme hypothèse que cette poutre est encastré dans le bed Rock , et le travail de cette poutre se fait en milieu élastique . Des calculs qui suivent sont appliqués pour le cas le plus défavorable , c'est à dire pour une section de 1m , où la paroi moulée est la plus profonde , de telle manière les dimensions de notre poutre sont les suivantes : - Longueur : $L = 34\text{ m}$
- épaisseur : $e = 0,80\text{ m}$
- Largeur : $\ell = 1\text{ m}$.

Calculs des poussées des terres :

les poussées des terres qui s'exercent sur notre paroi de part et d'autre sont dues à un même milieu , ce sont les alluvions qui ont pour caractéristique physique : $\gamma = 18 \text{ t/m}^3$; $\operatorname{tg} \varphi' = 0,57 \Rightarrow \varphi' = 30^\circ$, dans ce cas leurs actions s'équilibrent et n'influe pas dans les calculs .

Poussées due à la charge du barrage :

$P_w = \gamma_w \cdot \text{Hauteur}$, prenons $\gamma_w = 1,02 \text{ t/m}^3$ pour le cas le plus défavorable lors d'une eau où l'eau est chargée ;

1^o) cas : de charge uniformément répartie :

$$q = 300,1 \text{ kg/cm} \quad \text{et} \quad E_0 = 12 \cdot 10^4 \text{ kgf/cm}^2$$

Calculons $L_e = \sqrt[4]{\frac{4EJ}{E_0}} \approx 56 \text{ cm}$ et $\delta = \frac{q}{E_0} \left(1 - e^{-\left(\frac{x}{L_e}\right)} \cdot \cos\left(\frac{x}{L_e}\right) \right)$

$$\delta_1 \text{ avec } (x_1 = 1400 \text{ cm}) = 0,0025 \text{ cm}$$

$$\delta_2 \text{ avec } (x_2 = 933 \text{ cm}) = 0,0025 \text{ cm}$$

2^o) cas : de charge triangulaire :

avec $y = \frac{q_0 L_e}{4E_0 x} \left[2 \cdot \frac{x}{L_e} - e^{-\frac{x}{L_e}} \cdot [\sin\left(\frac{x}{L_e}\right) - \cos\left(\frac{x}{L_e}\right)] - 1 \right]$

$$\delta_1 \text{ avec } (x_1 = 1400 \text{ cm}) = 0,001 \text{ cm}$$

$$\delta_2 \text{ avec } (x_2 = 933 \text{ cm}) = 0,00099 \text{ cm}$$

La déformation sera la plus grande valeur des 2 somme de déformation suivant x_1 et x_2 , donc

$$y = \delta_2 + \delta_1 \Leftrightarrow y = 0,0025 + 0,001$$

$$\Rightarrow \boxed{y = 0,0035 \text{ cm.}} \quad \text{par la méthode de superposition}$$

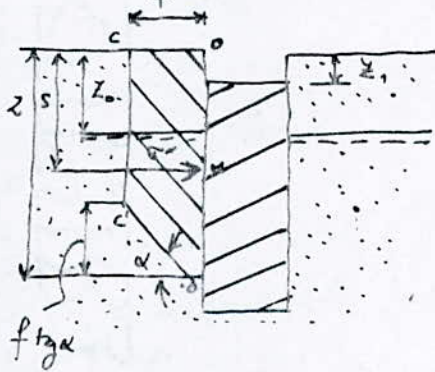
- une déformation de l'ordre de 0,01 mm est très satisfaisante.

Stabilité de la tranchée: de la paroi mouillée

la tranchée réalisée pour l'exécution de la paroi doit respecter certain critères de stabilité, à fin d'éviter tout éboulement ou glissement de celle ci lors de l'excavation ou bien la mise en place du béton, qui est en générale assurer par une boue propriedé de la boue bentonitique: elle est constitué en générale de particule en suspension dans l'eau, elle se présente sous forme colloïdale - de densité supérieur à 1, elle a la particularité de passer d'un état de gel ou un état de pseudo solide au repos à un état liquide, par agitation mécanique. Elle a pour rôle de former un "Cake" qui agit sur les parois de la tranchée, ainsi seront compensées les poussées des terres et dans ces conditions la fouille reste libre d'accès. D'un point de vue théorique plusieurs études sont venues renforcer cette pratique de stabilité des tranchées par la boue. On distingue parmis les plus importantes la théorie du coin de "Nash et JONES" celle de "SCHNEEBELI" et celle de "KOWALEWSKI".

Équilibre du coin: nous prenons comme hypothèse que les forces latérales sur la surface vertical du cylindre comme étant négligeable.

Schéma dégénération des forces:



figur

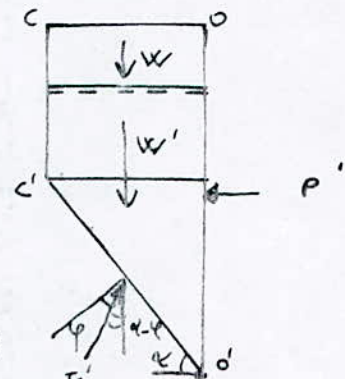
les paramètres qui déterminent la géométrie du coin d'après "Kowalewski" sont : sa longueur L , sa hauteur z , son épaisseur max f . et l'angle que fait sa base avec l'horizontale. La mécanique fait intervenir les paramètres suivants : profondeur de la nappe phréatique, le poids volumique du terrain γ au dessus de la nappe, le poids volumique dégagé γ' sous la nappe et l'angle de frottement du sol φ . Le coin est équilibré par les forces :

$$P' = (W + W') \operatorname{tg}(\alpha - \varphi)$$

$$W + W' = \frac{2}{3} f \cdot L \left[\gamma z_0 + \gamma' (z - z_0 - \frac{2}{5} f \operatorname{tg} \alpha) \right]$$

$$\text{on pose : } f = \frac{L}{2 \operatorname{tg} \varphi}$$

$$\Rightarrow P' = \frac{L^3}{3} \cdot \frac{\operatorname{tg}(\alpha - \varphi)}{\operatorname{tg} \varphi} \cdot \left[\gamma \frac{z_0}{L} + \gamma' \left(\frac{z}{L} - \frac{1}{5} \cdot \frac{\operatorname{tg} \alpha}{\operatorname{tg} \varphi} \right) \right]$$



$$\text{soit : } \frac{dP'}{d\alpha} = 0 \Leftrightarrow \left[\gamma \cdot \frac{z_0}{L} + \gamma' \left(\frac{z}{L} - \frac{z_0}{L} - \frac{1}{5} \cdot \frac{\operatorname{tg} \alpha}{\operatorname{tg} \varphi} \right) \right] \cdot \frac{1}{\cos^2(\alpha - \varphi)} - \frac{\gamma' \operatorname{tg}(\alpha - \varphi)}{5 \operatorname{tg} \varphi \cdot \cos^2 \alpha} = 0$$

$$\text{on pose : } t_0 = \frac{\operatorname{tg} \varphi}{\operatorname{tg} \alpha} \cdot \frac{z_0}{L} \quad \text{et} \quad t = \frac{\operatorname{tg} \varphi}{\operatorname{tg} \alpha} \cdot \frac{z}{L}$$

$$\text{notre équation s'écrit : } 5 \cdot \frac{\gamma}{\gamma'} \cdot t_0 + 5(t - t_0) - 1 = \frac{\sin 2(\alpha - \varphi)}{\sin 2 \alpha}$$

$$\text{on pose également que : } 5 \cdot \frac{\gamma}{\gamma'} \cdot t_0 + 5(t - t_0) - 1 = A$$

$$\text{et } \frac{\pi}{4} + \frac{\theta}{2} = \alpha$$

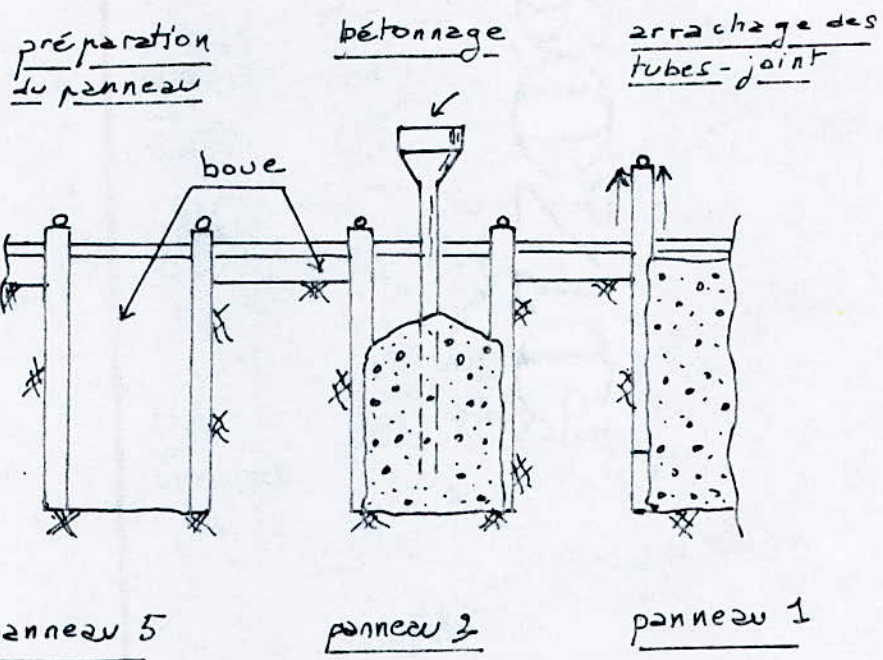
$$\text{donc } A = \frac{\sin 2(\alpha - \varphi)}{\sin 2 \alpha} = \cos 2 \varphi + \sin 2 \varphi \cdot \operatorname{tg} \theta$$

$$\text{alors } \operatorname{tg} \theta = \frac{A - 1}{\sin 2 \varphi} + \operatorname{tg} \varphi \quad \text{par les approximations successives}$$

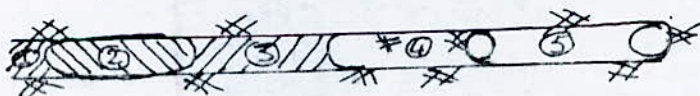
cette équation est résolvable, pour les données suivantes :

$$z_0 = 10 \text{ m} ; z = 14 \text{ m} ; \operatorname{tg} \varphi = 0,57 ; \gamma = 1,8 \text{ t/m}^3 ; L = 8 \text{ m} \text{ et } \gamma' = 0,8 \text{ t/m}^3$$

$$\text{on trouve } \theta = 57^\circ \quad \alpha = 72^\circ$$

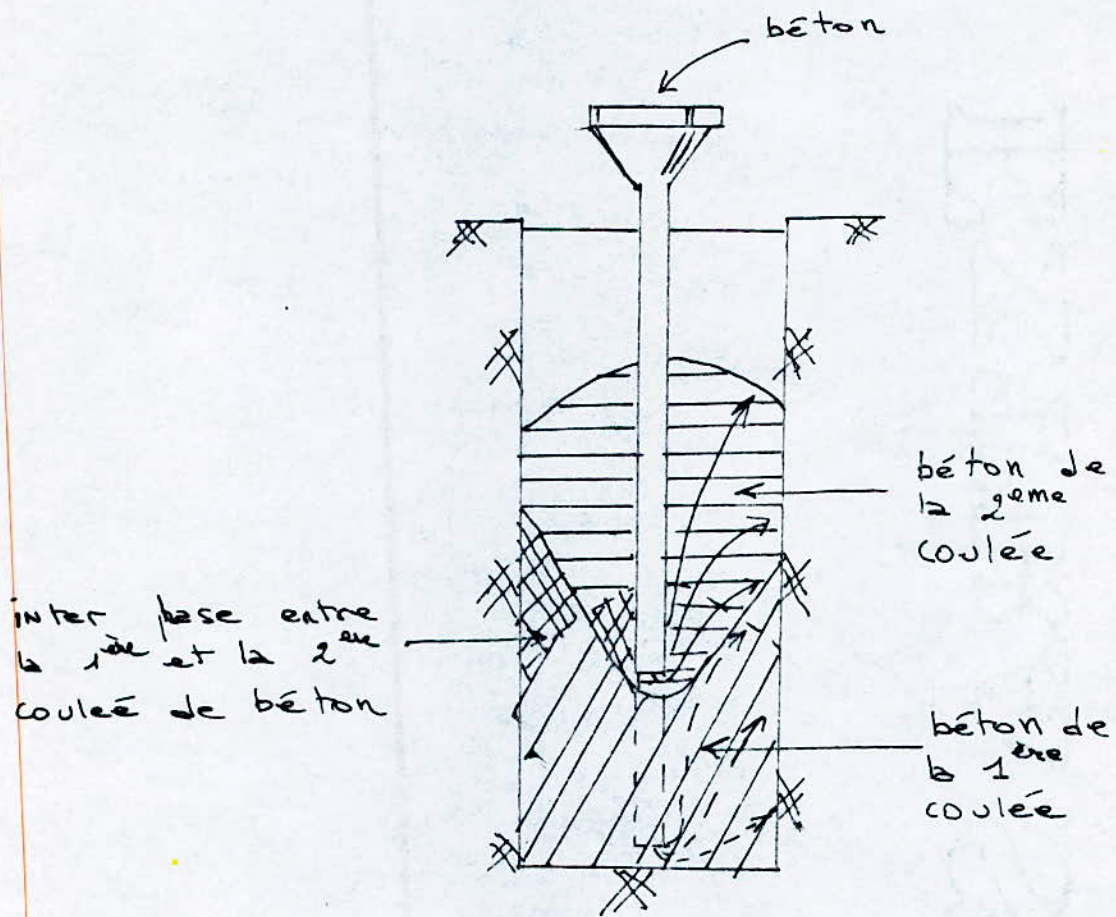


les différentes phases d'exécution des panneaux



ordre d'exécution 1 - 2 - 3 - 2 - 5 - 4
des panneaux :

SCHEMA D'EXECUTION DE LA PAROI MOULEE



MISE EN PLACE DU BETON

Dimensionnement de la digue :

notre digue doit respecter certain critères de dimensions pour pour assurer le maximum de sécurité, pour la stabilité des pentes des talus.

- La détermination de la hauteur du barrage doit être comme suit:

Elle est égale à la différence entre la côte du couronnement et la côte du niveau de l'Oued.

$$H_b = \text{côte couronnement} - \text{côte du lit de l'Oued} = 77,50 - 38 = 39,5 \text{ m}$$

- la largeur en crête : la crête doit être accessible au service et doit être suffisamment large pour ne pas être submergé par les vagues, elle est déterminée par des formules empiriques :

$$1^{\circ}/ b = 1,65 \sqrt{H_b} = 10,37 \text{ m d'après "T.T KNAPPEN"}$$

$$2^{\circ}/ b = 1,1 \sqrt{H_b + 1} = 7,003 \text{ m d'après "E.F PREECE"}$$

$$3^{\circ}/ b = 3,6 (\sqrt{H_b} - 3) = 11,82 \text{ m d'après "Techniques des barrages..."}$$

nous pouvons dire que le choix pour $b = 10 \text{ m}$ respecte les normes.

- La longueur en crête du barrage : elle est mesurée directement sur le plan topographique du site : $L = 157,5 \text{ m}$.

- Les risbernes : on dispose de 2 risbernes sur la pente du talus aval à la côte 63,5 m pour la route d'accès et l'autre à la côte 49 m au niveau de la conduite Ø 2000.

- Pentes des talus : la détermination se fait à partir des expériences des barrages antérieurs et sont vérifiées à partir des épures.
pour le talus amont on prendra une pente de : 1:2,
pour le talus aval on prendra une pente de : 1:1,8

Noyau :

sa hauteur située à 1m de la crête du barrage : $77,5 - 1 = 76,5 \text{ m}$
et pour les pentes fixées on dispose d'une largeur au sommet du
noyau de 4m. les pentes sont : Amont = 4:1 etaval = 4:1
La largeur minimum de la base noyau est calculée par :

$$B = b + cH \quad \text{avec } b : \text{largeur du noyau au sommet}$$

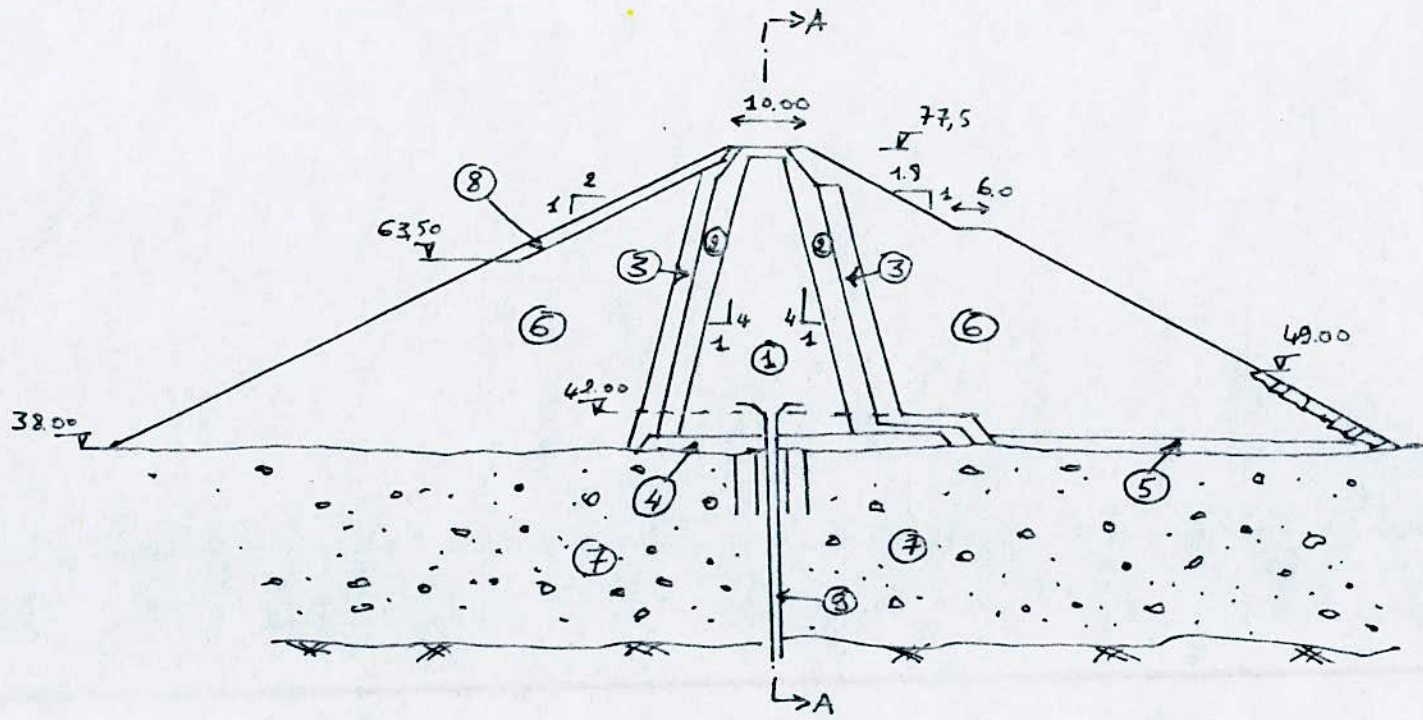
c : coefficient qui dépend de la qualité et de
la hauteur du barrage. H : hauteur du barrage.

le coefficient c doit respecter le critère : $0,5 \geq c \geq 0,15$

pour $b = 4 \text{ m}$, $H = 39,5 \text{ m}$ et $c = 0,45 \Rightarrow B = 27,775 \text{ m}$

cette hauteur doit être : $B = (98 \div 1,2) H \geq b_{\min}$

ce qui est vérifié puisque : $B = (98 \div 1,2) H = 26,33 \text{ m}$.



IBARRAGE DE IBENI AMRAN

- (1) ARGILE
- (2) FILTRE A
- (3) FILTRE B
- (4) FILTRE C
- (5) FILTRE D
- (6) ENROCHEMENTS
- (7) ALLUVIAN
- (8) RIP-RAP
- (9) Paroi mouillée

IN Filtration :

Le problème que pose les infiltrations à travers le corps du barrage ou sous le corps de celui-ci se présente sous 2 formes. Il peuvent mettre en doute la capacité de la retenue si les pertes d'eau ne sont pas contrôlées d'une part et d'autre part ils peuvent compromettre la sécurité du barrage si les précautions techniques nécessaires ne sont pas mises contre les risques que provoque le phénomène de renard. (mise en place de drain,...)

- Détermination de la ligne de saturation :

plusieurs méthodes de calcul de la ligne de saturation du réseau d'écoulement à travers le barrage ont été élaborées, permis elles s'appliquent la méthode de "KOZENY" qui prend comme référence de base une parabole théorique d'équation $X^2 + Y^2 = (X + Y_0)^2$ où X et Y sont les coordonnées de la parabole et $Y_0 = \sqrt{H^2 + d^2} - d$ avec H : niveau normale de la retenue.

$$\text{Soit : } d = t_2 - 0,7S \quad \text{avec } \begin{cases} S = H_m \\ t_2 = 2m \end{cases} \quad H_m + t_1$$

H_m : hauteur du noyau = 38,5m

t_1 : largeur en crête du noyau = 4m

$$\Rightarrow S = 39,5 \cdot 0,25 = 9,875m \quad \text{et } t_2 = 2 \cdot 0,25 \cdot 38,5 + 4 = 24,28m$$

$$\text{donc } d = 24,28 - 0,7 \cdot 9,875 = 17,3675m$$

H_m : hauteur d'eau (niveau normale dans la retenue)

$$63,5 - 38 = 25,5m$$

- H_n : hauteur du noyau : $76,5 - 38 = 38,5 \text{ m}$

- m_1 : 0,25 fuit du talus du noyau puisque $\tan \alpha = \frac{1}{m} = \frac{4}{1}$

- t_2 : largeur à la base du noyau : $24,28 \text{ m}$

- d : $17,3675 \text{ m}$

y_0 : ordonnée de la parabole est donnée par

$$y_0 = \sqrt{H^2 + d^2} - d = \sqrt{(25,5)^2 + (17,3675)^2} - 17,3675 \text{ m} = 13,23 \text{ m}$$

$$\Rightarrow y_0 = 13,23 \text{ m}$$

$$\Rightarrow x^2 + y^2 = (x + 13,23)^2$$

Tableau des valeurs : X et Y .

X (m)	0	1	4	6	8	10	12	14	16	18	-1	-2	-4	-6	-6,5
Y (m)	13,23	14,19	16,75	18,27	19,66	20,96	22,19	23,35	24,46	25,52	12,89	11,05	8,31	4,033	1,744

L'intersection de la base de la parabole avec le parement aval du noyau

est donnée par l'équation polaire : $a + \Delta a = \frac{y_0}{1 - \cos \alpha}$

$$\text{et } c = \frac{\Delta a}{a + \Delta a}$$

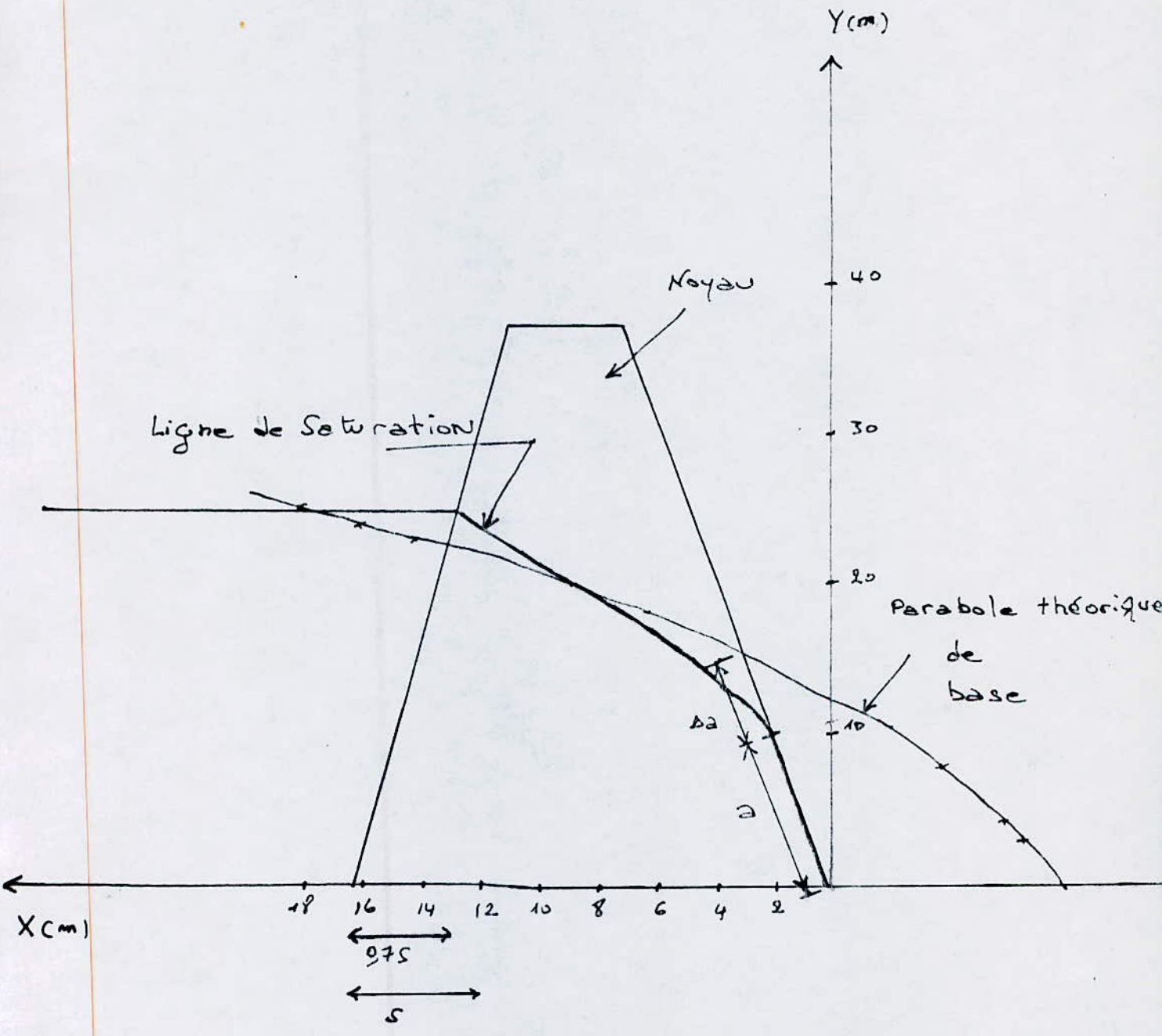
Le graphique de "CARAGRANDE" nous donne c en fonction de l'angle α .

$$\alpha = 67^\circ \Rightarrow c = 0,28$$

$$a + \Delta a = \frac{13,23}{1 - \cos 67^\circ} = 21,7$$

$$\Delta a = c(a + \Delta a) = 0,28(21,7) \Rightarrow \Delta a = 6,076 \text{ m}$$

$$\Rightarrow a = 15,624 \text{ m}$$



Echelle : $X : 1\text{m} \rightarrow 0,5\text{ cm}$

$Y : 1\text{m} \rightarrow 0,25\text{ m}$

REPRÉSENTATION GRAPHIQUE : DE la ligne de Saturation

Détermination du débit de ruée :

Dans le noyau qui est constitué par de l'argile imperméable. On suppose que l'écoulement est permanent, dans ce cas la loi de "Darcy" reste applicable.

sont : $Q = K \cdot i \cdot A$

avec ; K : coefficient de perméabilité du matériau.

i : gradient hydraulique

A : section

on a : $A = Y \cdot I$ et $i = \frac{dY}{dx}$

en remplace dans Q :

$$Q = K \cdot \frac{dY}{dx} \cdot Y I \Rightarrow Q = K \sqrt{h^2 + d^2} - d$$

avec h : hauteur d'eau dans la retenue

K : coefficient de perméabilité du noyau

d : distance déterminée par le calcul de la L.S

renons : $h = 25,5 \text{ m}$; $K = 5 \cdot 10^{-8} \text{ m/s}$ (valeur théorique)

et $d = 17,3675 \text{ m}$

$$\Rightarrow Q = 5 \cdot 10^{-8} \left[\sqrt{(25,5)^2 + (17,3675)^2} - (17,3675) \right]$$

$$Q = 9,674 \cdot 10^{-6} \text{ m}^3/\text{s}$$

Stabilité de la digue :

L'importance de la stabilité dans l'étude d'un barrage, nous amène à analyser la stabilité des talus amont et aval dans les différents cas de charge :

- Fin de Construction ; Talus Amont et Talus Aval
- Fonctionnement normal ; Talus Aval
- Vidange rapide ; Talus Amont.

Suivant ces cas de charge la stabilité doit être vérifier, on détermine le rayon de glissement pour un coefficient de sécurité qui doit se rapprocher de un tout en étant supérieur : $F_{S\min} > 1$

la méthode utilisée est celle "Fellenius" qui est basée sur une méthode des tranches, amélioré par "Bishop"

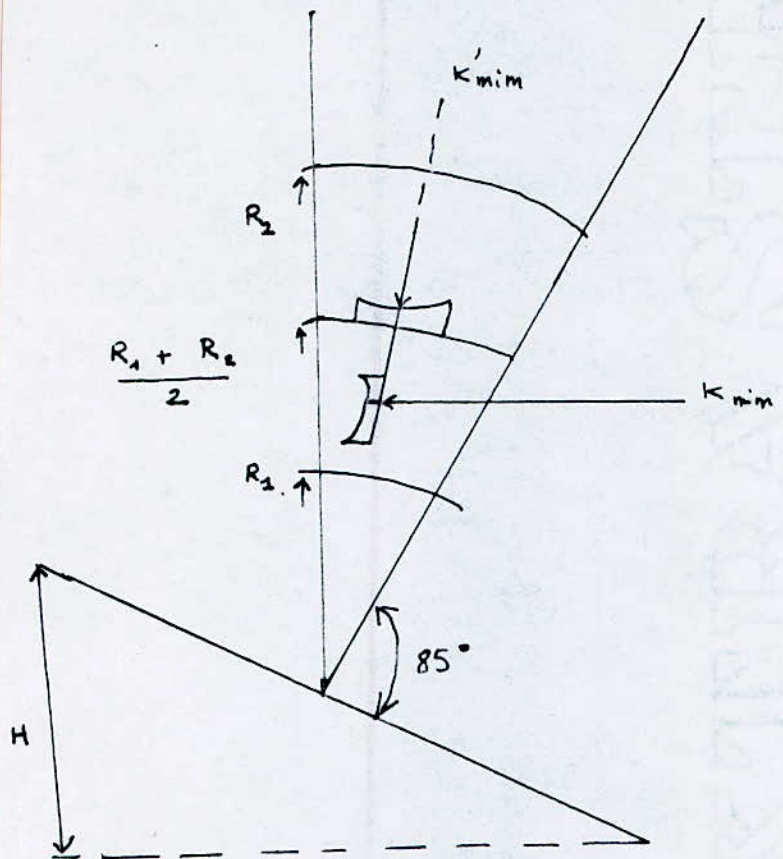
Les hypothèses sont les suivantes :

la surface de glissement ^{de} _{est} contact un cercle.

Instantanément et simultanément la rupture se fait tout le long de la surface.

Il n'y a pas d'interaction transversale.

Le rayon et le centre de glissement est déterminée sur le graphique à l'aide d'un tableau normalisé, à partir de ce choix on procéde au calcul proprement dit.

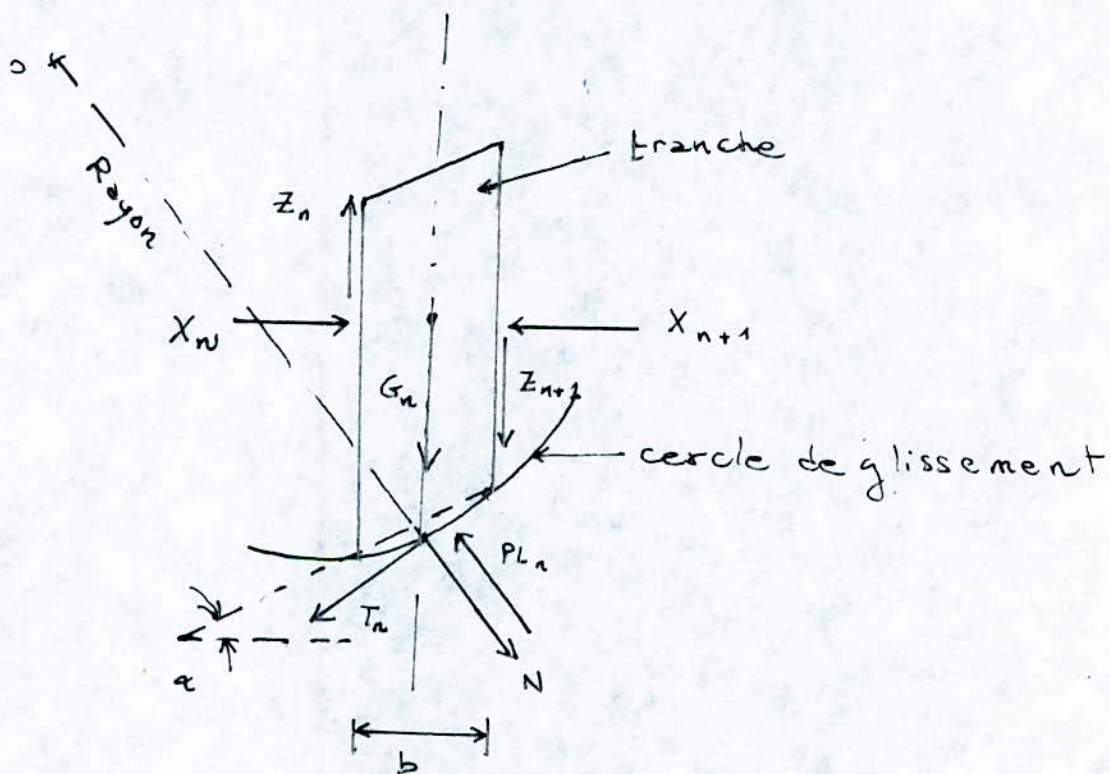


1:m	1:1	1:2	1:3	1:4	1:5	1:6
R_1/H	0,75	0,75	1,00	1,50	2,20	3,00
R_2/H	1,50	1,75	2,30	3,75	4,80	5,50

D'ETERMINATION DU CENTRE DE CERCLE DU GLISSEMENT

Représentation graphique de la méthode de "FEUENIUS"

Schéma d'équilibre des forces d'une tranche.



G_n : poids de la tranche

N_i : Composante normale de G_i

T_i : Composante tangentielle de G_i

X_i : Composante horizontale due à l'action de la tranche $(i-1)$

Y_i : Composante verticale due à l'action de la tranche $(i-1)$

La détermination de X_i et Y_i se révèle très difficile mais par contre elle s'annule en fonction de la tranche voisine.

$$X_i + Y_{i-1} = 0 \Rightarrow X_i = -Y_{i-1}$$

$$\text{et } Y_i + Y_{i-1} = 0 \Rightarrow Y_i = -Y_{i-1}$$

Billan des Forces agissantes :

Forces stabilisatrice :

- Force de frottement = $(N - PdL) \operatorname{tg} \varphi$ avec ; N: composante normale de G ; P: pression hydrostatique et dL : arc à la base
- Force de cohésion = CdL

Soit le moment de ces 2 forces par rapport au centre O.

$$M_F = [(N - PdL) \operatorname{tg} \varphi + CdL] R$$

Forces motrices :

- Force T : composante tangentielle à G, qui agit dans le sens que le cercle de glissement (elle provoque le glissement)

Soit le moment de cette force par rapport au centre O.

$$M'_F = \sum RT = R \sum T$$

de là on détermine le coefficient de sécurité comme suit

$$F_S = \frac{\sum M_{F(T)} + \sum M_F(c)}{\sum M'_{F(T)}} = \frac{R \sum [(N - PdL) \operatorname{tg} \varphi + CdL]}{R \sum T}$$

$$\Rightarrow F_S = \frac{\sum [(N - PdL) \operatorname{tg} \varphi + CdL]}{\sum T}$$

Détermination des différents paramètres qui interviennent dans les calculs de la méthode utilisée.

Largeur de la tranche b : $b = \frac{R}{n_f}$ R: rayon ; n_f: n° de tranche

Le poids de chaque tranche G_n:

$$G_n = b (\gamma_1 h_1 + \gamma_2 h_2 + \gamma_3 h_3)$$

b: Largeur de la tranche

γ_1 : densité du sol situé au dessus de la ligne de saturation γ_s

γ_2 : densité du sol à dessous de L_s

γ_3 : densité de l'assise.

h_1 : hauteur moyenne de la partie de tranche non saturée

h_2 : hauteur moyenne de la partie saturée.

h_3 : hauteur de tranche appartenant à l'assise.

- La composante tangentielle : $T_i = G_i \cdot \sin \alpha_i$

- La composante normale : $N_i = G_i \cdot \cos \alpha_i$

avec α_i l'angle que la vertical avec l'axe de la tranche

- La pression hydrostatique : $P_i dL_i = \gamma h_p dL_i$

avec $dL_i = \frac{b}{\cos \alpha_i}$

$$\Rightarrow F_s = \frac{(G_i \cos \alpha_i - h_p \frac{b}{\cos \alpha_i}) \operatorname{tg} \varphi}{G_i \sin \alpha_i}$$

Avec la sollicitation due aux séismes :

Le séisme intervient dans la destabilisation de dique, F_s

Force due au séisme à une accélération tel que :

$$\sum a_i G_i \cdot d_i = \sum M (f)_{\text{nat}}$$

dans ce cas le coefficient devient F_{ss} tel que :

$$F_{ss} = \frac{\sum (N_i - P_i) \operatorname{tg} \varphi}{\sum T_i + \frac{1}{R} \sum a_i G_i \cdot d_i}$$

avec : $a_i G_i$ = Force due au séisme

d_i = bras de levier de cette force

R = Coefficient sismique tel que : $R = 0,2$

Stabilité du talus amont:

On doit étudier les 2 cas de charge suivant pour le talus amont:

En FIN de CONSTRUCTION et hors d'une vidange rapide.

La vidange rapide est un cas très défavorable, elle se fait en un temps assez court pour que la ligne de saturation ne puisse descendre et laisser le massif du talus imbibé d'eau même lorsque le niveau de l'eau suit au pied du talus.

Déterminons la pression interticielle qui subsiste lors d'une vidange rapide, l'eau emprisoné dans le massif va supporter le poids de ce massif faisant l'approximation suivante

$$\text{soit : } N - PDL = (\gamma_{sat} - 1) n b \quad \text{avec } n = h_n / \cos \alpha_n$$

$$\Rightarrow N - PDL = (\gamma_{sat} - 1) b \cdot h_n \cdot \cos \alpha_n \quad \text{où } (\gamma_{sat} - 1) \text{ est la densité immergée; } n: \text{composante normale; } h_n: \text{hauteur moyenne et } b: \text{largeur de la tranche.}$$

Calcul de la composante tangentielle (T) : nous prenons la densité saturée

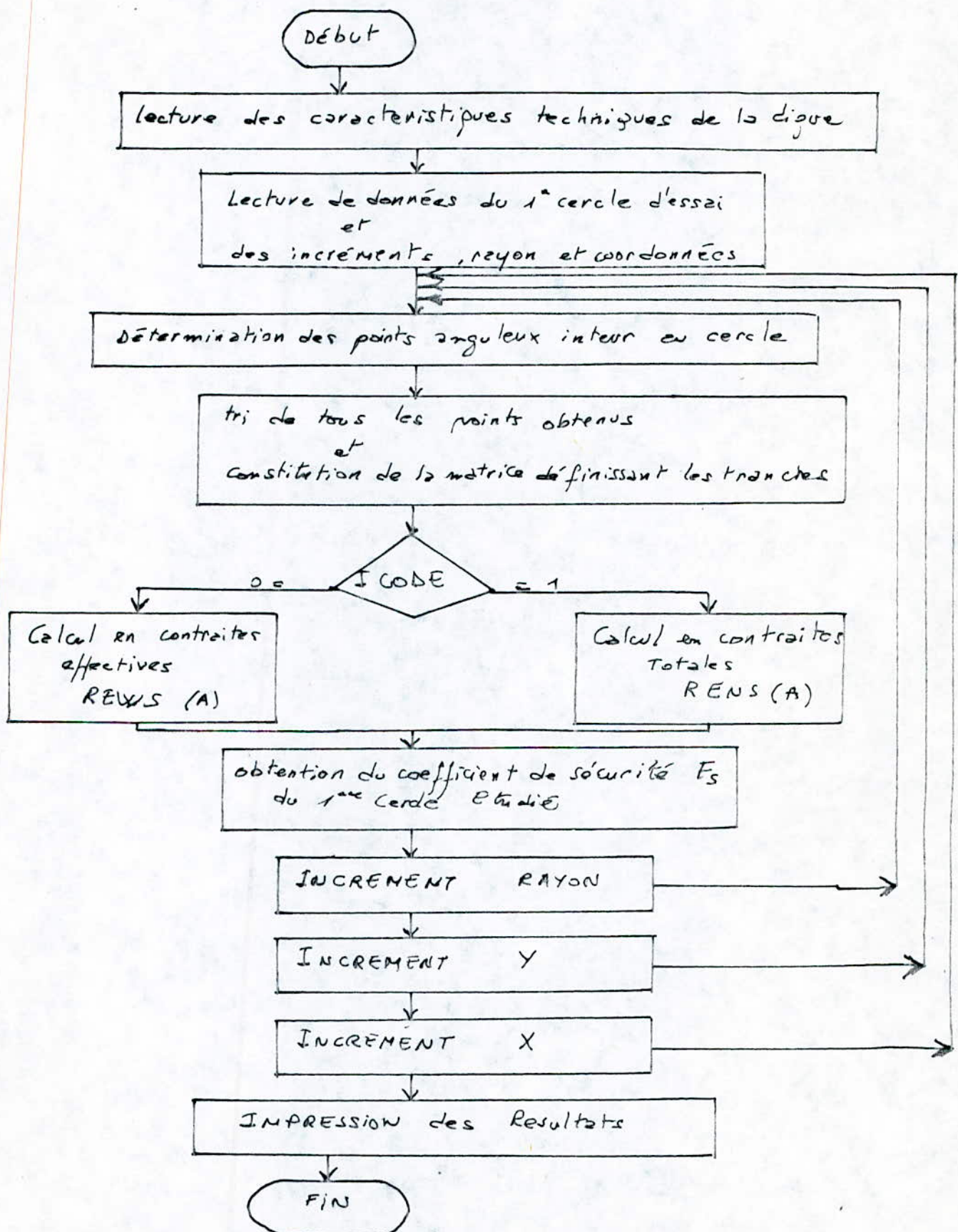
$$T = \gamma_{sat} \cdot t \cdot b$$

$$\text{avec } t = h \cdot \sin \alpha_n \Rightarrow T = \gamma_{sat} \cdot h \cdot b \cdot \sin \alpha_n$$

Stabilité du talus aval:

Nous analysons dans cette partie deux cas de charges également lorsque la retenue est vide: FIN de construction et lorsque la retenue est plein: FONCTIONNEMENT NORMAL
Le cas le plus défavorable est: le FONCTIONNEMENT NORMAL car il y a en permanence la présence des infiltrations.

ORGANIGRAMME



Le Calcul de stabilité fait à partir du programme "CALCUL DE STABILITÉ" en utilisant la sous-routine "REWS (A)" pour le calcul en contraintes effectives, à donner les résultats suivants pour les différents cas de charges classiques.

FONCTIONNEMENT NORMAL :

- talus Amont : $F_s = 0,89$

rayon $R = 69,75$; $X_c = 37$; $Y_c = -28,75$

avec séisme $F_{ss} = 1,08$

$R = 70m$; $X_c = 41$; $Y_c = -30$

- talus aval : $F_s = 1,34$

$R = 69m$; $X_c = -35$; $Y_c = -12$

Fin de construction :

- talus aval : $F_s = 2,69$

$R = 69,00$ $X_c = -39$; $Y_c = -19$

Vidange rapide :

- talus amont : $F_s = 0,99$

$R = 63,25m$; $X_c = 30,75$; $Y_c = -26$

Les cas de charges étudiés ici sont différents des cas de charges d'avant projet, les résultats restent dans les normes des critères, on ce qui concerne la vidange rapide amont les valeurs ne sont pas les mêmes et avec les talus mis en place dans l'avant-projet il analyse les pentes des recharges (remblais), or dans notre étude on les a négligées, car ils agissent dans sens de la sécurité et pour le fonctionnement normal du talus amont valeurs requises 1,1 ou on à trouver 0,89 en raison des pressions interstitielles importantes à près construction et pour les autres coefficients calcul il restent dans les prévus par l'avant-projet.

No	humidité naturelle (%)	d < 2 mm		d > 2 mm		Proctor Y _{sec} (t/m ³)	W _{opt} (%)	φ [*]	G _{102mm}	φ'	C'	ciseaillement direct		triaxial	
		Limite de liquidité (%)	Limite de plasticité (%)	I _C (%)	T _a (%)							Indice de cohérence	Indice de liquidité	Activité	
1	18,2	48,1	29,8	27,3	1,1	0,91	390	0,6	1,75	15,2	90°/1,0,16	17°/1,0,60			
2	17,9	37,4	29,9	16,5	1,18	0,85	290	0,6	1,75	16,6	18°33' 0/4	13°47' 0,32			
3	19,6	61,1	25,6	35,5	1,17	1,61	22,0	0,6	1,675	18,	19°37' 0,28	16°54' 0,65			
Huile	19,6	48,8	29,43	26,43	1,15	1,12	24	0,6	1,716	16,6	18°16' 0,23	15° 0,03,	4	(N ³)	
→															5

Tableau récapitulatif des résultats :

des essais sur l'argile

Puits N°																	
94																	
PROFONDEUR																	
GRANULOMETRIE %	GROUPE	SABLE	LIGNE	PLASTIQUE	PLASTIQUE	LIGNE											
POIDS SPECIFIQUE	CAILLOUX	GRAVIER	ARGILE	GRANULES	GRANULES	GRANULES	GRANULES	GRANULES	GRANULES	GRANULES	GRANULES	GRANULES	GRANULES	GRANULES	GRANULES	GRANULES	GRANULES
PIÈCE	PIÈCE	PIÈCE	PIÈCE	PIÈCE	PIÈCE	PIÈCE	PIÈCE	PIÈCE	PIÈCE	PIÈCE	PIÈCE	PIÈCE	PIÈCE	PIÈCE	PIÈCE	PIÈCE	PIÈCE
18	17	16	15	14	13	12	11	10	9	8	7	6	5	4	3	2	1
3,5	3,2	4,0	2,5	3,0	1,0	3,5	1,5	3,5	2,3	3,0	2,3	3,7	2,3	2,5	2,5	2,5	2,5
67,98	49,95	23,29	23,47	35,8	4,0	3,5	2,7	2,4	2,5	46,0	46,0	22,02	23,17	23,08	50,65	49,95	39,01
31,97	49,95	17,66	12,33	23,47	35,8	4,0	2,7	2,4	2,5	46,0	46,0	22,02	23,17	23,08	50,65	49,95	39,01
9,6	18,18	26,06	26,86	26,86	26,86	26,06	14,58	7,19	7,19	9,0	9,0	9,0	9,0	9,0	9,0	9,0	9,0
0,0	11,33	9,18	11,33	61,81	61,81	61,81	14,58	5,45	5,45	0,0	0,0	0,0	0,0	0,0	0,0	0,0	0,0

Classification du matériau argileux (feuillet d'pliant, page 42)

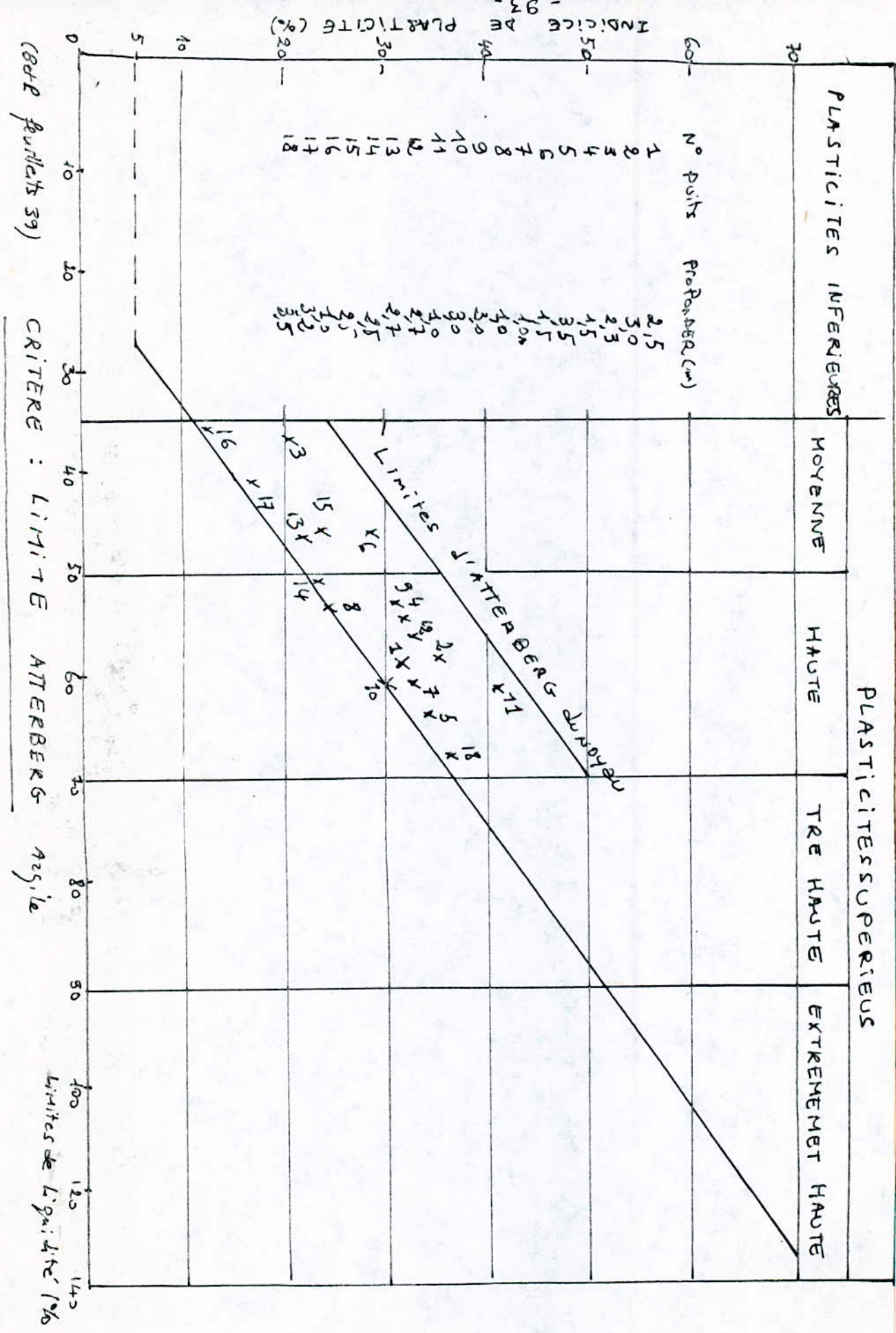
puits N°	profondeur (m)	tenue en eau naturelle ψ_{nat}	tenue en eau optimale ψ_{opt}	densité sèche max δ_{sec} (kg/m^3)	limite de liquéfaction L.L.	limite de plasticité I.P.	Résistance Gs - puce
2	3,0	-	19,2	1663	59,10	36,34	2,7
4	1,5	-	18,2	1802	56,95	33,87	2,7
9	3,0	-	18,8	1675	53,98	31,62	2,7
14	2,5	-	18,2	1687	50,65	23,57	2,7
16	1,0	-	16,9	1773	35,8	19,33	2,7
Mélange 1	-	-	16,6	1659	-	-	2,7
Mélange 2	-	-	18,7	1727	-	-	2,7
Mélange 3	-	-	17,6	1702	-	-	2,7
12	2,7	-	23,0	1541	57,00	33,00	2,7

critères de essai de compactage proctor standard:

(essai Bar P puit n° 45)

Hérange N° 1 Hérange N° 2 Hérange N° 3
puits n° 3 puits n° 2 puits n° 1
puits n° 4 puits n° 4 puits n° 15
puits n° 4 puits n° 4 puits n° 16
puits n° 4 puits n° 4 puits n° 17
puits n° 4 puits n° 4 puits n° 18
puits n° 4 puits n° 4 puits n° 19
puits n° 4 puits n° 4 puits n° 20

10
14
9
12



Critère de Stabilité : (d'après les feuilles 17 et 18 d'avant projet)
BEP

charge	coefficient de sécurité statique(CSS)	Intensité sismique pour $CSS = 1$		
	Requis	Atteint	Requis	Atteint
1. MASSIF AMONT				
a) Pressions interstitielles dans le noyau après construction	1,3	2,1	0,24g	0,34g
b) Conditions stables retenue pleine	1,7	x	0,24g	x
2. MASSIF AVAL				
a) Conditions stables, retenue pleine	1,7	2,1	0,24g	0,38g
b) Moitié de la C.R.P.	>1,0	2,1	N/A	0,38g
3. DIGUES DE LIASISON				
a) Vidange rapide, amont	1,3	1,46	N/A	0,15g
b) Vidange rapide, aval	1,3	xx	N/A	xx

x : Non analysé en raison du CSS élevé sous les pressions interstitielles connues après la construction.

xx : Non analysé, le CSS sera plus élevé pour le massif amont du fait du niveau bas propriété des matériaux :

Matériau	Résistance au coulissement	Densité à sec	Base
Noyau	$\phi' = 23^\circ$ $c' = 0$	2 t/m ³	Résistance estimée à partir des essais laboratoire
Filtres	$\phi' = 35^\circ$ $c' = 0$	2 t/m ³	à partir d'essai en laboratoire
Enrochement	$\phi' = 35$ $c' = 0$	2 t/m ³	valeurs caractéristiques théoriques
Alluvions	$\phi' = 30$ $c' = 0$	1,8 t/m ³	valeurs théoriques

Critère de Stabilité : (d'après les feuilles 17 et 18 d'avant projet Bet P)

charge	coefficient de sécurité statique(CSS)	Intensité sismique pour CSS = 1		
	Requis	Atteint	Requis	Atteint
1. MASSIF AMONT				
a) Pressions interstitielles dans le royaume après construction	1,3	2,1	0,24g	0,34g
b) Conditions stables retenue pleine	1,7	x	0,24g	x
2. MASSIF AVANT				
a) Conditions stables, retenue pleine	1,7	2,1	0,24g	0,39g
b) Moitié de la CMP	>1,0	2,1	N/A	0,38g
3. DIGUES DE LIASION				
a) Vidange rapide, zéro	1,3	1,46	N/A	0,15g
b) Vidange rapide, quel	1,3	xx	N/A	xx

x : Non analysé en raison du CSS élevé sous les pressions interstitielles connues après la construction.

xx : Non analysé, le CSS sera plus élevé pour le massif amont du fait du niveau bas des matériaux :

Matériau	Résistance au cisaillage	Densité à sec	Base
Noyaux	$\phi' = 23^\circ$ $c' = 0$	2 t/m ³	Résistance estimée à partir des essais laboratoire
Filtres	$\phi' = 35^\circ$ $c' = 0$	2 t/m ³	à partir d'essais en laboratoire
Enrochement	$\phi' = 35^\circ$ $c' = 0$	2 t/m ³	valeurs caractéristiques théoriques
Alluvions	$\phi' = 30^\circ$ $c' = 0$	1,8 t/m ³	valeurs théoriques

COMPARAISON DES RÉSULTATS DES ESSAIS avec

ce prévu par l'étude d'Avant-projet :

Les résultats finaux sont repris dans un tableau récapitulatif nous remarquons que pour les éssais d'identification des matériaux nous obtenons une bonne humidité, les limites d'Atterberg sont tous les 3 dans la partie délimitée par l'étude d'avant-projet nous retrouvons une granulométrie étalée qui respecte le coefficient d'uniformité Hazen qui est égal au rapport $\frac{d_{60}}{d_{10}}$. L'essai proctor pour le compactage on demande des résultats convergents de même que les limites. On ce qui concerne les éssais mécanique certains résultat prévus ne sont pas retrouvé par exemple l'apparition de la cohésion pour l'enrochement en fait les essai n'ont été fait que pour les grains inférieurs à 5 mm ce qui pourrait expliquer ce résultat, et pour l'argile on peut avancer qu'il y a une très légère dégradation du matériaux, mais elle reste insuffisante et reste de bonne qualité.

CHAP. V

Conclusion

CONCLUSION :

Ce travail a consisté à osculer les différents matériaux et plus précisément l'argile qui constitue le noyau central imperméable. A partir des différentes essais réalisé "in situ" qui ont été très concluants.

Le calcul de stabilité fait à partir de ces paramètres expérimentaux sont convenable. On peut affirmer que l'exécution des travaux de la digue en enrochement du Barrage de Beni ANRAN se déroulent dans conditions très favorable.

ANNEXE : B, A

Organisation

Organisation de chantier :

Technologie d'exécution des travaux :

Le corps du barrage est constitué d'un noyau central et de deux plateaux l'un à l'amont jusqu'à la côte 63,5m et l'autre à l'aval jusqu'à la côte 57,00m les parties du barrage à remblayées seront posées sur l'alluvion, au dessous du noyau central dans l'axe du barrage, on procèdera à l'exécution de la paroi maillée en béton qui traversera les alluvions et formera une liaison entre le noyau central et la roche, créant ainsi l'écran imperméable.

Les pionniers avec fit vibrant (telmaak CL-1) doivent être posés jusqu'au endroits des pises de mesures conformément aux plans de l'ouvrant projet. On exécutera deux bernes sur la pente aval du barrage, l'une sera dirigée vers le mur gauche de l'évacuateur qui donnera accès à la vanne du tube d'évacuation de diamètre $\phi 2000$ et la deuxième située à la côte 49,00m dans la zone de contacte avec le plateau aval sur lequel passe cette conduite de l'évacuateur à la rive gauche. On procèdera à l'exécution de la galerie d'injection se trouvant sur la crête de la rive gauche qui aura une longueur de 30 à 12 m.

Pour la protection contre le phénomène de cavitation à l'amont du corps du barrage les pentes seront revêtues de béton compacté au rouleau, car la vitesse de l'eau est de l'ordre de 10m/s on posera sur ces même pentes à des cotes différentes des taba-

de drainages qui servent au rabattement de la L.S et la diminution des pressions intertotaillées dans le barrage.

Les deux pentes sont revêtues par du Rip-Rap jusqu'à la côte 63,5 à l'amont et jusqu'à la côte 57 à l'aval.

- Les différentes tâches de construction de l'ouvrage sont :

- Excavation de l'alluvion sous le barrage.
- Exécution de l'injection de consolidation de la rive gauche au niveau de la partie centrale (noyau argileux).
- Réalisation du forage et du rideau d'injection sur cette même rive dans la même zone.
- Injection de consolidation de l'alluvion au dessous du noyau.
- Exécution de la paroi moulée au dessous du noyau jusqu'à la roche saine.
- Exécution du rideau d'injection à travers et sous la paroi moulée.
- Remblayage du corps du barrage, du plateau amont et aval avec une quantité totale de 610.000m³.
- Installation des piezomètres.
- Installation des grosses pierres au pied du revêtement amont et aval.
- Revêtement des pentes des 2 plateaux en béton compacté.
- Pose du Rip-Rap sur les pentes.
- exécution de la fondation de la conduite Ø 2000 sur le berne (à 49).
- Excavation de la galerie sur la crête de la rive gauche.
- Pose des points pour l'oscillation des piles de mesures.
- Travaux de finition : réalisation de la route et autres détails.

PLANNING D'EXÉCUTION DES TRAVAUX DE LA DIGUE DES BON AMEN

No	Désignation des différentes tâches	Prestation (m ³)	Durée d'exécution des tâches en mois					
			I	II	III	IV	V	VII
1	Injection de consolidation (cote 40,00)	1440 m ³						
2	Excavation de l'alluvion							
3	Mise en place des filtres Cet D pose pégovière CL-1 (cote 38,00)							
4	Remblayage de l'auvent et filtres amont sur batardeau (cote 42,00)	2500 m ³						
5	Remblayage amont sur batardeau (cote 46,00)							
6	Exécution de la paroi mouillée							
7	Remblayage arrière et filtres (43,00)	2420 m ³						
8	Protection amont du plateau (cote 50)							
9	Protection amont au dessus de (63,50)							
10	Protection aval (46,00)							
11	Protection aval (cote 57,00)							
12	Montage de la corniche à 2000							
13	Excavation sur la rive gauche (P-120) 120 m							
14	pose des symes topographiques							
15	pose des pésomètre coragnard							
16	Ouverture carrière de Rip-Rap							
17	pose de la corniche							
18	Réalisation de la route							
19	excavation des matériaux sur le montant							
20	excavation pour du bassin de déviation							

Pour respecter les délais de réception de l'ouvrage on peut prévoir un travail en parallèle. On réalise dans ce cas 2 chantiers spécialisés, qui se dérouleront simultanément, l'un le remblayage du corps du barrage l'autre exécutera la paroi moulée. Le remblayage des parties B et C (voir schéma) peuvent être réalisés jusqu'à 49m suivant une technique en escalier grimant de l'intérieur vers l'extérieur du corps du barrage de telle manière à avoir un terrassement accessible avec des pentes stables. Pendant ce même temps les trous de l'exécution de la paroi moulée et d'injection dans le lit se déroulent.

Dans le cas où ces travaux dans la partie centrale ne sont pas terminés, on prévoit la possibilité de remblayer la partie D jusqu'à la côte 53,00m et la partie E jusqu'à la côte 56m.

Le délai de réalisation de cette phase est de 6 mois
on a donc : $\frac{610\ 000\ m^3}{6\ \text{mois}} = 101\ 000\ m^3/\text{par mois}$

Matériels nécessaires à la réalisation de la digue :

10 bulldozers ; 9 chargeurs ; 26 dumper pour le transport des matériaux dont : 18 KOCKUM 425 d'une charge de 25t et 8 VOLVO 442 d'une charge de 35t

On doit prévoir 5 KOCKUM 425 pour le transport du béton et 2 KOCKUM 425 pour la station de concassage et pour la centrale à béton. Et pour le remblayage on doit disposer de : 12 KOCKUM 425 (25t) et 7 VOLVO 442 (35t).

Le volume des Kockum est de 12m^3 par rotation, par sécurité on peut prévoir 11m^3 par rotation.

Le volume des Volvo est de 18m^3 par rotation, par sécurité on peut prévoir 16m^3 par rotation.

On propose pour cette tâche 2 équipes de treuils de 8 heure chacune et pour un nombre de rotation de 20 minimum par équipage fait le calcul suivant : $12 \cdot 11 \cdot 40 = 5280 \text{ m}^3/\text{jour}$

$$\text{et } 7 \cdot 16 \cdot 40 = \underline{4480 \text{ m}^3/\text{jour}}$$

soit par mois :

$$9760 \text{ m}^3/\text{jours}$$

$$9760 \text{ m}^3 \times 30 = 292800 \text{ m}^3/\text{mois}$$

Si on prend comme coefficient d'organisation $k = 0,55$

$$292800 \times 0,55 = 161040$$

et si on fait intervenir le coefficient $k_n = 1,25$ qui dépend uniquement de l'expérience de l'entreprise de réalisation.

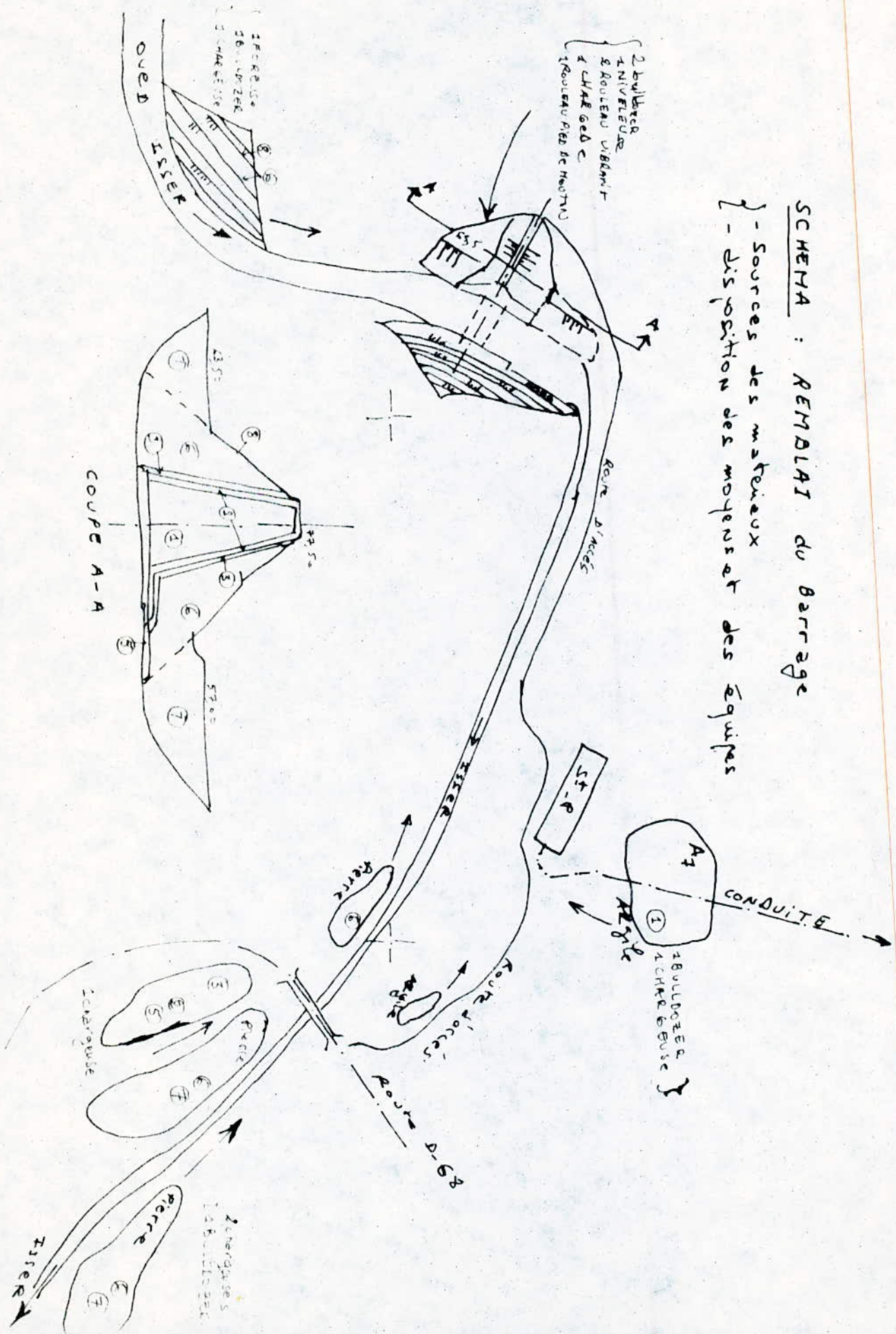
$$Q = \frac{292800 \times 0,55}{1,25} = 128832 \text{ m}^3$$

donc ce nombre doit dépasser la quantité nécessaire prévue dans les délais de réception de l'ouvrage.

Le scénario de mise en route de la bonne exécution des travaux doit couvrir les différentes zones du chantier à savoir la zone d'emprunte, la zone de dépôt, la station de concassage, la centrale à béton, et autre, elles doivent être réalisées de telle manière que la cadence de rotation des équipes et les exigences technologiques ne soient pas perturbées lors du déroulement des travaux.

SCHEMA : REMBLAI du Barrage

- Sources des matériaux
- disposition des moyens et des équipes

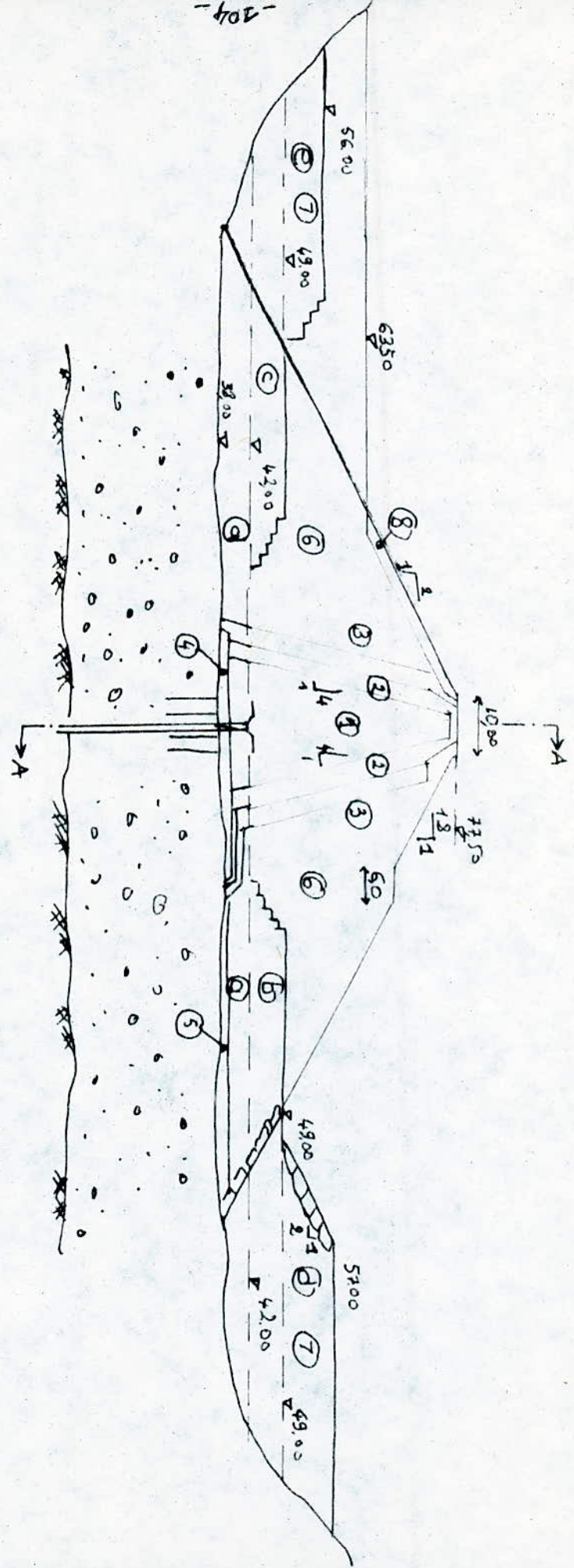


le personnel et le matériel doit être en nombre suffisants, tout en prévoyant un minimum de potentiel en réserves pour les cas d'un éventuel problème imprévisible (cas d'accidents, matériaux défectueux, ou autre)

Situation des différentes zones:

- Le dépôt du matériau remblai et encrochements se trouvent sur la rive de l'oued, ils proviennent de l'excavation de la fosse de Pévacuateur, le transport assuré par les dumpers jusqu'au barrage, on se servira d'un bulldozer pour enlever les matériaux non conforme au C.P.S. On doit disposer sur cet endroit d'une chargeuse.
- Les dépôts des différents filtre proviennent de la station de concassage seront déposées près du site on devra une chargeuse et des dumpers pour le transport.
- L'argile proviendra de la zone d'emprunt ou bien du dépôt siège près de la station de pompage. On doit prévoir une chargeuse, un bulldozer, et des dumpers pour le transport.
- Le Rip-Rap proviendra d'une carrière située en amont du site. On doit prévoir une chargeuse, un bulldozer pour le nettoyage des étages et le rejet des matériaux non conforme aux normes du C.P.S.

Barrage : TECHNOLOGIE DE CONSTRUCTION



Technologie de mise place des matériaux de la digue.

La mise en place des différentes couches doit suivre l'ordre suivant.

Les tranches d'argiles doivent avoir une hauteur de 25cm les filtres A et B une tranche de 30cm de haut et l'enrochement une hauteur de 0,5m.

Les procédés d'exécutions sont comme :

- Il faut exécuter l'alluvion jusqu'à la côte 38 donc au moins 12m
- Procéder aux essais des couches le bascule après compactage et délimiter l'alignement de l'axe
- Mettre en place les filtres A et B dans partie aval et amont
- Puis Procéder à la mise en place de l'argile dans la partie centrale ensuite mettre en place l'enrochement.
- Par la suite on procéde au compactage du filtre, puis de l'argile en même temps, compacte l'enrochement par la (Pilote)
- On doit mettre l'enrochement et le remblai simultanément d'une manière continue.
- Après chaque compactage du filtre et de l'argile on doit procéder aux essais de contrôle de la nouvelle couche.

L'ordre d'exécution :

- filtre A en aval et en amont de l'axe du barrage
- filtre B en aval et en amont

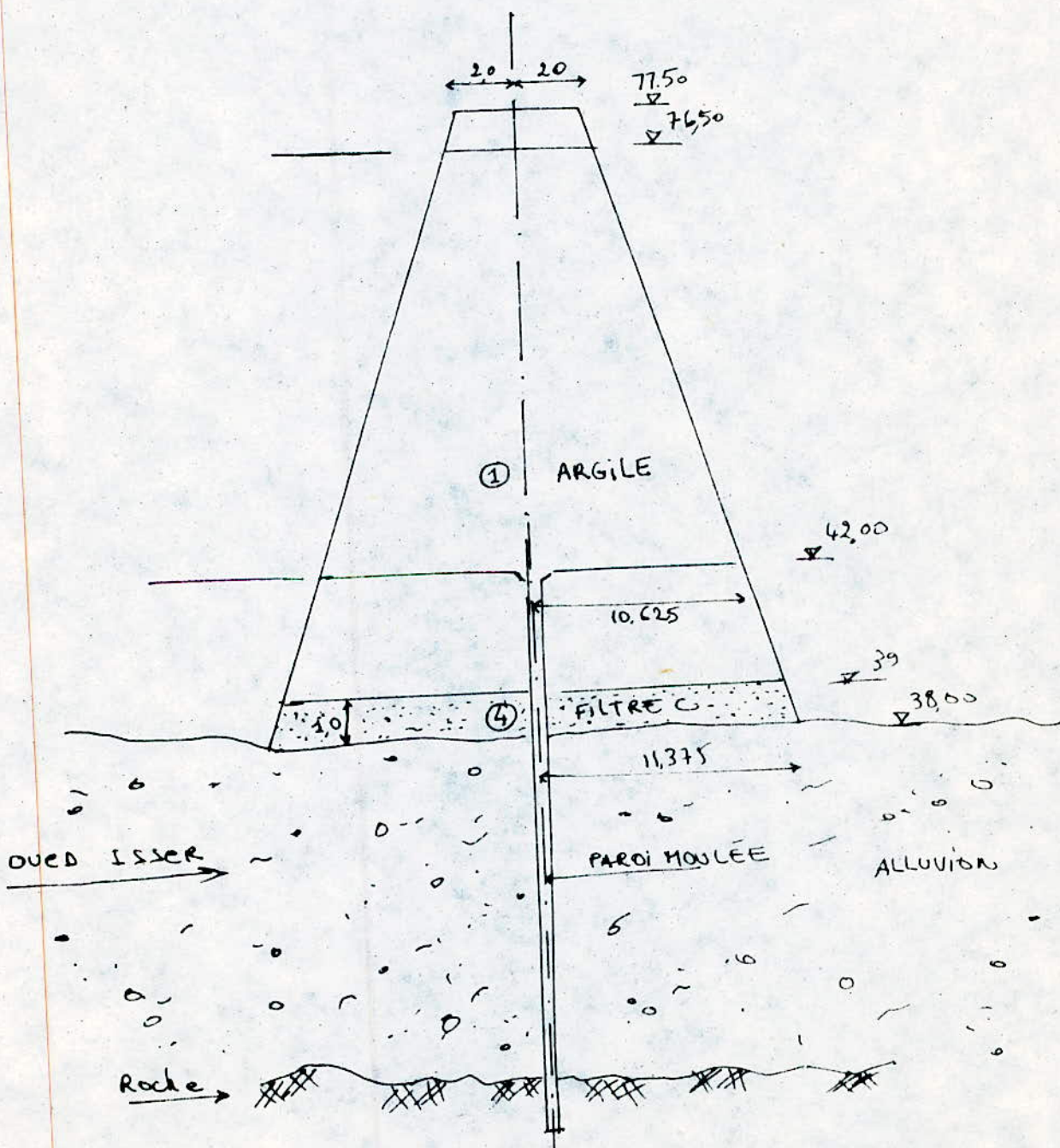
- Argile dans l'espace créé entre le filtre et de part et d'autre
- Simultanément avec la mise en place de l'argile on procéde à la mise en place de l'enrochement à l'eau puis à l'air.
- On doit assurer la continuité de la mise en place de l'enrochement avec la mise en place du remblai.

SCHEMA:

TECHNOLOGIE de mise en place de l'argile

soit : 138 couches d'argiles

d'une hauteur de 0,25m chaque une



B I B L I O G R A P H I E

- Les barrages en terre - CH. MALLET et PACQUANT (EYROLLES 1978)
- Hydraulique souterraine - SCHNEBEELI (EYROLLES 1973)
- Fondation et ouvrages en terre - PHILIPPONNAT (EYROLLES 1978)
- Cours pratique de MDS/1 - Plasticité et calcul de terrassement
G. SANGERAT (DUNOD)
- Cours pratique de MDS/2 - Calcul des ouvrages
G. SANGERAT (DUNOD)
- Problèmes pratiques de MDS et de fondation/2
G. SANGERAT (DUNOD)
- Cours de barrages - Mr BELBACHIR professeur E.N.P.
- Cours de MDS/1 - Mr ZEGLACH professeur E.N.P.
- Cours de MDS/2 - Mr BARAKA professeur E.N.P.
- Manuels M.D.S. du L.N.T.P.B. - Facicules 1/2